



**Redakční rada:**

Doc. Ing. Dr. L. Oppl, CSc. (vedoucí redaktor) — Ing. V. Bašus (výkonný redaktor) — Doc. Ing. Dr. J. Cihelka — V. Fridrich, dipl. tech. — Doc. Ing. V. Chalupová, CSc. — Ing. arch. L. Chalupský — Doc. Ing. J. Chyský, CSc. — Ing. B. Jelen — Ing. L. Kubíček — Ing. Dr. M. Lázňovský — Ing. L. Strach, CSc. — Doc. Ing. J. Valchář, CSc.

Adresa redakce: Dvorecká 3, 147 00 Praha 4

**O B S A H**

PhDr. A. Hladký, CSc., MUDr. V. Bakalář:	Nespokojenosť s klimatizácií. Konfrontace subjektívnych a objektívnych údajov . . . . .	1
Ing. F. Křížek:	Vliv Schmidtova čísla při odpařování kapalin při kolmém impaktním proudění ze štěrbinové trysky . . . . .	13
Ing. R. D. Straka:	Otopné období 1984/1985 v Praze z hľadiska klimatických veličín . . . . .	25
Ing. V. Kupilík, CSc.:	Automatické protipožární větrání . . . . .	31
Ing. Č. Hrdlička:	Ventilační účinek bytových jader B 10 při kolaudaci staveb na obvodě Praha 4 . . . . .	37
Ing. K. Brož, CSc.:	Sluneční kolektory u nás a ve Švédsku . . . . .	41



**C O N T E N T S**

PhDr. A. Hladký, CSc., MUDr. V. Bakalář:	The discontent with an air conditioning. The collation of the subjective and objective data . . . . .	1
Ing. F. Křížek:	Influence of the Schmidt's number at liquids evaporation at perpendicular impact flowing from a slot nozzle . . . . .	13
Ing. R. D. Straka:	The climatic parameters during the heating season 1984/ 1985 in Prague . . . . .	25
Ing. V. Kupilík, CSc.:	An automatic fire-fighting ventilation equipment . . . . .	31
Ing. Č. Hrdlička:	Ventilating effect of prefabricated sanitary cabins B 10 at the building approbatory procedure in Prague 4 . . . . .	37
Ing. K. Brož, CSc.:	Solar collectors in Czechoslovakia and Sweden . . . . .	41

## С О Д Е Р Ж А Н И Е

Д-р фил. А. Гладки, к.т.н., Д-р мед. В. Бакаларж:	Недовольство с кондиционированием воздуха. Сопоставление субъективных и объективных данных . . . . .	1
Инж. Ф. Кржижек:	Влияние числа Шмидта при отпаривании жидкостей из во время перпендикулярного импактного течения из щелевой форсунки . . . . .	13
Инж. Р. Д. Страка:	Отопительный период 1984/1985 г. в Праге с точки зрения климатических величин . . . . .	25
Инж. В. Купилик, к.т.н.:	Автоматическая противопожарная вентиляция . . . . .	31
Инж. Ч. Грдличка:	Вентиляционный эффект санитарно-технических блоков B 10 при приемке зданий на окраине Праги 4 . . . . .	37
Инж. К. Броž, к.т.н.:	Солнечные коллекторы в Чехословакии и Швеции . . . . .	41

## S O M M A I R E

PhDr. A. Hladký, CSc., MUDr. V. Bakalář:	Mécontentement avec la climatisation. Confrontation des données subjectives et objectives . . . . .	1
Ing. F. Křížek:	Influence du nombre de Schmidt à l'évaporation des liquides à l'écoulement perpendiculaire impact d'une tuyère à fente . . . . .	13
Ing. R. D. Straka:	Valeurs climatiques au cours de la période de chauffe 1984/1985 à Prague . . . . .	25
Ing. V. Kupilík, CSc.:	Ventilation automatique avec une protection contre l'incendie . . . . .	31
Ing. Č. Hrdlička:	Effect de ventilation des cellules d'habitation B 10 à la réception des bâtiments dans la circonscription de Prague 4 . . . . .	37
Ing. K. Brož, CSc.:	Collecteurs solaires dans le République Tchécoslovaque Socialiste et en Suède . . . . .	41

## I N H A L T

PhDr. A. Hladký, CSc., MUDr. V. Bakalář:	Unzufriedenheit mit der Klimatisierung. Konfrontation der subjektiven und objektiven Angaben . . . . .	1
Ing. F. Křížek:	Einfluss der Schmidts-Zahl bei der Verdampfung von Flüssigkeiten bei senkrechter Impaktströmung aus einer Spaltdüse . . . . .	13
Ing. R. D. Straka:	Die klimatischen Daten während der Heizungsperiode 1984/1985 in Prag . . . . .	25
Ing. V. Kupilík, CSc.:	Automatische Feuerschutzlüftung . . . . .	31
Ing. Č. Hrdlička:	Lüftungswirkung von Wohnungsinstallationzellen B 10 bei der Schlussgenehmigung der Bauten im Prager Stadtgebiet 4 . . . . .	37
Ing. K. Brož, CSc.:	Sonnenkollektoren in der Tschechoslowakei und in Schweden . . . . .	41

# NESPOKOJENOST S KLIMATIZACÍ: SROVNÁNÍ SUBJEKTIVNÍCH A OBJEKTIVNÍCH ÚDAJŮ

PhDr. ALEŠ HLADKÝ, CSc., MUDr. VLADIMÍR BAKALÁŘ

*Institut hygieny a epidemiologie Praha,  
Obvodní hygienická stanice Praha 4*

Autoři zjišťovali postoje vůči klimatizaci a mikroklimatickým parametrům u 815 osob ve výškové budově administrativního typu o 28 podlažích.

Nespokojenost je způsobována vyšší teplotou vzduchu v místnosti, orientací místnosti, větším počtem osob pracujících v místnosti, kouřením, nemožností otvírat okna a s tím spojenou nemožností aktivně regulovat stav organismu.

Nespokojenost není závislá na vzdálenosti pracovního stolu od okna či od zdi, na relativní vlhkosti a na proudění vzduchu v místnosti, na věku pracovníků, druhu obytného domu a způsobu vytápění v bydlišti.

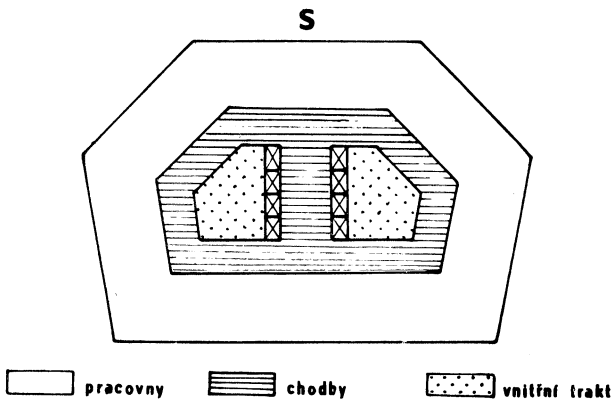
*Recenzoval: Doc. Ing. Dr. L. Oppl, CSc.*

Tato práce navazuje na již dříve publikovaný článek [1], v jehož závěru se ohlašovalo pokračování metodami psychologie a mentální hygieny práce. Liší se od předešlé podstatně v jednom aspektu a několika okolnostech. Zatímco v r. 1980–1981 byly středem pozornosti výhradně technické parametry mikroklimatu v konfrontaci s hygienickým předpisem [2] – mimochodem v průběhu let značně kritizovaným, a k postojům pracovníků stěžujících si na ně se přihlíželo jen okrajově, je v této práci poměr obrácený: akceptují se právě tyto jejich postoje, subjektivní hodnocení (a nejen mikroklimatu), a na opátku jsou objektivně zjištované kvality mikroklimatu brány v úvahu jen jako korelát. Další odlišnost spočívá v právě opačné meteorologické situaci, než byla tenkrát. Léto 1980 bylo co do teplot značně netypické, podnormálové, kdežto dotazníková akce i souběžné ověřování mikroklimatu screeninguovým měřením proběhlo v r. 1982 za poměrně vysokých teplot, kdysi v tomto období obvyklých. Méně podstatnou odlišností je rozvrh práce: první studie se uskutečnila v letní a zimní etapě, vždy po jednom pracovním týdnu, zatímco ještě nynější pokračování se dělo kontinuálně v letním období r. 1982. Dva a půl roku rozdílu mezi prvním, hygienickým šetřením a druhým, psychologickým se podle našeho soudu projevilo také určitým vyhnaněním postojů během delšího pobytu v klimatizované budově; na jedné straně lze předpokládat nepochybnou adaptaci na pobyt v uměle vytvořeném pracovním ovzduší, na druhé straně se patrně negativní postoje k tomuto prostředí více zafixovaly, popřípadě propagovaly i mezi další, dosud kolísající respondenty.

Ze dvou objektů hodnocených v předchozí práci se nynější studie obírá výlučně výškovou budovou PZO Motokov.

## Lokalita

Šetření bylo provedeno ve výškové budově administrativního typu v Praze, uvedené do provozu v r. 1978. Budova má celkem 28 podlaží, půdorysně je to symetrický nerovnoúhlý hexaedr (obr. 1), po obvodu jsou umístěny kanceláře, jádro tvoří



Obr. 1. Schematický půdorys objektu

šachty výtahů, schodiště a místnosti určené jako sklady, archívy, hygienická zařízení apod.

### Soubor osob a metody

Jako základní metodický nástroj k určení postojů vůči klimatizaci byl „Dotazník hodnocení mikroklimatických podmínek“ distribuován 1 000 osobám, pracujícím v budově. Převážná část těchto osob provádí činnost administrativního typu, pouze nepatrná část (asi 2 %) pracuje manuálně v údržbě. Vyplňených dotazníků bylo odevzdáno 839 (tj. návratnost 83,9 %), po vyřazení neúplných činil počet respondentů 815, z toho 269 mužů (tj. 33 %) a 546 žen (tj. 67 %).

Na základě získaných údajů jsme podle postoje vůči klimatizaci vyčlenili skupinu 178 osob (nad  $\pm 1$  standardní odchylku), které projevily krajní spokojenost či nespokojenost. V jejich pracovištích jsme provedli orientační průřezové měření mikroklimatických parametrů. Assmannovým aspiračním psychometrem byla měřena suchá a mokrá teplota vzduchu, kulovým teploměrem Vernon-Jokl výsledná teplota ve výši 105 cm nad podlahou a přístrojem Thermo-Air proudění vzduchu. Měření byla uskutečněna za slunných dnů v letním období (červenec, srpen 1982) vždy mezi 11. a 15. hodinou. Celkem bylo provedeno 138 měření v kancelářích a 16 měření venku.

V další fázi jsme tuto vybranou skupinu podrobili doplňkovému vyšetření z hlediska percepce pracovní zátěže, osobních vlastností a údajů o nemocnosti. O této části referujeme na jiném místě.

Zpracování výsledků spočívá ve srovnání skupin krajně spokojených a extrémně nespokojených osob statistickými testy ( $t$ -test,  $\chi^2$ -test podle povahy dat).

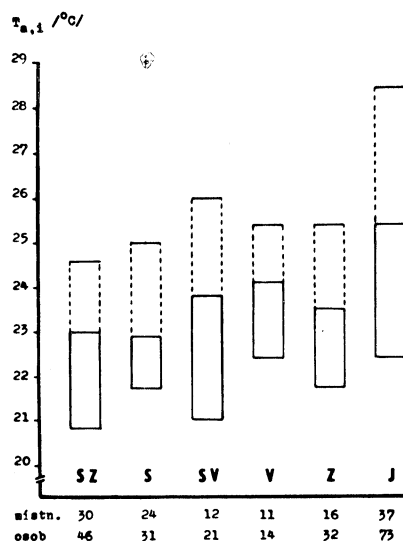
### Výsledky

Jednou z otázek dotazníku jsme zjišťovali celkový postoj vůči mikroklimatickým podmínkám v budově. Z celého souboru hodnotilo tyto podmínky kladně 12,2 % osob, dalších 12,5 % osob se vyjádřilo neutrálne a 75,3 % osob se vyslovilo záporně.

Tři čtvrtiny pracovníků tedy vyjádřily nespokojenost s mikroklimatickými podmínkami na pracovišti.

Naměřené hodnoty rychlosti proudění vzduchu v místnostech se pohybovaly v rozmezí  $0,1\text{--}0,2 \text{ m} \cdot \text{s}^{-1}$ , hodnoty relativní vlhkosti v rozmezí 34–63 %. Teploty vzduchu v místnostech a jejich závislost na orientaci místnosti znázorňuje obr. 2.

Ve 126 ze 138 místností (tj. 84,1 %) nepřesáhla teplota vzduchu hodnotu  $25,5^\circ\text{C}$ , která je hygienickým předpisem stanovena jako horní hranice optimální výsledné



Obr. 2. Naměřené hodnoty teplot vzduchu v místnostech podle světových stran. Jsou znázorněny minimální, průměrná a maximální teploty vzduchu, jimž odpovídají spodní, střední a horní úsečky. Průměrné hodnoty byly vypočteny jako střední hodnota ze všech měřených místností v každé ze světových stran

teploty v místnostech pro administrativní práci. Ve zbylých 22 místnostech (tj. 15,9 %) byly zjištěny teploty vzduchu nad  $25,5^\circ\text{C}$  s naměřeným maximem  $28,4^\circ\text{C}$ . Z těchto 22 kanceláří jsou 3 místnosti orientovány na severovýchod, zbývajících 19 místností na jih.

V době měření se venkovní teploty pohybovaly v rozmezí  $21,6\text{--}26,6^\circ\text{C}$ , relativní vlhkost byla 39–71 %, proudění vzduchu od 1 do  $4 \text{ m} \cdot \text{s}^{-1}$ . Je patrno, že příčinou vyšších teplot v místnostech orientovaných na jižní stranu byly tepelné zisky budovy sluneční radiací.

Výsledky konfrontace skupin spokojených a nespokojených osob jsou uvedeny v tab. 1 a 2.

Vzhledem k minimálním rozdílům proudění vzduchu mezi místnostmi lze zamítat hypotézu o souvislosti tohoto činitele se subjektivními postoji bez statistického testu. Je patrno, že se neprokázala ani souvislost mezi postoji a relativní vlhkostí vzduchu v místnostech. Na druhé straně vztah mezi postoji a zjištěnými hodnotami teploty vzduchu je statisticky významný; průměr teplot vzduchu v místnostech osob s negativním postojem je vyšší než u osob s postojem pozitivním. Souvislost

Tab. 1. Srovnání osob s kladným a záporným postojem (oboustranný *t*-test)

Proměnná	Kladný postoj		Záporný postoj		Počet stupňů volnosti	<i>t</i>	<i>p</i>	<i>F</i>	<i>p</i>
	$\bar{x}$	<i>s</i>	$\bar{x}$	<i>s</i>					
teplota vzduchu v místnosti [°C]	23,6	1,39	24,2	1,44	162	2,68	0,008	1,06	n. s.
relat. vlhkost vzduchu [%]	47,2	5,18	47,7	5,82	162	0,57	n. s.	1,26	n. s.
věk respondenta [roky]	38,8	12,15	37,1	12,90	176	0,65	n. s.	1,13	n. s.
délka práce v klimatiz. budově [roky]	3,6	1,64	3,7	1,53	176	0,25	n. s.	1,14	n. s.

$\bar{x}$  = aritmetický průměr, *s* = směrodatná odchylka, *t* = kriterium rozdílu mezi průměry skupin, *p* = hladina významnosti, *F* = kriterium rozdílu mezi směrodatnými odchylkami

Tab. 2. Srovnání osob s kladným a záporným postojem  $\chi^2$  test)

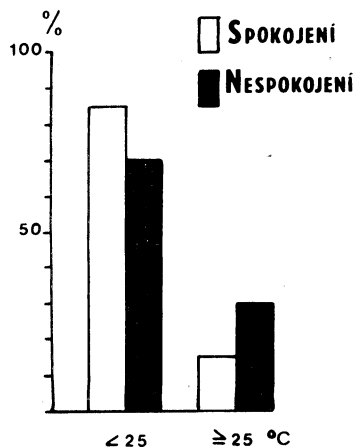
Proměnná	$\chi^2$	Počet stupňů volnosti	<i>p</i>
teplota vzduchu v místnosti	5,78	1	0,016
délka práce v klimatizované budově	11,57	5	0,041
předchozí práce v klimatizované budově	11,12	1	n. s.
srovnání dřívějších podmínek s nynějšími	104,89	4	0,001
počet osob v místnosti	19,74	2	0,001
umístění pracovního stolu	3,13	3	n. s.
orientace místnosti	13,05	5	0,023
kuřáctví	8,82	4	n. s.
kouření na pracovišti („vadí — nevadí“)	14,75	2	0,001
bydliště: druh obytného domu	1,47	2	n. s.
druh vytápění domu	0,53	2	n. s.
srovnání podmínek doma a na pracovišti	120,98	4	0,001

$\chi^2$  = hodnota testového kritéria, *p* = hladina významnosti

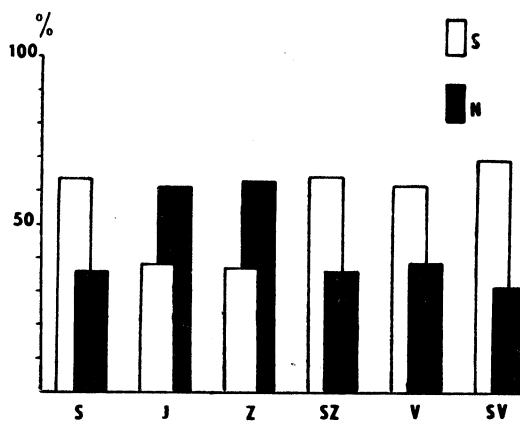
mezi těmito proměnnými je znázorněna v obr. 3. Z grafu je vidět, že v těch místnostech, kde teploty vzduchu byly menší než 25 °C, převládají spokojení nad nespokojenými, kdežto v místnostech s naměřenou teplotou nad tuto hranici je tomu naopak. Pro tento test jsme volili mez 25 °C proto, neboť se opíráme o hodnoty teploty vzduchu, měřené aspiračním psychrometrem, nikoliv o hodnoty výsledné teploty, měřené kulovým teploměrem. Při měření se prokázalo, že hodnoty kulového teploměru byly zpravidla vyšší, v krajiném případě až o 3,9 °C. Jelikož tento přístroj vyžaduje dobu asi 30 minut k ustálení, nebylo možné jeho pomocí provést měření ve všech místnostech, neboť by se časově příliš protáhlo a porušila by se stejnost podmínek.

Jelikož teploty vzduchu v místnostech byly podmíněny tepelnými zisky budovy za slunečních dnů, testovali jsme hypotézu o souvislosti mezi spokojenosťí a orien-

tací místnosti vzhledem ke světové straně. Z obr. 4 vysvítá, že nejvyšší koncentrace nespokojených osob je v místnostech orientovaných na jih a na západ, kdežto v místnostech na ostatních stranách převládají relativně více spokojení, nejvíce na severovýchodní straně.



Obr. 3. Postoje respondentů podle teploty vzduchu v místnostech



Obr. 4. Vztah mezi postoji a orientací pracoviště

V dotazníku jsme pracovníky vyzvali několika otevřenými otázkami, aby se vyjádřili k hlavním problémům klimatických podmínek v budově. V tab. 3 je uveden přehled jejich připomínek.

V popředí stížností jsou zejména neotvíratelná okna a relativní vlhkost vzduchu, dále kvalita vzduchu a teplota v budově.

Většině kritizujících, zejména v jižně orientovaných místnostech, se zdá, že vzduch

Tab. 3. Přehled připomínek zaměstnanců

Kritická připomínka	Žádná		Kladná		Neutrální		Záporná	
	N	%	N	%	N	%	N	%
sucho — vlhko	274	33,6	20	2,5	50	6,1	471	57,8
neotvíratelná okna	291	35,7	9	1,1	44	5,4	471	57,8
kvalita vzduchu	276	33,9	26	3,2	49	6,0	464	56,9
teplota — chladno	262	32,1	44	5,4	48	5,8	461	56,6
proudění vzduchu	393	48,2	49	6,0	96	11,9	277	34,0
hlukost	584	71,7	0	0,0	4	0,5	227	27,9

je příliš suchý, poukazují na pocit žízně a vysychání sliznic. Na druhé straně někteří připomínají proměnlivost relativní vlhkosti, několika málo jednotlivcům se zdá vzduch občas „jako v prádelně“. Nemožnost otvírat okna je zjevně velmi nepříjemná a i řada těch, kteří projevují s klimatizací celkově spokojenost, toto pokládají za závažný nedostatek. Pokud jde o kvalitu vzduchu, stížnosti se zmiňují o těžkém, vydýchaném vzduchu a pocitu nedostatku kyslíku, s čímž spojují svou zvýšenou únavnost zejména v odpoledních hodinách.<sup>1)</sup> Na osluněných stranách si lidé stěžují na přílišné horko v létě (popřípadě i v přechodných obdobích roku, kdy svítí slunce) a na chladno, popř. nerovnoměrné teploty v zimě. V severně orientovaných místnostech naopak se zdá v létě chladno, v zimě horko. Dosti intenzívny byly připomínky týkající se výkyvů teplot a jejich kolísání během kratších období (den, týden), rozdílu mezi místnostmi a chodbami. Kolísání teplot je pociťováno nepříjemně. Část pracovníků si stěžuje na proudění vzduchu — na nohy táhne chladný vzduch, kdežto hořejší část těla je v teple. Pro duševní práci by tomu mělo být spíše naopak. Hodnocení výkyvů teplot je uvedeno v tab. 4.

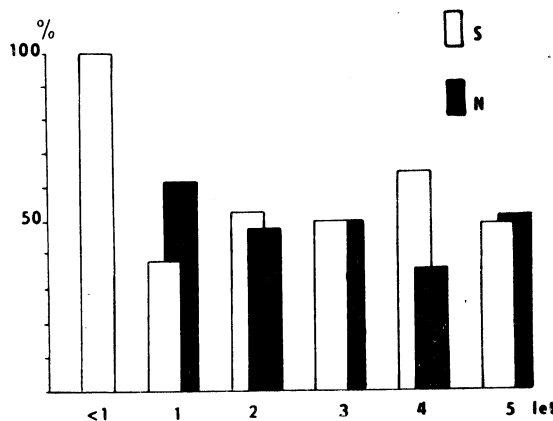
Z tab. 1 je zřejmé, že rozdíl mezi spokojenými a nespokojenými z hlediska věku a délky práce v klimatizované budově není prakticky žádný; tyto okolnosti s posto-

Tab. 4. Hodnocení výkyvů teplot

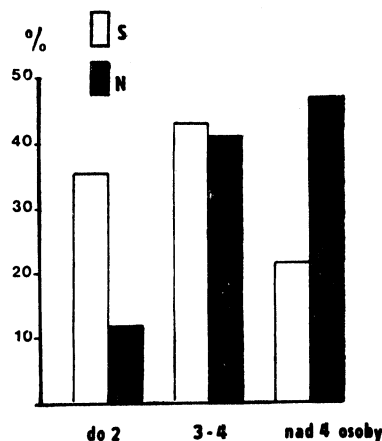
Odpověď	Během dne		Během týdne	
	N	%	N	%
nepozoruje	257	31,5	251	30,8
příjemné	0	0,0	0	0,0
vyhovuje	2	0,2	1	0,1
neutrál	22	2,7	40	4,9
nevyhovuje	403	49,5	398	48,9
nepříjemné	131	16,1	125	15,3
Celkem	815	100,0	815	100,0

<sup>1)</sup> Dodatečně byl změřen obsah kyslíku v ovzduší v osmi místnostech budovy. Naměřené hodnoty v denní době mezi 14.—15. hodinou se pohybovaly v rozmezí 20,5—20,9 obj. % O<sub>2</sub>.

jem vůči klimatizaci nesouvisejí. Vztah jsme ověřovali ještě testem  $\chi^2$ , jímž se porovnává vzájemná struktura obou skupin (viz tab. 2). Zatímco z hlediska věkového složení nejsou mezi oběma soubory rozdíly, z výsledků srovnání délky práce v klima-



Obr. 5. Vztah mezi postoji a délkou práce v klimatizované budově



Obr. 6. Postoje podle počtu osob na pracovišti

tizované budově vysvítá, že negativní postoj vůči klimatizaci se vytváří relativně brzy po nástupu pracovníka (obr. 5).

Pokud jde o dřívější pracoviště (tj. zda byl pracovník již dříve zaměstnán na pracovišti s klimatizací), neprokazuje se souvislost s postojem; výsledky jsou ovšem ovlivněny malým počtem těch, kteří již dříve v klimatizovaných prostorách pracovali.

Nespokojenost ovlivňují dva další faktory. Především je patrný, že významný vliv má počet osob na pracovišti; čím více osob v místnosti pracuje, tím více (v relativním přepočtu) převládá nespokojenost. Poměr je znázorněn v obr. 6.

Druhým faktorem je kouření na pracovišti. Převážné části nespokojených kouření na pracovišti vadí, kdežto u spokojených je obrácený poměr. Jelikož v obou skupinách je zhruba stejné rozložení kuřáků a nekuřáků (kuřáctví či nekuřáctví s nespokojeností nesouvisí), vysvítá z toho, že nespokojení nekuřáci dávají svůj odpor ke kouření výrazněji nežli spokojení.

Na nespokojenost nemá vliv umístění pracovního stolu v místnosti, zejména ne z hlediska vzdálenosti od stěn a oken. Tento výsledek je podepřen i odpověďmi na dotaz o vnímání rozdílů mezi teplotou vzduchu v místnosti a teplotou okolních předmětů. Z celého souboru 815 osob odpovědělo pouze 63 (tj. 7,7 %), že tento rozdíl pocítuje nepříjemně, kdežto zbytek (tj. 92,3 %) odpověděl, že rozdíl vůbec nevnímá.

Z tab. 2 je dále patrné, že postoje vůči klimatizaci nejsou závislé na tom, v jakém typu domu pracovníci bydlí (činžovní dům tradiční, panelový, rodinný domek či vila), ani na druhu vytápění doma (ústřední, lokální, otopná plocha ve stropu). Nespokojenost se však promítá do srovnání podmínek doma a na pracovišti. Na otázku, které z mikroklimatických podmínek pokládají za lepší či horší, odpovědělo plných 100 % nespokojených, že v práci jsou podmínky horší, kdežto spokojených se v tomto smyslu vyjádřilo 73 %, dalších 21 % uvedlo, že podmínky jsou zhruba stejné a 6 % připustilo, že na pracovišti mají v tomto ohledu podmínky lepší.

## Diskuse

Z uvedených výsledků lze odvodit, že postoje vůči klimatizaci jsou podmíněny celou řadou příčin. Lze tedy hovořit spíše o syndromu nespokojenosti, v němž spolu-působí celý soubor okolností jak zevních ze strany prostředí, tak vnitřních ze strany člověka.

Jednou ze zevních příčin je zvýšená teplota vzduchu v místnostech, vznikající tepelnými zisky budovy na oslněných stranách. Nasvědčuje tomu větší podíl nespokojených osob v takto orientovaných místnostech. Budova je vybavena determinálními skly, která absorbuji sluneční teplo a zároveň je sdílí do místnosti. Používání clon k zamezení prostupu tepla je pro zaměstnance problematické, neboť musí volit mezi dvěma zly: při zatažené cloně je v místnosti sice snesitelná teplota, zato se však zhorší osvětlení; při nezatažené cloně je osvětlení dobré, avšak za cenu zvýšené teploty vzduchu. Clony jsou účinné potud, pokud jsou zataženy již na počátku doby, kdy začne působit sluneční svit. K témuž nevýhodám clon přistupují ještě další psychologické momenty. Manipulace se clonou je preventivním úkonem, kterým se člověk brání budoucímu tepelnému diskomfortu. Účinky tohoto úkonu nejsou okamžitě zjevné, jako je tomu např. při otevření okna. Otevřením okna člověk aktivně reaguje na již nastalý pocit diskomfortu, kdežto včasné zatažení clony je aktem, zaměřeným do budoucna, kdy pocit diskomfortu jakožto podnět není ještě přítomen. Podnětem k tomuto úkonu je pouze sluneční svit, který venku v ranní době i v letním období má slabší tepelné účinky a při příchodu lidí do místnosti ještě bezprostředně neovlivňuje vnitřní mikroklima. Navíc jsou pracovníci dominantně zaměřeni na svou pracovní činnost a nelze se tudíž divit, že si na clonu prostě nevzpomeňou. Když pak pocítí tepelný diskomfort, je již zatažení clony neúčinné. Kromě toho mezi lidmi existují značné rozdíly v hranicích subjektivního diskomfortu. Čím více osob v místnosti pracuje, tím větší je pravděpodobnost, že se neshodnou v tom, zda dát přednost nižší intenzitě osvětlení či vyšší teplotě vzduchu. Při šetření jsme se v jedné místnosti setkali s pracovnicí, která při 28 °C byla oblečena ve svetr a neu-stále se obávala chladu.

Z hlediska clonění jsou nejvhodnější místnosti orientované na severovýchod (ovšem kromě severní a severozápadní strany, kde clonit není nutné) vzhledem ke krátké době působení slunečního svitu v ranních hodinách. Pohled na obr. 2 nás nicméně přesvědčuje o tom, že část pracovníků na severovýchodní straně clon nepoužívá. Na západní straně dochází k osvitu až v odpoledních hodinách, takže působení tepelné zátěže není z časových hledisek tolik účinné. Nejdéle trvá účinek slunečního tepla na jižní a prakticky i na východní straně, kde efekt oslunění z dopoledních hodin přetravává až do pozdního odpoledne. Naměřené hodnoty teplot vzduchu, znázorněné na obr. 2, plně odpovídají tomuto časovému průběhu.

Prostorová orientace budovy není řešena nejštastněji. Z půdorysu na obr. 1 je patrné, že objekt je svou největší plochou orientován na jižní stranu, což spolu s velikostí prosklených ploch vytváří podmínky pro prostup slunečního tepla do velké části vnitřních prostor. Podle půdorysu je relativní podíl ploch budovy v jednotlivých světových stranách následující:  $J = 25,5\%$ ,  $V = 10,4\%$ ,  $SV = 16,0\%$ ,  $S = 21,7\%$ ,  $SZ = 16,0\%$ ,  $Z = 10,4\%$ . Největší část plochy obrácené na jih není zanedbatelnou skutečností, uvádíme-li velikost budovy (28 podlaží) a dále i to, že na této straně jsou umístěny větší kanceláře pro 4–8 pracovníků. Na chladnějších stranách jsou místnosti menší, zpravidla pro 1–2 osoby. Velká část zaměstnanců je tak vystavována tepelným účinkům sluneční radiace, což spolu s většími počty osob v místnosti vytváří podmínky pro vznik a přenos nespokojenosti. Toto pokládáme též za jednu z možných příčin, proč jsme zjistili tak velký podíl nespokojených (75 %) oproti jiným pramenům, např. Berka [3] uvádí 40 %, Šverko a Vukmirovič [4] 66 % Dvořák [5] rovněž 66 %.

Skladba subjektivních stesků je vesměs shodná s údaji, uváděnými jinými autory. U některých připomínek se neprokázal reálný podklad, zejména u stížností na příliš suchý vzduch. Luštinec [6] uvádí, že člověk nedokáže rozpoznat rozdíly relativní vlhkosti vzduchu v rozmezí 30–70 % a vnímá pouze extrémní hodnoty. Je nepochybné, že pocit suchého vzduchu závisí zčásti na teplotě vzduchu, avšak touto souvislostí nelze stížnosti bez zbytku vysvětlit, jelikož v místnostech s vyššími naměřenými teplotami se počet stížností nelišil od jejich počtu v místnostech ostatních. Tyto stížnosti se vyskytovaly zpravidla spolu se steskou na těžký, vydýchaný vzduch, pocity nedostatku kyslíku, únava a ospalost, což podle Gubernského [7] souvisí se změnou fyzikálních vlastností vzduchu při jeho úpravě v klimatizačním zařízení. Lajčíková [11] dokládá, jak klesá koncentrace volných záporných i kladných iontů a mění se jejich vzájemný poměr ve vzduchu místnosti klimatizované budovy oproti vzduchu venkovnímu, což je pokládáno za faktor velmi nepříznivý. I když jsme při našem šetření neměřili koncentrace volných iontů a nemůžeme se tudíž vyslovit k tomu, zda tato okolnost souvisí s nespokojeností, pokládáme otázku elektroiontového mikroklimatu za závažnou, která by měla být při projektování klimatizovaných budov respektována.

Stížnosti na kolísání teplot bývají v klimatizovaných budovách rovněž konstatovány. Na druhé straně při dřívějším měření v téže budově Bakalář [1] nezjistil žádné větší kolísání teplot. Termohygrografické záznamy ze čtyř místností v zimním období a jedné místnosti v letních měsících ukázaly v jedné místnosti v 10. patře (jižní strana) a v jedné místnosti ve 22. patře (západní strana) kolísání teplot o  $\pm 2$  až  $2,5^{\circ}\text{C}$  jen v devíti dnech (30 % měření), kdežto v nižších patrech bylo kolísání teplot minimální. Křivka vykázala pravidelnou dynamiku se strmějším vzestupem k začátku pracovní doby, dosažení maxima kolem 14. hodiny, jež trvalo do konce pracovní doby, načež docházelo k pozvolnějšímu poklesu až do ranních hodin. Toto mě-

ření však nebylo prováděno za slunných dnů a tepelné zisky budovy v letním období byly minimální nebo vůbec žádné. Domníváme se, že prostop tepla prosklenými plochami do místností je zřejmě jednou z objektivních příčin stesků na kolísání teplot. Další příčinou mohou být rozdíly mezi teplotou vzduchu v jednotlivých místnostech a v dalších prostorách (chodby, schodiště, výtahy apod.). Je pravděpodobné, že se tato skutečnost promítá do subjektivního hodnocení teplot vzduchu, neboť pracovní činnost většiny zaměstnanců vyžaduje občasný pohyb po budově (dotazování uváděli, že v průměru ztráví 76 % pracovní doby vsedě, 10 % vstojí a 14 % při přecházení).

Velmi typickým objektem stížností jsou neotvíratelná okna. *Lriot et al.* [8] uvádí, že přání otvírat okno projevuje zhruba 80 % zaměstnanců. V našem souboru vyjádřilo 59 % osob nespokojenosť s neotvíratelnými okny. Jádrem této nespokojenosnosti je nejpravděpodobněji stísněnosť vyplývající z uzavřeného prostoru a pocit pasivního vystavení vlivům prostředí. Třicet procent všech dotazovaných (z 815 osob) uvádělo, že trpí stísněnými pocity v uzavřených prostorách. I když u většiny z nich nejde o vyhnaněnou klaustrofobii, podl těchto osob mezi nespokojenými je daleko větší než mezi spokojenými (47,1 % oproti 10,8 %). Pro pocity pasivity je přiznácná nemožnost aktivně regulovat stav organismu změnou podmínek v okamžiku, kdy se člověku zdá, že to potřebuje. Jeden z dotazovaných to vyjádřil lapidárně: „Stísněný pocit, bylo by podstatné zlepšení (tj. možnost otvírat okna) hlavně na jaře a v létě, člověk by byl oním hlavním regulátorem.“ Otevřením okna se člověk aktivně brání šíření útlumových procesů v mozkové kůře a nemá pocit bezmocného pasivního vystavení vlivům mikroklimatického prostředí. Naopak, pocit pasivity se zesiluje tím, že teplota vzduchu se mění nezávisle na přání osob. Organismus to nutí k readaptacím, které jsou pocitovány nepříjemně.

Z hlediska našich výsledků je možno dotknout se dvou teorií, které se pokoušejí o vysvětlení nespokojenosnosti s klimatizací. První z nich se týká rozdílu mezi teplotou vzduchu v místnostech a teplotou okolních ploch, zejména stěn. Negativní či pozitivní sálání zdí nebo okenních ploch může být vnímáno nepříjemně. Naše výsledky však nenasvědčují, že by tato okolnost hrála roli ve zrodu postojů vůči klimatizaci.

Druhá teorie se týká tzv. klimamonotonie, tj. neměnnosti mikroklimatických podmínek v průběhu času. Podle této hypotézy není pro člověka vhodné konstantní neměnné mikroklima, nýbrž občasná změna, zejména teploty vzduchu [9]. V klimatizačních zařízeních jsou mikroklimatické parametry udržovány konstantně a z toho též vyplývá, že jednou z příčin nespokojenosnosti osazenstva může být klimamonotonie. Naše výsledky však svědčí spíše o tom, že nepříjemně jsou pocitovány výkyvy teplot. *M. A. Humphreys* [10] upozornil, že lidé v klimatizovaných místnostech jsou méně tolerantní ke změnám teplot nežli v neklimatizovaných a na základě rozboru subjektivních pocitů vypočetl regresní rovnice, v nichž kalkuluje s teplotou neutrální (tj. s teplotou, při které lidé nevnímají ani teplo ani chlad) a s jejím rozdílem od teplot skutečně naměřených v průměru za hodnocené období. V těchto rovnicích je v podstatě zakalkulován faktor změny: pokaždé, když se změní teplota, je výkyv pocitován nepříznivě, po určitém čase se však lidé přizpůsobí a nová změna je opětně pocitována negativně.

Naše výsledky jsou zjevně v souladu s Humphreysovým pozorováním. Na základě toho je možno se domnívat, že jedním z činitelů, který ovlivňuje nespokojenosť s klimatizovanými prostorami je faktor pasivity, tj. nemožnost aktivně regulovat svůj stav změnou mikroklimatických parametrů a současně nutnost pasivně se adaptovat změnám.

## Závěr

Zjistili jsme, že nespokojenosť s klimatizací v plně klimatizované budově administrativního typu je ovlivňována těmito hlavními faktory: vyšší teplotou vzduchu v místnostech, orientací místnosti vzhledem ke světovým stranám, větším počtem osob pracujících v místnosti, kouřením na pracovišti, nemožností otvírat okna a s tím spojenou nemožností aktivně regulovat stav organismu. Vyšší teploty vzduchu v místnostech na osluněných stranách v letním období jsou způsobovány tepelnými zisky sluneční radiací prosklenými plochami. Nespokojenosť nezávisí na vzdálenosti pracovního stolu od okna či od zdi, na relativní vlhkosti vzduchu, na věku pracovníků, druhu obytného domu a způsobu vytápění v jejich bydlišti. Negativní postoj ke klimatizaci se vytváří brzy po nástupu pracovníka.

Všechny dosavadní zkušenosti s plně klimatizovanými budovami poukazují na určitou problematičnost těchto staveb. Pokud bude z jakýchkoli důvodů nutno stavět nové objekty podobného druhu, doporučovali bychom, aby bylo dbáno těchto okolností:

1. Omezovat pokud možno velikost strany orientované na jih.
2. Na osluněných stranách omezit velikost prosklených ploch.
3. Sluneční clony by měly propouštět co nejvíce světla a přitom co nejúčinněji bránit prostupu tepla do místnosti.
4. Umožnit alespoň malé otvíratelné větrací průduchy do místností, zejména na osluněných stranách.
5. Domníváme se, že z hlediska zabránění možným zdrojům nespokojenosť a konfliktním situacím mezi pracovníky by v místnostech pro administrativní a duševní pracovníky neměly pracovat více než 3–4 osoby. Na osluněných stranách klimatizovaných budov by neměly být umisťovány místnosti větší než pro 3 osoby.

## LITERATURA

- [1] Bakalář V.: Hygienická problematika klimatizovaných budov. Bezpečná práca, 14, 1983, 2: 60–64.
- [2] Hygienické předpisy sv. 39/1978, Směrnice č. 46 o hygienických požadavech na pracovní prostředí. MZd ČSR, Avicenum, Praha, 1979.
- [3] Berka I.: Mikroklimatické podmínky v administrativních budovách s lehkým opláštěním. Bezpečná práca, 7, 1976, 1: 16–20.
- [4] Šverko B., Vukmirovič Ž.: Ispitivanje stava prema klimatizaciji radnog. Arh. Hig. Rada Toksikol., 30, 1979, 4: 323–332.
- [5] Dvořák M.: Hygienická problematika budov s lehkým obvodovým pláštěm. In: Budovy s lehkým obvodovým pláštěm v letním období, ČVTS-Dům techniky Praha, 1975, 44–45.
- [6] Luštinec K.: Optimální a přípustné hodnoty klimatických faktorů. Pracov. Lék., 30, 1978, 3: 81–98.
- [7] Gubernskij J. D., Korenevskaja E. I.: Hygienische Grundlagen der Klimagestaltung in Wohn- und Gesellschaftsbauten. VEB-Verlag Volk und Gesundheit, Berlin, 1983.
- [8] Loriot J. et al.: Existe-t-il une pathologie de l'air conditionné? Arch. Mal. Prof., 40, 1979, 10: 952–956.
- [9] Peters T.: Vollklimatisierte Räume. Zbl. Arbeitsmed. 26, 1976, 11: 243–246.
- [10] Humphreys M. A.: Field studies of thermal comfort compared and applied. In: Physiological requirements on the microclimate and problems of their technical realization, Praha, IHE, 1975, 115–181.
- [11] Lajčíková A.: K problematice umělého elektroiontového mikroklimatu. Pracov. Lék., 37, 1985, 2: 62–65.

## **НЕДОВОЛЬСТВО С КОНДИЦИОНИРОВАНИЕМ ВОЗДУХА. СОПОСТАВЛЕНИЕ СУБЪЕКТИВНЫХ И ОБЪЕКТИВНЫХ ДАННЫХ**

*д-р фил. Алеши Гладки, к. т. н., д-р мед. Владимир Бакаларж*

Авторы устанавливают отношения к кондиционированию воздуха и к микроклиматическим параметрам у 815 лиц в административном высотном здании с 28 этажами. Недовольство способствует высшая температура воздуха, ориентация помещения, высшее количество лиц работающих в помещении, курение, невозможность открывать окна и таким способом активно оказывать влияние на состояние организма. На недовольство неимеет влияние расстояние рабочего стола от окна или стены, относительная влажность и воздушное течение, возраст работников, сорт жилого дома и способ отопления в местожительстве.

### **THE DISCONTENT WITH AN AIR CONDITIONING. THE COLLATION OF THE SUBJECTIVE AND OBJECTIVE DATA.**

*PhDr. Aleš Hladký, CSc., MUDr. Vladimír Bakalář*

The authors investigated attitudes towards an air conditioning and microclimatic parameters of 815 persons in a 28-storeyed high-rise administrative building.

The discontent is caused by the higher air temperature, the room orientation, the higher number of persons working in the room, smoking, impossibility to open the windows and thus active influence upon the state of the organism.

The discontent is not influenced by the distance of the working table from the window or from the wall, the relative humidity and air flowing, the age of the workers, kind of the block of flats and the method of heating in a place of the residence.

### **UNZUFRIEDENHEIT MIT DER KLIMATISIERUNG. KONFRONTATION DER SUBJEKTIVEN UND OBJEKTIVEN ANGABEN**

*PhDr. Aleš Hladký, CSc., MUDr. Vladimír Bakalář*

Die Autoren stellten die Stellung zur Klimatisierung und zu den Mikroklimaparametern bei 815 Personen in einem 28 stöckigen Bürohochgebäude fest.

Die Unzufriedenheit verursacht die höhere Lufttemperatur, die Orientierung von Räumen, die grössere Zahl von in einem Raum arbeitenden Personen, das Rauchen, die Unmöglichkeit des Öffnens von Fenstern und so auch der aktiven Beeinflussung des Standes eines Organismus. Die Unzufriedenheit steht unter keinem Einfluss der Entfernung eines Arbeitstisches von dem Fenster oder von der Wand, der Relativfeuchtigkeit und der Luftströmung, des Alters von Arbeitern, des Wohnhaustyps und der Heizungsart im Wohnort.

### **MÉCONTENEMENT AVEC LA CLIMATISATION. CONFRONTATION DES DONNÉES SUBJECTIVES ET OBJECTIVES**

*PhDr. Aleš Hladký, CSc., MUDr. Vladimír Bakalář*

Les auteurs vérifiaient les positions à l'égard de la climatisation et des paramètres microclimatiques chez 815 personnes dans un bâtiment de bureaux haut à 28 niveaux. Le mécontentement est occasionné par la température plus haute de l'air, l'orientation des locaux, le nombre plus grand des personnes travaillant dans un local, l'habitude de fumer, l'impossibilité d'ouvrir les fenêtres et tellement influencer l'état d'un organisme activement.

Le mécontentement n'est pas influencé par la distance d'une table de travail de la fenêtre ou de la paroi, l'humidité relative et l'écoulement de l'air, l'âge des travailleurs, le type d'une maison d'habitation et le mode de chauffage dans un logement.

# VLIV SCHMIDTOVA ČÍSLA PŘI ODPAŘOVÁNÍ KAPALIN PŘI KOLMÉM IMPAKTNÍM PROUDĚNÍ ZE ŠTĚRBINOVÉ TRYSKY

Ing. FRANTIŠEK KŘÍŽEK

Státní výzkumný ústav pro stavbu strojů, Praha-Běchovice

Práce vychází z chronologického a kritického hodnocení publikovaných názorů na problematiku odpařování kapalin a v dalším se zabývá zpracováním vlastních experimentů se sedmi organickými ředitly ze současné sušárenské praxe. Zpracování výsledků experimentů, do kterého autor za pojouje i údaje z odpařování vody a sublimace naftalénu, provádí různými postupy a dochází k závěru, že ve sledovaném rozsahu experimentů je možno závislost pro intenzitu odpařování vyjádřit jednou kriteriální rovnicí. V závěru diskutuje rozlišnost případu podélně obtékané desky a sledovaného případu impaktního proudění.

Recenzoval: Ing. Ladislav Strach, CSc.

## 1.0 ÚVOD

V sušárenské praxi se stále častěji vyskytuje případ, kdy potřebujeme odpařovat ze sušeného materiálu jiné kapaliny než vodu. Převážně se jedná o kapaliny, u kterých se dosahuje vyšších rychlostí odpařování než u vody — o kapaliny rychle těkavé. Velmi často se tyto kapaliny odpařují při tryskovém sušení, tj. při použití impaktního proudění. Proto nás zajímá tato otázka ve spojení s problematikou odpařování — přenosu hmoty při výtoku proudů vzduchu z trysek kolmo na povrch odpařování (při impaktním proudění).

V podstatě se jedná o ověření platnosti vztahů pro přenos hmoty při impaktním proudění získaných při odpařování vody resp. sublimaci naftalénu [1], [2] i pro případ odpařování jiných kapalin.

## 2.0 ROZBOR PRACÍ ZABÝVAJÍCÍCH SE ODPAŘOVÁNÍM RŮZNÝCH KAPALIN

Problematice odpařování různých kapalin, ať již se odpařují z porézního povrchu, nebo volné hladiny, se věnuje řada prací. Pouze jediná práce [3] se v omezeném rozsahu zabývá odpařováním různých kapalin při impaktním proudění, a to pro případ osamělého kruhového proutu. Odpařovanými kapalinami byly butylalkohol ( $C_4H_{20}O$ ) a kyselina octová ( $C_2H_4O_2$ ), kterými byl sycen odpařovací povrch tvořený vrstvou jemného písku. Měření ukázala, že závislost  $Sh$  na  $Re$  si zachovává svůj charakter nezávisle na druhu odpařované kapaliny. Naproti tomu se jasně projevila závislost na  $Sc$  čísle odpařované látky, přestože se toto měnilo poměrně v malém rozmezí. Závislost přenosu hmoty na  $Sc$  byla určena exponentem 0,34 u  $Sc$  čísla.

Mnohem více prací se zabývá problematikou odpařování pro případy přestupu tepla a přenosu hmoty, které jsou častěji zkoumány (např. přenos hmoty z podélně obtékané desky, osamělé koule apod.).

Významnou prací v tomto směru je [4], která se snaží souhrnně zpracovat vý-

sledky odpařování nebo sublimace různých látek pro různé případy přestupu tepla a přenosu hmoty. Její autoři zavedli vyjádření přestupu tepla a přenosu hmoty pomocí  $j_H$  a  $j_D$  faktorů. Ve vzniklých rovnicích je použito u  $Pr$  a  $Sc$  čísla exponentu  $n = n' = 0,33$ , ačkoliv jsou srovnávány různé případy přenosu hmoty. Autoři si tuto nepřesnost uvědomovali a v práci je uvedeno srovnání výsledků různých autorů pro různé případy přenosu hmoty a přestupu tepla a diskutovány vzniklé chyby.

V [5] jsou již vztahy pro  $j$ -faktory uváděny v odlišné formě, která respektuje rozdílnost exponentů  $n$ ,  $n'$  pro různé případy přestupu tepla a přenosu hmoty.

Pro rychlosť odpařování z povrchu koulí uvádí [5] vztah

$$m = \frac{\lambda_V \cdot \Delta t}{r} \pi D' \left[ 2 + 0,303(Re_{D'} \cdot Sc)^{0,6} \left( \frac{\lambda_V}{\lambda_D} \right)^{0,5} \right], \quad (1)$$

ve kterém je  $D'$  průměr koule,  $\lambda_V$  tepelná vodivost vzduchu a  $\lambda_D$  tepelná vodivost par,  $r$  je výparné teplo. Vidíme, že vliv fyzikálních vlastností odpařované látky je vyjádřen v podstatně komplikovanější formě v závislosti na několika veličinách. Především na  $Sc$  kritériu, které má však společný exponent s  $Re_{D'}$ ; dále na podílu  $\frac{\lambda_V \cdot \Delta t}{r}$  a konečně na součiniteli  $\left( \frac{\lambda_V}{\lambda_D} \right)^{0,5}$ , který podle [5] přibližně bere v úvahu současný průběh výměny tepla a přenosu hmoty. Tato skutečnost naznačuje, že vzájemný vztah mezi přestupem tepla a přenosem hmoty pro určitý případ může být rozdílný pro odpařování různých kapalin. Míra vzájemného ovlivnění procesů může být různá.

V [7] jsou shrnutý výsledky výzkumu vlivu  $Sc$  a  $Pr$  čísla na průběh transportních jevů při proudění tekutin uvnitř trubky. Bylo zjištěno, že není možno pracovat s jedním exponentem rovným 0,33, ale že jeho hodnota se mění v rozmezí 0,5 (pro  $Pr$ ,  $Sc$  čísla blízká jedné) až 0,25 (pro  $Pr$  a  $Sc$  čísla větší než jedna).

Další zpracování analogie mezi přestupem tepla a přenosem hmoty vedlo k doplnění kriteriálních rovnic obvyklého typu

$$Sh = kRe^m Sc^n \quad (2)$$

tzv. bezrozměrným tlakovým číslem  $\frac{p - p''_p}{p}$  [8], takže rovnice pro přenos hmoty má pak tvar

$$Sh \frac{p - p''_p}{p} = kRe^m Sc^n. \quad (3)$$

Tohoto zpracování použil např. Loos [9] pro výsledky pokusů s odpařováním vody z porézních těles různých tvarů.

Zavedení tlakového čísla stejně jako podílu  $\frac{\lambda_V}{\lambda_D}$  ve vztahu (1) ukazují, že prohlubování poznatků o transportních jevech a zdokonalování měřicích metod umožnilo přesnější rozbor, který ukázal, že tyto jevy, probíhají-li současně, se vzájemně ovlivňují a že již často nevystačíme s jednoduchými kriteriálními rovnicemi. Výzkum se soustřeďuje na vyřešení otázky, zdali současný přenos hmoty zeslabuje nebo zesiluje přestup tepla, resp. za jakých podmínek zeslabení či zesílení nastává. Na tuto otázku je zaměřena řada sovětských prací.

V [10] výsledky odpařování různých kapalin ukázaly, že se vzhůstem intenzity

odpařování vzniká i intenzita přestupu tepla. Zpracování výsledků si vyžádalo zavedení dalšího kritéria

$$Gu = \frac{t - t_m}{T},$$

což umožnilo zpracovat výsledky jedinou rovnicí. Dalším poznatkem práce je, že součinitel přenosu hmoty  $\beta$  se zvětšuje se zvýšením molekulové hmotnosti kapaliny.

V [11] se uvádějí výsledky pokusů (podélne obtekávaná deska) při parametrech, které způsobovaly vysoké intenzity odpařování. Vysoká intenzita odpařování se projevuje vyšším příčným tokem hmoty, který je jedním z faktorů ovlivňujících vzájemný vztah transportních jevů. Příčný tok se vyjadřuje rychlosťí pohybu par odpařované kapaliny z odpařovací plochy obvykle v poměru k rychlosti vzduchu obtékajícího povrch odpařování. V této práci je vzájemný vliv transportních jevů, a tedy i příčného toku respektován kritérii  $K$  nebo  $Gu$ . Kritérium  $K$  je definováno vztahem

$$K = \frac{r}{c_K(t - t_p)} \quad (4)$$

a je nazýváno kritériem fázové přeměny.

Na tuto práci navazuje [12], která ke zpracování výsledků experimentů používá opět kritéria  $K$ . Na rozdíl od [11] však zavádí v kriteriálních rovnicích ještě simplex, vyjadřující poměr celkového tlaku vzduchu  $p$  k parciálnímu tlaku par kapaliny na fázovém rozhraní  $p''_p$ . Práce konstatuje, že se zvětšováním příčného toku se přenos hmoty zvětšuje a přestup tepla zmenšuje.

Společným znakem prací [10], [11], [12] je to, že do zpracování výsledků nezahrnují obvykle používaná kritéria  $Sc$  a  $Pr$ .

Z uvedeného rozboru některých prací, zabývajících se odpařováním různých kapalin, vidíme, že způsob zpracování výsledků a z něho vyplývajících rovnic podléhá vývoji v souvislosti s prohlubováním znalostí v transportních jevech a přesnějšími měřicími metodami a dá se předpokládat, že není ještě ukončen.

V další části naší práce chceme seznámit s výsledky odpařování různých kapalin (butylalkohol —  $C_4H_{10}O$ , etylalkohol —  $C_2H_6O$ , methylalkohol —  $CH_4O$ , carbon-tetrachlorid —  $CCl_4$ , aceton —  $C_3H_6O$ , toluen —  $C_7H_8$ , ethylacetát —  $C_4H_8O_2$ ) z desky vystavené působení impaktního proudu u osamělé štěrbínové trysky. Při zpracování vlastních výsledků se přihlédlo k poznatkům získaným ze studia prací uvedených v předchozí části. Z dálé uvedených údajů bude patrné, jakých výsledků bylo dosaženo použitím jednotlivých způsobů zpracování.

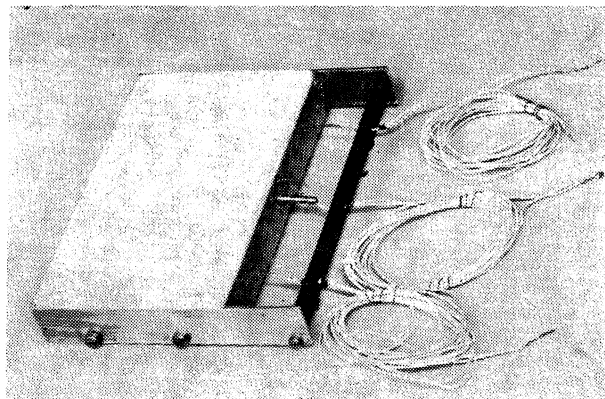
### 3.0 EXPERIMENTÁLNÍ METODA

Pro sledování přenosu hmoty při odpařování různých kapalin, kdy stačí sledovat střední součinitele přenosu hmoty, byla odpařovaná plocha tvořena souvislou fritovou deskou o rozměrech  $100 \times 170$  mm. Fritová deska byla zatmelena do nosné desky z duralu. Kapalina do prostoru vytvořeného pod fritovou deskou byla přiváděna jedním náústekem z nádobky umístěné na elektronických vahách Sartorius. Množství odpařené vody se zjišťovalo kontinuálním vážením nádobky.\*). Ve třech

\*) Použití fritové desky k modelovým zkouškám určení součinitelů přenosu hmoty a zařízení k realizaci této metody jsou chráněny čs. vynálezem č. 157 384 [13].

místech fritové desky jsou vyvrtány otvory pro umístění termočlánků těsně pod jejím aktivním povrchem. Celkové uspořádání desky je patrné z obr. 1.

Při zkouškách byla zkušební deska umístěna pod štěrbinovou tryskou instalovanou na zkušebním zařízení pro výzkum impaktního sušení popsaném v [1]. Poloha



Obr. 1. Uspořádání fritové desky

desky vůči trysce byla taková, aby osa proudu dělila zkušební desku v polovině (souměrný případ obtékání desky).

V průběhu ověřování měřicí metody bylo zjištěno, že po určité době odpařování (asi 20 min) některých kapalin dochází ke změnám v povrchové teplotě desky, což má svou příčinu v kondenzaci vodní páry ze vzduchu proudícího kolem desky na jejím povrchu. Tento jev je tím výraznější, čím nižší je teplota povrchu desky. Do určité míry se vliv kondenzace vodní páry projeví i na intenzitě odpařování. Pro omezení tohoto vlivu byla zkušební deska vždy před vlastní zkouškou pečlivě otřena tkaninou namočenou v odpařované kapalině.

#### 4.0 VYHODNOCOVÁNÍ VÝSLEDKŮ

Použité výpočtové vztahy jsou následující:

$$\bar{m} = \frac{\Delta G}{F \cdot \Delta \tau}, \quad (4)$$

$$\bar{m} = \frac{\beta}{R} \frac{p_p''}{T}, \quad (5)$$

$$\beta = \frac{\Delta G R T}{F \cdot \tau \cdot p_p''}, \quad (6)$$

$$Sh = \frac{\beta \cdot L}{D}, \quad (7)$$

$$Re = \frac{w_0 \cdot L}{\sqrt{\frac{s}{b} \cdot \nu}}, \quad (8)$$

kde  $\frac{s}{b}$  je poměrná vzdálenost ústí trysky od desky,

$L$  — šířka pásu aktivní plochy souměrného k ose proudu (trysky); v našem případě délka desky [m].

Tlak par mezi systomi  $p''_r$  ve vztahu (5) a (6) se určuje na základě střední teploty  $t_p$  povrchu desky měřené termočlánky. Pro stanovení  $\nu$  v rovnici (8) je určující teplota vzduchu u ústí trysky. Pro určení  $\bar{T}$  a  $D$  byla volena jako definiční teplota  $\bar{t}$  střední teplota mezní vrstvy podle vztahu

$$\bar{t} = \frac{t_0 + t_p}{2}. \quad (9)$$

Pro vyhodnocování výsledků je dále třeba znát tlak par  $p''_p$ , součinitele difúze  $D$  pro systém vzduch—odpařovaná kapalina a plynovou konstantu  $R$ . V dalším zpracování výsledků pomocí kritérií je ještě třeba znát některé termofyzikální údaje o kapalinách použitých při experimentech. Pro závislosti a hodnoty těchto veličin existuje v literatuře řada údajů, které se od sebe vzájemně poněkud liší. Bylo provedeno porovnání jednotlivých údajů a jejich kritické zhodnocení. Na jeho základě pak byly vybrány ty závislosti a údaje, které se jevily jako spolehlivé. Bližší rozbor této otázky přesahuje rámec předkládané práce.

## 5.0 ROZSAH ZKOUŠEK

Zkoušky se prováděly pro šíři štěrbiny  $b = 10$  mm, vzdálenost ústí trysky od desky  $s = 100$  mm a rychlosti proudění u ústí trysky  $w_0 = 20, 30, 40$  m/s. Tyto parametry byly voleny tak, aby ležely v oblasti platnosti rovnice

$$Sh = 0,2b^{-0,155} Re^{0,77} Sc^{1/3} = \bar{k} Re^{0,77} Sc^{1/3}, \quad (10)$$

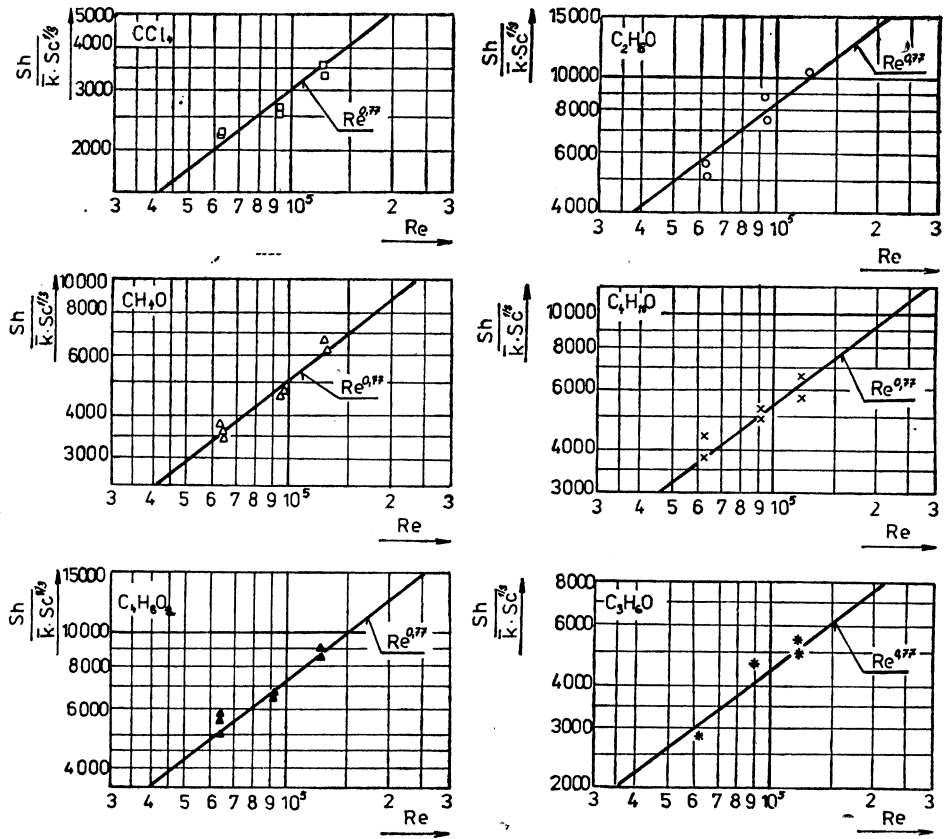
která byla stanovena v dřívějších pracích [1]. Změnou rychlosti  $w_0$  byly získány údaje  $Sh$  při různých  $Re$ , což umožňuje ověřit hodnotu exponentu u tohoto kritéria.

Vliv různých  $\frac{s}{b}$  a  $b$  se nezjišťoval, protože v případě platnosti rovnice (10) pro  $\frac{s}{b} = 10$  a  $b = 10$  mm a různá  $Re$  při odpařování různých kapalin není důvod pro pochyby o její vhodnosti pro  $\frac{s}{b}$  a  $b$  odlišná od dříve uvedených hodnot.

Celkem bylo provedeno asi 60 zkoušek. Intenzita odpařování byla určována vždy jako průměr ze 2 nebo 3 zkoušek.

## 6.0 ZPRACOVÁNÍ VÝSLEDKŮ ZKOUŠEK

Na základě experimentů byly získány hodnoty kritérií  $Sh$  a  $Re$ . Tyto hodnoty byly nejprve využity k ověření platnosti exponentu u  $Re$  čísla v rovnici (10). K tomuto



Obr. 2. Závislost  $\frac{Sh}{\bar{k}Sc^{1/3}}$  na  $Re$  čísle pro  $CCl_4$ ,  $CH_4O$ ,  $C_4H_8O_2$

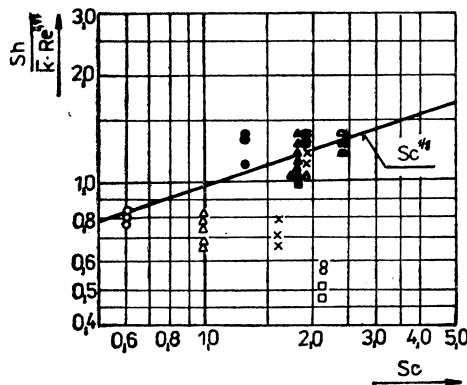
účelu se stanovily hodnoty simplexu  $\frac{Sh}{\bar{k}Sc^{1/3}}$  (kde  $\bar{k} = 0,1399$ ), který je závislý pouze na  $Re$ . Grafické vyjádření výsledků tímto způsobem pro  $C_2H_6O$ ,  $C_4H_{10}O$ ,  $C_3H_6O$ ,  $CCl_4$ ,  $CH_4O$ ,  $C_4H_8O_2$  je uvedeno na obr. 2. Z výsledků je patrné, že je s dostatečnou přesností splňena podmínka

$$\frac{Sh}{\bar{k}Sc^{1/3}} \sim Re^{0,77}.$$

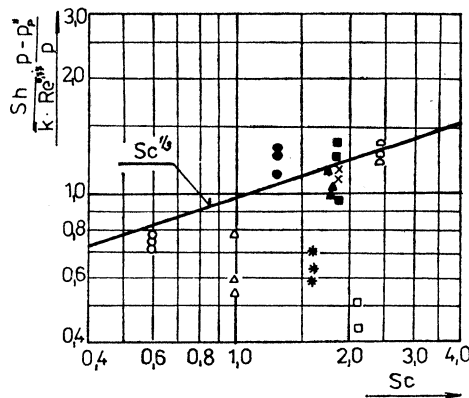
Znázorníme-li výsledky ve funkční závislosti

$$\frac{Sh}{\bar{k}Re^{0,77}} = Sc^{1/3},$$

která představuje upravený vztah (10), zjistíme, že vliv termofyzikálních vlastností odpařovaných kapalin respektovaný v rovnici (10)  $Sc^{1/3}$  je nedostačující. Obr. 3 uka-



Obr. 3. Závislost  $\frac{Sh}{k \cdot Re^{0,77}}$  na  $Sc$  čísle

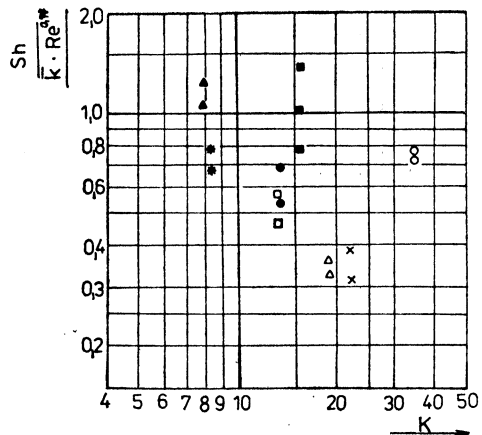


Obr. 4. Závislost  $\frac{Sh}{k \cdot Re^{0,77}} \cdot \frac{p - p''}{p}$  na  $Sc$  čísle

zuje, jak jsou velké odchylky u jednotlivých kapalin od předpokládané závislosti (označení bodů podle obr. 2 a 6). Je vidět, že odchylky v některých případech jsou značné ( $CH_4O$ ,  $C_4Cl$ ,  $C_3H_4O$ ). Obrázek také dává odpověď na otázku, proč nebyly zjištěny tyto rozdíly při porovnání zkoušek se sublimací naftalénu. V tomto případě je platnost vztahu (10) splněna.

V dalším postupu rozpracování výsledků bylo ověřováno, jakým způsobem ovlivní uspořádání naměřených hodnot zavedení bezrozměrného tlakového čísla  $\frac{p - p''}{p}$  ( $p = 98\ 100$  Pa). Výsledky jsou uvedeny na obr. 4. Vidíme, že dochází k ještě většímu rozptylu naměřených hodnot. Další pozornost tedy byla věnována zpracování výsledků pomocí kritéria  $K$ .

Nejprve jsme se pokusili vyjádřit výsledky způsobem obdobným jako [11], to



Obr. 5. Závislost  $\frac{Sh}{\bar{k} \cdot Re^{0,77}}$  na kritériu fázové přeměny

znamená, že kritérium  $Sc$  v kriteriální rovnici bylo nahrazeno kritériem  $K$ . Pro jednotlivé zkoušky bylo vypočteno kritérium  $K$  a v závislosti na jeho hodnotách byly vyneseny hodnoty  $\frac{Sh}{\bar{k} \cdot Re^{0,77}}$ . Toto je graficky znázorněno na obr. 5. Získaný obraz rozložení bodů nevykázal žádnou výraznou tendenci jejich závislosti na  $K$ .

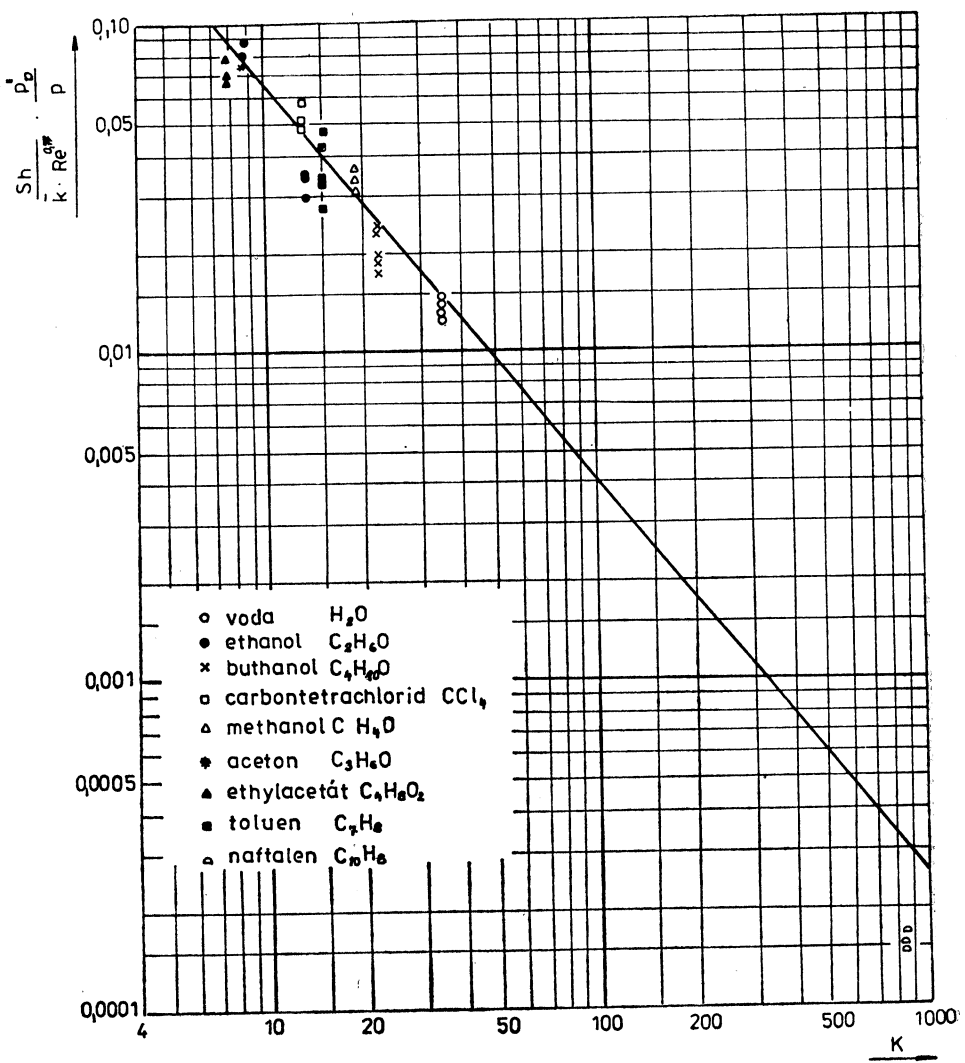
Teprve zavedení dalšího faktoru používaného v [12], a to poměru celkového atmosférického tlaku  $p$  ke tlaku par  $p_p''$  vedlo k vyhovujícímu konečnému zpracování naměřených výsledků. Hodnoty  $\frac{Sh}{\bar{k} \cdot Re^{0,77}}$  byly vydeleny tímto poměrem a vyneseny opět v závislosti na  $K$ . Výsledek je znázorněn na obr. 6. Naměřené hodnoty v daném případě již vykazují jednoznačnou závislost na  $K$ . Závislost hodnot  $\frac{Sh}{\bar{k} Re^{0,77}} \frac{p}{p_p''}$  na  $K$  byla zpracována metodou lineární regrese a pro přímkou proloženou naměřenými body stanovena rovnice

$$\frac{Sh}{\bar{k} Re^{0,77}} \frac{p_p''}{p} = 1,002 K^{-1,184}, \quad (11)$$

resp.

$$Sh = 1,002 \bar{k} \cdot Re^{0,77} \cdot K^{-1,184} \frac{p}{p_p''}. \quad (12)$$

To znamená, že intenzita přenosu hmoty klesá se zvětšováním kritéria fázové přeměny. To je v souladu s výsledky podle [12], která pro případ podélně obtékané desky dochází k obdobnému závěru, pouze s tím rozdílem, že u  $K$  uvádí exponent  $-0,6$ . Na obr. 6 jsou uvedeny i body získané při zkouškách metodou sublimace naftalénu, pro něž kritérium  $K$  je o řad vyšší (jako  $r$  je bráno sublimační teplo). Přesto prodloužíme-li přímkou podle rovnice (11) do této oblasti, není odchylka mezi body a přímkou značná.



Obr. 6. Závislost  $\frac{Sh}{k Re^{0,77}} \cdot \frac{p''}{p}$  na kritériu  $K$

## 7.0 ZÁVĚR

Zpracování experimentálních údajů ukázalo, že jednoduché respektování termofyzikálních vlastností odpařované kapaliny a vzájemného ovlivňování přestupu tepla a přenosu hmoty pomocí  $Sc$  čísla a poměru  $\frac{p - p''}{p}$  je nedostačující. Použití

kritéria fázové přeměny  $K$  a poměru  $\frac{p}{p_p}$  naopak umožnilo nalézt korelaci výsledku a určit vztah (12), který možno použít pro určení součinitelů přenosu hmoty při impaktním proudění ze štěrbinové trysky nebo soustavy štěrbinových trysk, a to v rozmezí  $Sc = 0,6 - 2,5$ , resp. v rozmezí  $K = 7 - 500$ . Rozsahy ostatních parametrů ( $w_0 = 10 - 40 \text{ m/s}$ ,  $b = 5 - 40 \text{ mm}$ ,  $\frac{L}{b} = 1,25 - 20$ ,  $\frac{s}{b} = 8,5 - 80$ ) zůstávají stejné jako u původní rovnice (10).

Neřešená zatím zůstává otázka exponentu u  $K$  (rovnice 12), protože jeho hodnota pro případ podélně obtékané desky a sledovaný případ impaktního proudění se značně liší, což svědčí o jeho závislosti na případu přenosu hmoty. V dalších pracích bude nutno ověřit, zdali se dosáhne stejněho exponentu u  $K$  jako v rovnici (12) např. pro případ impaktního proudění z kruhové trysky.

#### SEZNAM OZNAČENÍ

$D$	... součinitel difúze	$[\text{m}^2 \cdot \text{h}^{-1}]$
$F$	... plocha	$[\text{m}^2]$
$G$	... hmotnost	$[\text{kg}, \text{g}]$
$L$	... charakteristický rozměr	$[\text{m}]$
$R$	... plynová konstanta	$[\text{J} \cdot \text{kg}^{-1} \cdot \text{K}^{-1}]$
$T$	... absolutní teplota	$[\text{K}]$
$T$	... absolutní teplota pro $\bar{t}$	$[\text{K}]$
$a$	... součinitel tepletovní vodivosti	$[\text{m}^2 \cdot \text{h}^{-1}]$
$b$	... šířka trysky	$[\text{mm}, \text{m}]$
$c_K$	... měrná tepelná kapacita kapaliny	$[\text{J} \cdot \text{kg}^{-1} \cdot \text{K}^{-1}]$
$p''$	... tlak par na mezi sytosti	$[\text{Pa}]$
$p$	... celkový atmosférický tlak	$[\text{Pa}]$
$r$	... výparné teplo	$[\text{J} \cdot \text{kg}^{-1}]$
$s$	... vzdálenost desky od ústí trysky	$[\text{mm}]$
$t$	... teplota	$[\text{°C}]$
$\bar{t}$	... teplota podle vztahu (9)	$[\text{°C}]$
$w$	... rychlosť proudění	$[\text{m} \cdot \text{s}^{-1}]$
$w_0$	... rychlosť proudění v ústí trysky	$[\text{m} \cdot \text{s}^{-1}]$
$\alpha$	... součinitel přestupu tepla	$[\text{W} \cdot \text{m}^{-2} \cdot \text{K}^{-1}]$
$\beta$	... součinitel přenosu hmoty	$[\text{m} \cdot \text{h}^{-1}]$
$\lambda$	... tepelná vodivost	$[\text{W} \cdot \text{m}^{-1} \cdot \text{K}^{-1}]$
$\nu$	... kinematická vazkost	$[\text{m}^2 \cdot \text{s}^{-1}]$
$\tau$	... čas	$[\text{h}]$
$Nu = \frac{\alpha \cdot L}{\lambda}$	... Nusseltovo číslo	
$Sh = \frac{\beta \cdot L}{D}$	... Sherwoodovo číslo	
$Re = \frac{w \cdot L}{\nu}$	... Reynoldsovo číslo	
$Sc = \frac{\nu}{D}$	... Schmidtovo číslo	
$Pr = \frac{\alpha}{\nu}$	... Prandtlovo číslo	

*Indexy dole:*

$K$  ... pro kapalinu

$V$  ... pro vzduch

$D$  ... pro páru

m ... pro mokrý  
p ... pro povrch  
o ... pro ústí trysky

## LITERATURA

- [1] Korger, M., Křížek, F.: Strojírenství, 1967, č. 7, str. 536—541
- [2] Křížek, F.: Strojírenství, 1982, č. 3, str. 159—182
- [3] Schrader, M.: VDI — Forschungsheft 484, Ausgabe B, 1961
- [4] Chilton, T. H., Colburn, A. P.: Industrial and Engineering Chemistry, 1934, č. 11, str. 1183—1187
- [5] Greber, G.: Die Grundsetze der Wärmeübertragung (Springer, Berlin, 1955)
- [6] Maisel, D. S., Sherwood, T. K.: Chemical Engineering Progress 1950, č. 3, str. 131—139
- [7] Spalding, D. B.: Convective Mass Transfer (Arnold, London, 1963)
- [8] Krischer, O.: Die wissenschaftlichen Grundlagen der Trocknentechnik (Springer, Berlin, 1956)
- [9] Loos, G.: Disertační práce TH Darmstadt, D 17, 1957
- [10] Sergejev, G. T.: Inženérno fizičeskij žurnal 1961, č. 2, str. 77—81
- [11] Fedorov, B. I.: IFŽ, 1964, č. 1, str. 21—27
- [12] Vajnberg, P. Š.: IFŽ, 1967, č. 1, str. 51—58
- [13] Křížek, F.: Autorské osvědčení č. 157 384: Zařízení pro určení lokálních součinitelů přenosu hmoty při odpařování kapaliny z rovinného nebo jinak tvarovaného povrchu

## ВЛИЯНИЕ ЧИСЛА ШМИДТА ПРИ ОТПАРИВАНИИ ЖИДКОСТЕЙ ВО ВРЕМЯ ПЕРПЕНДИКУЛЯРНОГО ИМПАКТНОГО ТЕЧЕНИЯ ИЗ ЩЕЛЕВОЙ ФОРСУНКИ

Инж. Франтишек Кржижек

Статья исходит из хронологической и критической оценки публикованных имений о проблематике отпаривания жидкостей и дальше занимается разработкой настоящих экспериментов с семью органическими разбавителями из современной практики сушки. Обработка результатов экспериментов, в которой также данные из отпаривания воды и сублимации нафтилина, проводится разными способами и автор приходит к заключению, что в исследованном диапазоне экспериментов можно зависимость для интенсивности отпаривания выразить с помощью одного критериального уравнения. В заключение дискутирует автор дифференциацию случая продольно обтекаемой доски и исследуемого случая импактного течения.

## INFLUENCE OF THE SCHMIDT'S NUMBER AT LIQUIDS EVAPORATION AT PERPENDICULAR IMPACT FLOWING FROM A SLOT NOZZLE

Ing. František Křížek

The paper is based on chronological and critical evaluation of the published observations concerning to liquid evaporation and processing some experiments with 7 organic diluents from the contemporary practice in drying is discussed there. The processing of the results of the experiments where the data from water evaporation and naphtalene sublimation are involved by the author, is done by different methods and the author draws the conclusions that it is possible to express the dependence for the evaporation intensity by the only one criterion equation. The difference between the case of a lengthwise bypassed plate and the examined case of the impact flowing is discussed in the conclusion of the article.

## EINFLUSS DER SCHMIDTS-ZAHL BEI DER VERDAMPFUNG VON FLÜSSIGKEITEN BEI SENKRECHTER IMPAKTSTRÖMUNG AUS EINER SPALTDÜSE

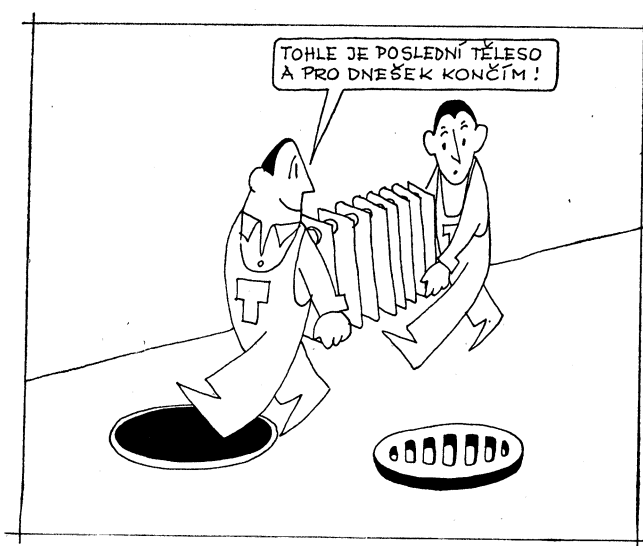
Ing. František Křížek

Der Artikel geht von der chronologischen und kritischen Bewertung der veröffentlichten Ansichten über die Problematik der Verdampfung von Flüssigkeiten aus und der Autor beschäftigt sich weiter mit der Verarbeitung der eigenen Experimente mit sieben aus gegenwärtiger Trocknungspraxis organischen Lösungsmitteln. Die Verarbeitung der Experimentergebnisse, in die der Autor auch die Angaben aus der Wasserverdampfung und Naphtalin-Sublimation eingliedert, nimmt er mit verschiedenen Verfahren vor und kommt zur Folgerung, dass man die Abhängigkeit für die Verdampfungsintensität im verfolgten Bereich von Experimenten mit Hilfe einer Kriteriengleichung ausdrücken kann. Zum Schluss diskutiert er die Verschiedenheit des Falls einer länglich umflossenen Platte und des verfolgten Falls einer Impaktströmung.

## INFLUENCE DU NOMBRE DE SCHMIDT À L'ÉVAPORATION DES LIQUIDES À L'ÉCOULEMENT PERPENDICULAIRE IMPACT D'UNE TUYÈRE À FENTE

Ing. František Křížek

L'article présenté vient de l'appréciation chronologique et critique des vues publiées sur le problème de l'évaporation des liquides et plus loin, l'auteur s'occupe de l'élaboration des expériences propres avec sept diluants organiques de la pratique de séchage contemporaine. L'auteur fait l'élaboration des résultats des expériences dans laquelle il incorpore les données de l'évaporation de l'eau et de la sublimation du naphtène aussi à l'aide de différents procédés et il tire une conclusion qu'il est possible d'exprimer la dépendance pour l'intensité de l'évaporation dans l'étendue suivie des expériences par une équation des critères. En conclusion, il discute la différence du cas d'une plaque coulée autour longitudinalement et du cas suivi d'un écoulement impact.



Fridrich

# OTOPNÉ OBDOBÍ 1984/1985 V PRAZE Z HLEDISKA KLIMATICKÝCH VELIČIN

ING. RUDOLF D. STRAKA

*Recenzoval: Vladimír Fridrich, dipl. tech.*

## 1. Úvod

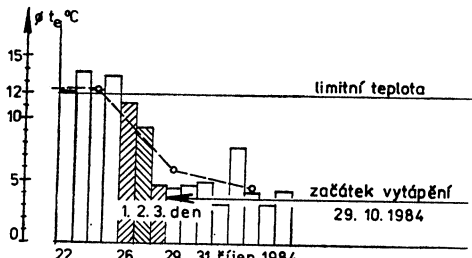
Četní provozovatelé ústředních otopných zařízení, např. převážná část socialistických organizací, podniky bytových hospodářství, školy, instituce, často z důvodů zjednodušených výpočtů finančních úhrad, stanoví začátek i konec otopného období bez ohledu na skutečný průběh klimatických veličin. Provozní technici a energetičtí hospodáři, pověření kontrolou spotřeby tepelné energie a výpočty hospodárnosti provozu potřebují však vědět, jak dlouho podle právního předpisu [1], tj. od kdy, do kdy a s jakými parametry trvalo skutečně potřebné otopné období.

Legálním podkladem k určení začátku i konce otopného období není tudíž sdělení či pokyn kteréhokoli útvaru provozovatele s napřed stanoveným datem kdy se s otopem začne a kdy se s ním skončí, ale údaje, sdělené Českým hydrometeorologickým ústavem v Praze a doložené jeho pravidelně publikovanými Měsíčními přehledy meteorologických pozorování observatoře Praha-Karlov.

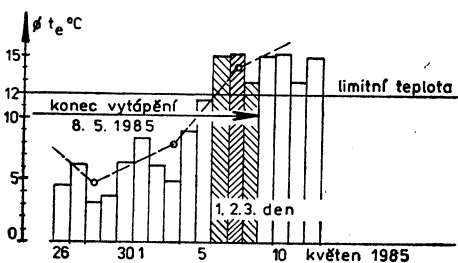
Z těchto publikovaných podkladů je se stavena tab. 1 a podle ní nakresleny obr. 1 a obr. 2, z nichž je graficky odvozeno, kdy ve třech po sobě následujících dnech průměrná denní teplota vzduchu překročila nebo podkročila limitní teplotu +12 °C;

Tab. 1

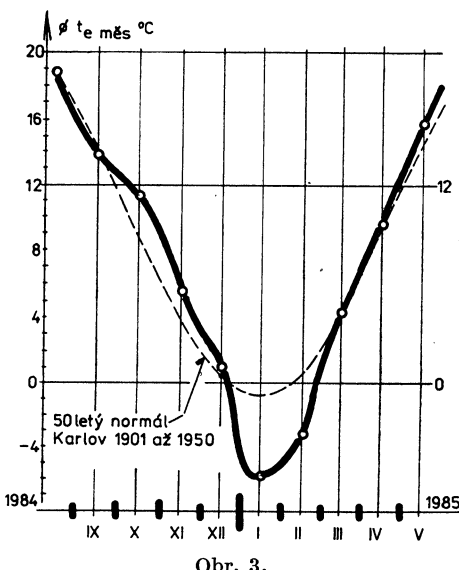
Začátek 1984					Konec 1985				
Den	Měsíc	Průměrná denní teplota $t_e$ [°C]	Součet	Průměrná teplota 5denního intervalu [°C]	Den	Měsíc	Průměrná denní teplota $t_e$ [°C]	Součet	Průměrná teplota 5denního intervalu [°C]
17	X	8,9	59,2	11,84	26	IV	4,6	24,4	4,9
18		12,8			27		6,3		
19		15,0			28		3,3		
20		12,8			29		3,8		
21		9,7			30		6,4		
22	X	10,6	61,1	12,22	1	V	8,4	40,1	8,0
23		13,7			2		6,2		
24		12,2			3		5,0		
25		13,4			4		9,0		
26		11,2 <sup>1)</sup>			5		11,5		
27	X	9,2 <sup>2)</sup>	den	5,72	6	V	15,2 <sup>1)</sup>	den	—
28		4,6 <sup>3)</sup>			7		15,3 <sup>2)</sup>		
29		a) 4,4			8		13,0 <sup>3)</sup>		
30		4,6							
31		5,8							
a) nejnižší teplota v říjnu									



Obr. 1.



Obr. 2.



Obr. 3.

den na to, ve shodě s právním předpisem [1], začíná (obr. 1) nebo končí (obr. 2) otopné období.

Průběh průměrných měsíčních teplot vzduchu v otopném období je nakreslen

[1] Vyhláška č. 197/1957 Úř. l. odd. V, §15, odst. 1 resp. Směrnice federálního ministerstva paliv a energetiky z 13. 10. 1980, odd. IV, odstavec 3).

v obr. 3. Slabá přerušovaná čára značí průběh teplot padesátiletého normálu Praha-Karlovy; silná čára zachycuje skutečný průběh podle měření a záznamů zmíněné observatoře.

Velice výrazné jsou diferenčky v lednu a únoru 1985, kdy území naší republiky postihly dvě vlny mimořádných mrazů. Graficky jsou oba pražské průběhy znázorněny na obr. 4 a 5 s příslušnými legendami. První lustrum nízkých teplot vzduchu v lednu se vyznačuje nejen velice nízkými teplotami během druhého týdne, ale takové nárazy byly i koncem třetího týdne; konec měsíce byl teplotně velmi rozkolísaný. Druhé, únorové lustrum se vyznačuje hlubokým poklesem teplot v druhém a třetím týdnu s následnou, poměrně pravidelnou vzestupnou tendencí (přerušovaná čára značí průměrné teploty vzduchu v pětidenních intervalech). Obě mrazivé vlny způsobily velké nesnáze nejen energetickým, ale celému našemu národnímu hospodářství.

K určení povšechné charakteristiky otopného období jsou potřebné veličiny sestaveny v tab. 2; na ní navazuje tab. 3 s uvedenými diferenčemi proti dlouholetému normálu.

## 2. Hlavní klimatické údaje 1984/1985

Otopné období 1984/85 lze v hlavních rysech popsat takto:

1. Začátek otopného období 29. říjen 1984.
2. Konec otopného období 8. květen 1985.
3. Počet otopních dnů 192 ve srovnání s paděsátiletým normálem Karlov 216 dnů je o 24 dny (tj. o více než tři čtvrtiny měsíce) menší, skoro stejně, jak tomu bylo v loňské sezóně, takže otopné období je (zaokrouhleně) o 11 % kratší než normál.
4. Mezní klimatické číslo  $K_{12} = 1894$  gradnů.
5. Topné klimatické číslo  $K_{10} = 3046$  gradnů.
6. Průměrná teplota vzduchu během celého otopného období od 29. X. 1984 do 8. V. 1985  $t_{ez} = 2,1^{\circ}\text{C}$  je proti normálu Karlov ( $3,8^{\circ}\text{C}$ ) nižší, což je z energetického hlediska je nepříznivé.
7. Nejnižší teploty venkovního vzduchu během otopného období byly:
 

29. XI. 1984 . . . .	$-2,9^{\circ}\text{C}$
31. XII. 1984 . . . .	$-7,7^{\circ}\text{C}$
9. I. 1985 . . . .	$-22,6^{\circ}\text{C}$
12. II. 1985 . . . .	$-21,0^{\circ}\text{C}$
13. III. 1985 . . . .	$-3,1^{\circ}\text{C}$
24. IV. 1985 . . . .	$1,6^{\circ}\text{C}$
8. Absolutně minimální teplota vzduchu  $-22,6^{\circ}\text{C}$  byla ve středu, dne 9. ledna 1985.

## 3. Charakteristika otopného období

Počtem otopních dnů (192) je sice kratší než normál a průměrné měsíční teploty venkovního vzduchu ve většině otopného období se přibližují (obr. 3) hodnotám dlouhodobého

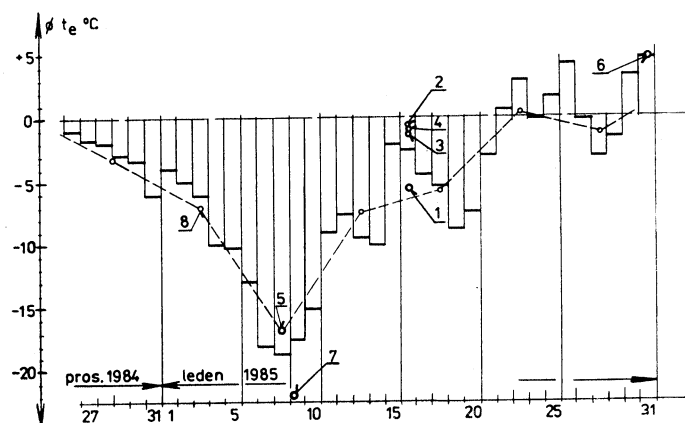
Tab. 2

Měsíc	X	XI	XII	I	II	III	IV	V	Součet	$\bar{x}$
Počet dnů	Z	3	30	31	31	31	30	8	192	—
Průměrná $t_e$	°C	4,9	5,3	0,8	-5,7	-3,3	4,1	9,3	9,2	2,1
Dotápi se	12 °C	7,1	6,7	11,2	17,7	15,3	7,9	2,7	2,8	—
do teploty	18 °C	13,1	12,7	17,2	23,7	21,3	13,9	8,7	8,8	—
Mezní klimatické	číslo $K_{12}$	[gd]	21	201	347	549	428	245	81	1894
Topné klimatické	číslo $K_{18}$	[gd]	39	381	533	735	596	431	261	3046
Otop. období 1984/85	z padesátiletého	1	13	18	24	20	14	8	2	100,0 %
normálu Karlov[%)		8	14	18	20	16	14	9	1	100,0 %

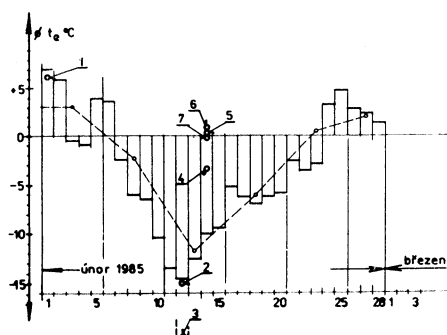
Kontrola:  $(192 \cdot 6) + 1894 = 1152 + 1894 = 3046$

a)  $1894 = 192(12,0 - t_{ez})$   
 $1894 = 2304 - 192 \cdot t_{ez}$   
 $410 = 192 \cdot t_{ez}$   
 $t_{ez} = 2,14$ ; přibližně =  $2,1^\circ\text{C}$

b)  $3046 = 192(18,0 - t_{ez})$   
 $3046 = 3456 - 192 \cdot t_{ez}$   
 $410 = 192 \cdot t_{ez}$   
 $t_{ez} = 2,14$ ; přibližně =  $2,1^\circ\text{C}$



Obr. 4.

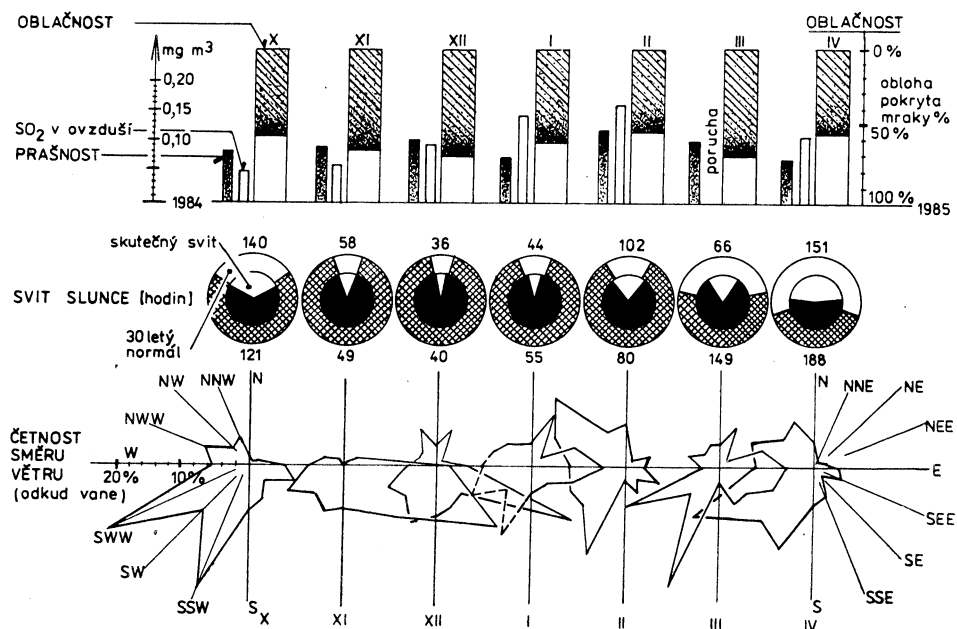


Obr. 5.

Tab. 3

Časové období	Počet dnů Z	$t_e$ [°C]	A [°C]	B [°C]	C [°C]
29. až 31. říjen 1984	3	4,9	11,1	—	—
listopad 1984	30	5,3	5,3	3,8	+39,5
prosinec 1984	31	0,8	0,8	0,3	+166
leden 1985	31	—5,7	—5,7	—0,9	—533
únor 1985	28	—3,3	—3,3	0,2	—1 550
březen 1985	31	4,1	4,1	4,3	—4,6
duben 1985	30	9,3	9,3	8,8	+5,7
květen 1985	8	9,2	15,5	14,1	+10

A ... celoměsíční průměrná teplota vzduchu  $t_{em}$  [°C]  
B ... 50letý normál  $t_{em}$  [°C] Karlov  
C ... proti 50let. normálu Karlov + vyšší, —nižší, v procentech



Obr. 6.

normálu. Avšak značná odchylka teploty v lednu a únoru 1985 způsobila v těchto měsících zvýšení spotřeby všech forem energie. Z rozboru celosezónních veličin, vztažených na normál Karlov, vyplývá, že spotřeba tepelné energie k otopu, která je přímo úměrná klimatickým číslům, je z tohoto hlediska v uplynulé otopné sezóně nepříznivá.

K povšechnému posouzení charakteristiky otopného období je nakreslen obr. 6, v němž jsou znázorněny některé vybrané meteorologické veličiny, které mají vliv na spotřebu energie pro otopu. Jsou to:

oblačnost, z kolika % (stupnice 0 až 100) byla obloha pokryta mraky, průtok (sloupek s tečkováním) a obsahem  $SO_2$  v ovzduší (prázdný sloupek), měření v miligramech, obsažených v jednom  $m^3$  vzduchu,

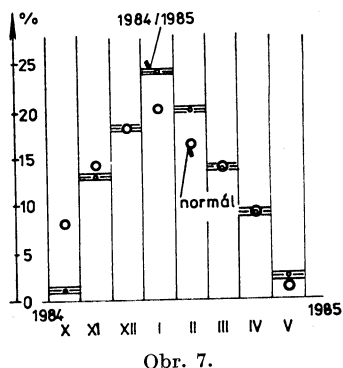
skutečný svít slunce v hodinách ve srovnání s dlouhodobým normálem svitu a s astronomicky možným svitem (maximum uvažováno jako 360 °),

četnost směru větru v hodinách (odkud vane) v poměrovém měřítku [%] tak, že součet redukovaného počtu hodin včetně

bezvětří, všech značených směrů ve větrné růžici je 100 %; některé hodnoty se v jednotlivých měsících překrývají, jsou však kresbou odlišeny.

*Začátek otopného období* (obr. 1): přerušovaná čára teplot pětidenních intervalů má celkem pravidelně klesající tendenci, takže určení dne, kdy se mělo začít s vytápěním podle platného právního předpisu [1] je celkem snadné (29. 10. 1984).

*Konec otopného období* (obr. 2) je stanoven s obdobnou jistotou. Je však třeba zvážit, že provozovatelé, kteří ukončili dodávky tepelné energie pro vytápění posledním dnem dubna čili z hlediska účetně-administrativního výhodně, bez ohledu na průběh klimatických veličin (viz obr. 2 — ještě dne 3. května byla průměrná denní teplota vzduchu pouhých  $5,0^{\circ}\text{C}$ ) a nevytápeli až do poloviny druhého týdne v květnu 1985, nesplnili povinnost, kterou jim ukládá právní předpis.



Obr. 7.

#### 4. Spotřeba paliva

Hodnoty, uvedené v tab. 2 jsou podkladem k sestřojení obr. 7. Skutečná spotřeba tepelné energie pro vytápění se kromě třech měsíců (prosinec, březen, duben) liší výrazně od normálu.

#### 5. Poslední otopná období v Praze

V tab. 4 jsou uvedeny rozhodující parametry, potřebné k posouzení hospodárnosti otopných provozů.

Obr. 4. 1 ... průměrná měsíční teplota  $t_{\text{em}} =$

$$= -5,7^{\circ}\text{C}$$

2 ... průměrná měsíční teplota, padesátiletý normál

3 ... průměrná měsíční teplota, třicetiletý normál

4 ... průměrná měsíční teplota, 190letý normál (1775 až 1964)

5 ... nejstudenější den v měsíci

6 ... nejteplejší den v měsíci

7 ... extrémní teplota v 7,00 hodin

8 ... průměrná teplota pětidenního intervalu

Obr. 5. 1 ... nejteplejší den v měsíci

2 ... nejstudenější den v měsíci

3 ... extrémní teplota v 7,00 hodin

4 ... průměrná měsíční teplota

$$t_{\text{em}} = -3,3^{\circ}\text{C}$$

5 ... průměrná měsíční teplota

30letý normál

6 ... průměrná měsíční teplota

50letý normál

7 ... průměrná měsíční teplota

190letý normál

Отопительный период 1984/1985 г.  
в Праге с точки зрения климатических величин

Инж. Р. Д. Страка

На основе метеорологических наблюдений, изданных Гидрометеорологическим институтом в Праге, составил автор подробный анализ климатических величин в отопительном периоде 1984/1985 г. В статье приведены характеристики этого периода с термотехнической точки зрения, обработанные главным образом с уважением к потребностям проектантов и техников-производственников.

Tab. 4. Poslední otopná období v Praze

Otopné období					Klimatické číslo		Absolutní minimální teplota vzduchu	
sezóna	od	do	dnů	$t_{\text{ez}}$ [ $^{\circ}\text{C}$ ]	$K_{12}$ [gd]	$K_{18}$ [gd]	[ $^{\circ}\text{C}$ ]	datum
1979/1980	24. 9.	8. 5.	228	3,8	1) 1876	3244	-16,2	15. 1. 1980
1980/1981	6. 10.	9. 5.	216	4,1	1706	3002	-12,8	2. 12. 1980
1981/1982	24. 10.	5. 5.	194	2,6	1829	2993	-20,5	15. 1. 1982
1982/1983	11. 10.	21. 4.	193	4,7	1403	2561	-16,2	16. 2. 1983
1983/1984	23. 10.	30. 4.	196	3,2	1730	2906	-12,6	17. 2. 1984
1984/1985	29. 10.	8. 5.	192	2,1	1894	3046	-22,6	9. 1. 1985
normál	30. 9.	3. 5.	216	3,8	1771	3067		Praha-Karlov
normál	6. 10.	5. 5.	212	3,2	1860	3130		Praha-Klementinum

Poznámka: 1) plus šest dnů v polovině května při náhlém ochlazení

## The climatic parameters during the heating season 1984/1985 in Prague

Ing. R. D. Straka

The author sums up the meteorological measurements published by the Hydro-meteorological Institute in Prague concerning the heating season 1984/1985 in Prague and he adds to this summing-up a detailed analysis of the respective results. The basic data and the thermotechnical tables prepared with respect to the needs of projecting and operating engineers are also given there.

## Die klimatischen Daten während der Heizungsperiode 1984/1985 in Prag

Ing. R. D. Straka

Auf Grund der meteorologischen Beobachtungen, die vom Hydrometeorologischen Institut in Prag veröffentlicht wurden, hat der Autor eine ausführliche Analyse von

klimatischen Daten während der Heizungsperiode 1984/1985 zusammengesetzt. Im Artikel werden die wärmetechnischen charakteristischen Daten erwähnt, die mit Rücksicht auf ihre Ausnutzung von Projektanten und Betriebstechnikern ausgearbeitet worden sind.

## Valeurs climatiques au cours de la période de chauffage 1984/1985 à Prague

Ing. R. D. Straka

Prenant pour base les observations météorologiques publiées par l'Institut de la Hydro-météorologie à Prague, l'auteur a établi une analyse détaillée des valeurs climatiques au cours de la période de chauffe 1984/1985. Dans l'article présenté, on cite les caractéristiques de cette période au point de vue thermotechnique qui étaient élaborées en égard aux besoins des projeteurs et des techniciens d'exploitation, surtout.

## ● Chlazení vzduchu pro zemědělské objekty

Švédská firma AB Carl Munters uvedla na trh systém odpařovacího chlazení pod názvem CELdek. Pomocí tohoto systému lze udržovat teplotu a vlhkost vzduchu v živočisné výrobě — např. v drůbežárnách, nebo v rostlinné výrobě — ve sklenících v horkých letních dnech s malým nákladem v příznivém rozsahu.

Bocní stěny objektu jsou osazeny rohožemi, trvale skrápěnými vodou, přes které se nasává vzduch axiálními ventilátory do objektu a na protější straně je vytlačován. Přitom se voda odpařuje a odnímá teplo větracímu vzduchu. Chladicí účinek závisí na teplotě a vlhkosti venkovního vzduchu a při letních teplotách 30 až 35 °C se dá vnitřní teplota snížit o 8 až 10 °C i více.

CCI 7/84

(Ku)

## ● Indoor Air '84

V srpnu 1984 byla ve Stockholmu uspořádána 3. mezinárodní konference na téma vnitřní ovzduší Indoor Air '84. Konference se zúčastnilo na 800 účastníků ze 30 zemí. Výsledky jednání v jednotlivých tématických skupinách lze shrnout takto:

Otzáka přítomnosti formaldehydu v ovzduší místností a jeho kancerogenní působení je silně preceňována. Na druhé straně je nedoceňována problematika tzv. pasivního kouření, zejména u dětí. Bylo prokázáno, že tam, kde rodiče kouří, je s intenzitou kouření v souladu četnost infekčních onemocnění dětí. Naproti tomu otázka vzniku rakoviny pasivním kouřením nebyla dosud s konečnou platností rozrešena a bude třeba provádět další výzkum.

Bыло зиждено, что в местностях, где се промоут водой или паром, имеются высокие концентрации NO<sub>2</sub>. Их изучают в частности органические соединения, включая кислоты и соли, а также некоторые минеральные вещества. Подробнее о концентрации радона в воздухе местности, в частности в новых зданиях, уже известно, но это неизвестно в некоторых областях. В некоторых областях же кромь того, что концентрация радона в земле и проникает в помещения и отверстия в домах.

Предметом тривального исследования является „климатический синдром“, т.е. различные неудобства, головные боли, заложенность носа и другие явления, которые возникают у некоторых людей при длительном пребывании в климатизированных местностях, несмотря на то, что они чувствуют себя хорошо. Появление различных проблем в некоторых областях не указывает на высокую концентрацию радона в воздухе местности.

Vzduch z větracích a klimatizačních zařízení, kontaminovaný organickými aerosoly, vede u citlivých osob při delší expozici ke vzniku různých alergických onemocnění. Příčinou různých potíží bývají též zápatky z některých nových stavebních materiálů.

Vcelku prokázala konference nutnost další úzké spolupráce vědců různých vědeckých a technických disciplín, která jedině může vést k pozitivním výsledkům.

Podrobná zpráva z konference je obsažena v časopise CCI 10/84 na str. 30 a 31. Na str. 32 a 33 jsou pak shrnuté současně technické možnosti ke zlepšení vnitřního ovzduší a je diskutována otázka aktuálnosti současných hygienických předpisů a norm. Jak se ukázalo, je třeba přehodnotit a nově definovat pohodu prostředí. V tomto směru je v současné době přepracovávána norma ASHRAE 62-1981.

(Ku)

# AUTOMATICKÉ PROTIPOŽÁRNÍ VĚTRÁNÍ

Ing. VÁCLAV KUPILÍK, CS c.

Stavební fakulta ČVUT, Praha

Článek se zabývá omezením a lokalizováním ohně účinnými protipožárními opatřeními. Srovnání výsledků měření z požárních zkoušek pro větrané a nevětrané objekty vyplývají zásady pro navrhování automatického protipožárního větrání.

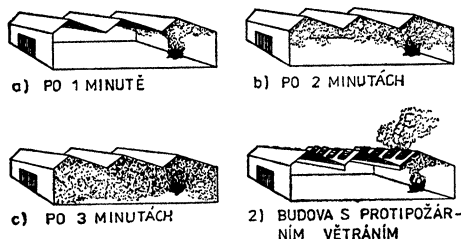
Recenzoval: Doc. Ing. Jaroslav Chyský, CSc.

## Principy větrání při požáru

V jednopodlažní budově bez průduchů funguje oheň jako pumpa, která uvádí do pohybu vzduch. Ten pak uvádí do pohybu okolní vzduch, až se celá jeho hmota dostane do pohybu. Vzduch cirkuluje kolem ohniska požáru a stále je více ohříván.

Jak teplota, tak i koncentrace kouře a ostatních zplodin požáru rychle stoupají —

### 1) NEVĚTRANÁ BUDOVA



Obr. 1. Šíření požáru v objektech nevětraných a s instalovaným protipožárním větráním

obr. 1. Tyto horké plyny a rostoucí tepelná radiace roztažují, vysušují a termicky rozkládají hořlavé látky. Způsobují, že množství produktu termického rozkladu rychle stoupá. Tento proces je stejně destruktivní, jako samotný požár.

Jakmile je obsah kyslíku redukován, hoření je nedokonalé, začíná vznikat oxid uhlíkatý a hustý kouř. Kritický stav nastává po dosažení zápalné teploty plynu. Kyslík se tím stává pouhou přísadou, potřebnou pro změnu plynu v plamen.

Za těchto podmínek musí být budova otevřena, aby kouř vyšel do atmosféry a aby požárníci mohli do budovy vstoupit. Avšak otevření způsobí, že nový kyslík vytvárá další posílení hoření. To je také jeden z dů-

vodů, proč požárníci doporučují využití automatických průduchů co nejdříve po vzniku požáru tak, aby bylo zabráněno jakékoli akumulaci a aby bylo průběžně odstraňováno teplo a kouř, jenž se vytváří v ohništi požáru.

Učinnost větrání při požáru nám nejlépe objasní požární zkoušky měřené v budově bez větrání a v téže budově s větráním [1].

V prvním případě maximální teplota pod střechou budovy byla 290 °C, ve výšce 6,86 m nad podlahou jen 182,2 °C.

### Výška bezkouřové zóny:

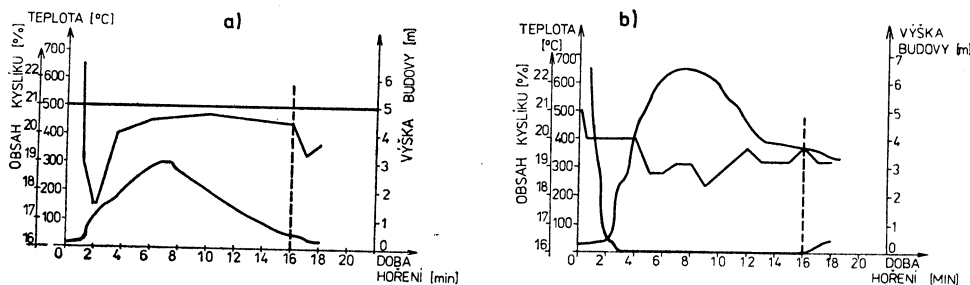
po 1 minutě hoření	6,41 m,
po 1 a půl minutě	3,05 m,
po 2 minutách	1,55 m,
po 3 minutách asi	3,50 m,
po dalších 3 min.	4,75 m.

Hmotnostní ztráta činila po 7 minutách 166 kg. Obsah kyslíku ve vzduchu v blízkosti ohně činil 21 % a byl konstantní.

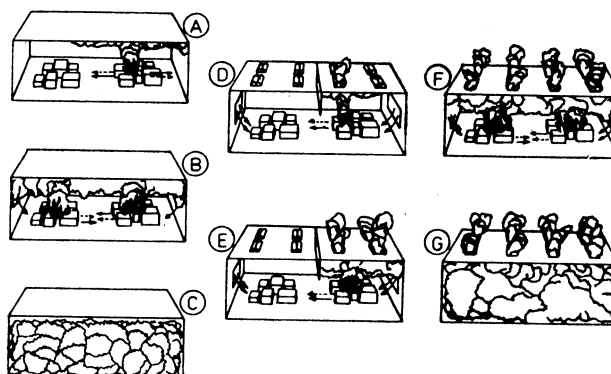
Ve druhém případě teplota prostředí měla rychle stoupající tendenci. Za 5 minut po začátku zkoušení teplota vzrostla na 815,6 °C — naměřeno na spodní straně střechy. Ve výšce 6,86 m nad podlahou byla teplota 656,7 °C. Kritická teplota pro ocelové výrobky — 482,2 °C byla naměřena po 5 minutách ve výšce 5,33 m. Výška bezkouřové zóny po 1 minutě dosáhla 6,41 m, po 1 minutě a 30 sekundách značně klesla a činila 3,05 m. Po 2,3 minutách se výška bezkouřové zóny snížila na 0,48 m a po 5 sekundách klesla až na podlahu. Hmotnostní ztráta ohně po 7 minutách hoření byla asi 129 kg, obsah kyslíku ve vzduchu činil asi 19,2 %.

V obou případech jsou výsledky měření zahyceny v grafu na obr. 2.

Na rozdíl od malých místností obytných budov mají průmyslové a obchodní budovy dostatek vzduchu, který podporuje hoření. Potom má automatické větrací zařízení ještě větší přínos. Velké nedělené prostory a sklady, vyplývající z řešení moderního



Obr. 2. Průběhy teplot při požáru v budově: a) s větráním, b) bez větrání



Obr. 3. Možnosti výskytu požáru

průmyslu umožňují rychlé šíření ohně. Za těchto podmínek prokázalo velkou efektivnost při omezení šíření ohně protipožární větrání a dělení střešního prostoru nehořlavými příčkami.

Podobně jako normální komínky, odstraňují střešní ventilátory kouř a horké plyny vznikající z ohně a tak zabráňují šíření požáru. Z tohoto důvodu zabráňují protipožární ventilátory akumulaci smrtelně jedovatého oxidu uhelnatého a dalších nespálených plynů.

#### Možnost automatického větrání při požáru

Budovy bez protipožárního větrání jsou většinou vystaveny plamenům. Následující schémata na obr. 3 názorně zachycují různé případy výskytu požáru:

— V případě A se uvolňuje kouř a zplodiny požáru. Ty stoupají kolmo nahoru — lítivem tepelného vztahu a šíří se pomalu podél střechy. V horizontální rovině se sálavé a konvekční teplo ohně šíří současně.

— Podle intenzity požáru v případě B stále narůstá sálavé a konvekční teplo ohně a přivedí materiály uskladněné v blízkosti k samovznícení. Uvolňují se kouřové plyny a teplo a tím horká vrstva pod střechou haly velmi rychle narůstá.

— Případ C je dokladem toho, že haly bez

větrání proti požáru jsou v mnoha případech již po několika málo minutách ze zcela naplněny kouřem. Lokalizace ohniska požáru je možná jen s přístroji na ochranu dýchání. Automatické větrací hlavice se otevřou ihned po vypuknutí požáru.

— V případě D se uvolněné plyny a zplodiny ihned a přímo odvedou. Prouducím vzduchem se materiál v blízkosti ohniska požáru kontinuálně ochlazuje a ochrání před sálavým teplem.

— V případě E lze sledovat, že při požáru se od počátku snižuje možnost samovznícení dalších uskladněných látek a rozšíření požáru. Tato účinná ochrana protipožárními ventilátory se může ještě zvýšit požárními přepážkami vtaženými do stropů. Tyto přepážky zabráňují rozšíření horké vrstvy pod střechou haly.

— Případ F je názornou ukázkou toho, že otevřou-li se větrací otvory teprve několik minut po vypuknutí požáru (např. při ručně ovládaných systémech), může se rozsah požáru a kouřová vrstva pod střechou tak rozrůst, že plyny, teplo a kouř již nemohou být účinné odvedeny. Zkoušky ukázaly [2], že je téměř nemožné, aby zadýmovaná budova byla opět bez kouře.

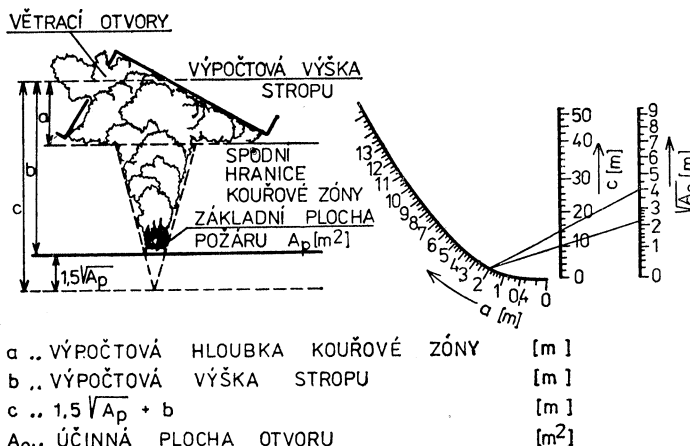
— Případ G reprezentuje zcela zadýmovanou halu. Následkem toho je likvidace požáru životu nebezpečná, je-li vůbec možná, a primární a sekundární škody jsou vysoké.

## Cíl a výhody automatického protipožárního větrání

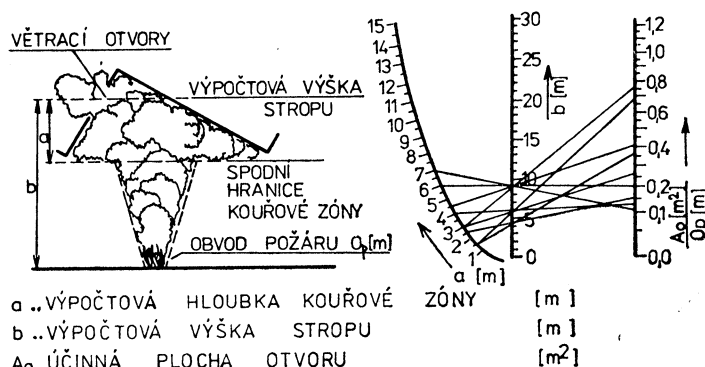
Hlavním cílem protipožárního větrání je zajistit, aby zplodiny požáru byly odváděny střešními větracími hlavicemi, místo aby rozšířily škodu uvnitř budovy (tzn. koncentrovat proudění vzduchu tak, že plameny budou procházet nějakým malým otvorem).

Hlavní výhody automatického protipožárního větrání:

1. V budově se udržuje dobrá viditelnost. Jednodušší, rychlejší, bezpečnější a mnohem efektivnější je potlačování ohně.
2. Je omezeno nesnadné řešení při pozdním větrání budovy zaplněné kouřem. Proto také nedochází k otravě oxidem uhlíkatým a dále k explozím výbušných plynů. Všem těmto nebezpečím bude zabráněno, jen když bude mít budova instalovaný automatický větrací systém, který se v okamžiku vzniku požáru ihned uvede do chodu.
3. Všechna nebezpečná místa jsou dobře viditelná, protože budova není zahlcena kourem. Tím se snižuje pravděpodobnost zranění, popř. smrti požárníků.
4. V případě, že budova je obsazena lidmi v době vzniku požáru, nepřítomnost kouře v úrovni dýchání (asi 2 m nad zemí) dává možnost prvního zásahu nejbližšími osobami. V případě, že budova je zakouřená, vzniká panická evakuace při špatné viditelnosti.
5. Hořlavé materiály nejsou podrobeny termickému rozkladu horkými zplodinami požáru, které recirkulují v celé budově. Proto se rozšíření ohně redukuje.
6. Restrikyce proudu horkého plynu do určité omezené oblasti střešního prostoru s ohniskem ohně zabraňuje nezádoucímu zapnutí hasicích postříkovačů mimo požár, to znamená, že se vyvarujeme škod způsobených postříkem tam, kde požár není rozšířen.
7. Tam, kde poplašný systém není instalován



Obr. 4. Závislost větracích otvorů na základní ploše požáru



Obr. 5. Závislost větracích otvorů na obvodu vzniklého požáru

Tab. 1. Potřebná účinná plocha otvorů protipožárního větrání zajišťující pro danou hloubku kouřové zóny spolehlivý odvod kouře a tepla

Výpočtová výška stropu $b$ [m]	Výpočet. hloubka kouř. zóny $a$ [m]	Rozměry požáru (m x m)			
		3 × 3	4,5 × 4,5	6 × 6	9 × 9
účinná plocha otvorů [m <sup>2</sup> ]					
4,5	2,5	2,04	3,08	4,08	6,12
	1,5	4,80	7,20	9,60	14,40
6,0	4,0	1,68	2,52	3,36	5,04
	3,0	3,54	5,30	7,08	10,62
	1,5	8,64	12,95	17,72	25,92
9,0	7,0	1,32	1,98	2,64	3,96
	6,0	2,40	3,60	4,80	7,20
	4,5	4,92	7,38	9,84	14,76
	3,0	9,12	13,70	18,24	37,36

ván, automatické otevření protipožárních průduchů dává jasné varování kolemjdoucím, kteří mohou přivolat pomoc.

8. Průběžné odstraňování zplodin požáru dovoluje výskyt velmi vysokých teplot pouze v bezprostřední blízkosti ohně. Např. při skutečných zkouškách ve vojenské budově, která nebyla odvětrávána, dosáhly teploty pod hřebenem střechy 817 °C, ale pouze 300 °C ve stejných podmínkách při zavedení automatického protipožárního větrání. Stavební ocel měkne a poruší se při 445 °C. Protipožární větrání zabraňuje destrukcím, jež byly způsobeny kolapsem ocelových konstrukcí.
9. Vznik ohně je zjištěn během kratší doby, proto dochází k menším škodám a samozřejmě požárníci mají více času pro likvidaci požáru. Navíc je v tomto čase umožněn únik obyvatel z budovy a odstranění strojů a zboží.
10. Vyloučení zakouření místností velmi snižuje škody vznikající kouřem i ve vzdálenějších místnostech od centra požáru.

#### Návrh protipožárního větrání s použitím nomogramu

Výsledky zahraničních experimentálních měření [1] byly základem pro teoretické výpočty větracích systémů. Požární zkoušky prokázaly exaktnost výpočetních metod, které jsou však velmi složité a neobejdou se bez výpočetní techniky. Proto pro jednoduché realizace v jednopodlažních objektech byly vypracovány nomogramy (obr. 4 a 5) doplněné údaji v tab. 1.

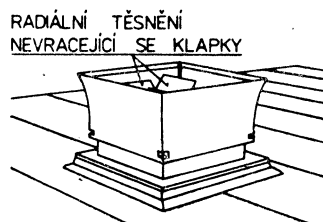
#### Důvody zavádění automatizace

Hlavním důvodem zavádění automatizace je otevření klapek těsně po vzniku ohně bez

závislosti na lidském faktoru. Např. Coltovy větrací hlavice anglické výroby jsou navrženy tak, aby se automaticky otevřely při každém vzniku požáru. Jakmile teplota vzduchu přesáhne předem určenou hladinu, pak se pojistka nebo quartzová žárovka zapne a silná ocelová nerezová pružina způsobí otevření a umožní, aby se oheň a kouř dostaly z budovy. I když plná zodpovědnost v řízení by se neměla svěřovat lidem (lidé nemusí být vždy na správném místě ve správný čas), je rozumné napojit tyto větrací hlavice na automatické řízení do protipožárního dispečinku tak, že mohou být otevřeny obsluhou dispečinku dříve, než by se zapnuly automaticky.

Coltovy větrací hlavice mohou být rovněž použity pro normální větrání s minimálnimi provozními náklady a naprostě žádnými udržovacími náklady. Ale i tehdy, když se používají k témuž účelu, musí být vždy zajištěny pojistikou, která se otevře bez ohledu na předcházející nastavení. To znamená, že během ohně musí být možnost větrací hlavici otevřít, ať už byl nebo nebyl předtím uzavřen pro jiné účely (např. pro přirozené větrání).

Každý tento projekt Coltovy hlavice byl předmětem širokého výzkumu [2] včetně

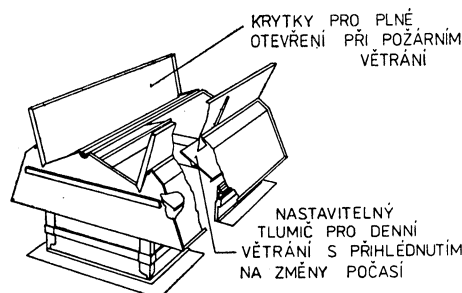


Obr. 6. Zdokonalená protipožární hlavice

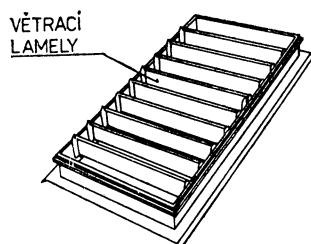
zrychlených testů, jež zahrnovaly 30 000 otevírajících a zavírajících operací, což je ekvivalentní čtyřem otevřením za den po dobu dvaceti let.

Dokonalejší typ protipožární hlavice (obr. 6) je navržen pro vysokou rychlosť průtoku horkého vzduchu ve vertikálním směru z místa jako jsou např. obchodní centra. Tato výkonná hlavice odsává kouř a horký plyn z oblasti zasažených požárem a přitom zajišťuje adekvátní přívod vzduchu. Byla testována a zkoušena pro min. 30 minutovou operaci při teplotě vzduchu 30°C. Je vhodná pro havarijní provoz. Tyto hlavice by měly být zapojeny na náhradní zdroj proudu mimo normální elektrickou síť.

Víceúčelová větrací hlavice (obr. 7) je vysoko účinná pro přirozené větrání. Má



Obr. 7. Víceúčelová větrací hlavice



Obr. 8. Lamelové klapky pro denní i požární větrání

pojistku nebo quartzovou žárovku pro automatické větrání. Jestliže je plně otevřena, potom poskytuje přímé větrání. Dokonce i v případě špatného počasí, kdy jsou uzavřeny hlavní klapky, pokračuje větrání postranními nastavitelnými uzávěry

Coltova automatická větrací hlavice je jediná řiditelná klapková jednotka pro přirozené větrání ven anebo dovnitř, jediné zařízení, které může být instalováno na plochých střechách i namontováno vertikálně. Pro uplatnění větrání směrem ven je opatřen pojistikou nebo quartzovou žárovkou, která v případě požáru zajistí okamžité automatické otevření listů klapek (obr. 8).

## Závěr

Až doposud bylo provedeno mnoho testů různých druhů automatického protipožárního větracího zařízení [3].

Z těchto zkoušek vyplynuly tyto zásady:

- je třeba, aby únikové cesty zůstaly nezakouřené,
- větrání řídí kouřové detektory,
- větrání směrem dovnitř je nezbytné pro funkci hlavic, které vzduch odvádějí ven,
- manuální mechanické ovládání je zádoucí jak na přívodu, tak i na odvodu vzduchu,
- přívod elektrické energie k ovládání by měl být nezávislý na hlavním zdroji proudu.

Ukázalo se, že protipožární větrání by měla být preferovaně používána jednak ve veřejných budovách (obchodní centra, instituce, kulturní zařízení), jednak v expozicích průmyslových provozech — výrobní haly, sklady hořlavého materiálu apod.

## LITERATURA

- [1] Colt International: Colt-Feuerlüftung č. 1/1971 Export Office, East Molesey, Surrey, KT & OSF England
- [2] Cold International: Automatic fire ventilation, firemní brožura 14, č. 7/1975, Great Britain
- [3] Colt International: The Colt Seefire Ventilator č. 7/1975, Great Britain
- [4] Cold International: The Colt Universal Louvre System at Work, firemní brožura 22, č. 10/1977, Great Britain
- [5] Colt International: The Colt Universal Louvre, firemní brožura 137
- [6] Colt International: The Colt Multi-Function Ventilator, firemní brožura 120 č. 9/1974, Great Britain.

## Автоматическая противопожарная вентиляция

*Инж. Вацлав Купилик, к. т. н.*

Статья занимается ограничением и локализацией пожара с помощью действительных противопожарных мероприятий. Из сравнения результатов измерений из пожарных испытаний проветриванных и непроветриванных зданий вытекают принципы проектирования автоматической противопожарной вентиляции.

## An automatic fire-fighting ventilation equipment

*Ing. Václav Kupilič, CSc.*

Fire suppression and localization by the effective fire protection arrangements are discussed in the article. Principles of an automatic fire-fighting ventilation equipment design follow from the comparison of the results from fire-test measurements executed in ventilated and non-ventilated buildings.

## Automatische Feuerschutzlüftung

Ing. Václav Kupilík, CSc.

Der Artikel behandelt die Begrenzung und Lokalisation eines Feuers mit Hilfe der effektiven Feuerschutzmassnahmen. Auf Grund des Vergleichs von Messergebnissen aus den Feuerschutzprüfungen für die gelüfteten und nichtgelüfteten Objekte sind die Prinzipien für einen Entwurf der automatischen Feuerschutzlüftung hervorgegangen.

## Ventilation automatique avec une protection contre l'incendie

Ing. Václav Kupilík, CSc.

L'article présente la limitation et la localisation d'un incendie à l'aide des mesures de protection effectives contre l'incendie. Les principes pour l'élaboration d'un projet de la ventilation avec une protection contre l'incendie ont résulté sur la base de la comparaison des résultats de mesure des essais d'incendie pour les ouvrages ventilés et non-ventilés.

### ● Commission Internationale de l'Eclairage (CIE)

V roce 1983 se konal v Holandsku 20. kongres CIE — mezinárodní organizace pro světelnou techniku, jejímž členem je i ČSSR, o které však na veřejnost pronikly jen značně neúplné zprávy.

Organizace „Mezinárodní komise pro osvětlování — CIE“, jak ji známe dnes, se datuje z roku 1913. Její kořeny však sahají hlouběji, až k přelomu století. První zasedání nově se ustavivší organizace se uskutečnilo za účasti 14 delegátů v roce 1903. Obě světové války činnost zabrzdily: úspěšně se rozvíjela mezinárodní spolupráce v letech 1920—1939 a v tom období se začíná organizovat i světelná technika u nás (Ing. Prokop aj.). Od roku 1945 pokračuje celosvětový intenzivní vývoj dodnes. Na straně jedné se u nás rozvíjí a prohlubuje nikým neomezován, na straně druhé — podřízen rozvoji koncernových podniků a energetického programu (ekonomii), bez zázemí nezávislých vědeckých složek, má program omezený (nemá ve všech oblastech vývoje ani pracovní kolektivity, ani pozorovatele).

V roce 1948 se konalo 11. zasedání komise v Paříži za účasti 300 delegátů z celého světa. Činnost organizace se dala v té době hmataelně zjišťovat v různých oblastech: byla zřetelná jako technická aktivita, rozvíjela se normalizace na mezinárodní úrovni (kompromisními konstrukcemi norem kvantitativně-kvalitativních), byl sestaven mezinárodní slovník světelné techniky (nakonec ČSN 36 0000 — 1970), jehož jeden návrh má i esperantskou terminologii atd. Zvláště významné byly rozšiřující se osobní kontakty mezi odborníky, které u nás daly život v roce 1961 organizovanému světelné technickému výzkumu. Později organizační změny však nebyly příznivé a také v CIE nemáme významné zástupce.

MKO prošla a znova prochází mnoha organizačními změnami (nyní se sjednocuje a zjednoduší struktura činnosti) různě motivovanými technicky, fyziologicky, psychologicky aj. Vysoké cíle mezinárodní

organizace však zůstávají. Za nejdůležitější je nutno považovat trend multidisciplinární spolupráce a přístupu k řešení problémů. Ta se neustále rozšiřuje a dnes v ní aktivně pracují vedle fyziků, konstruktérů a ekonomů i architekti, fyziologové, psychologové, ergonomové a mnoho dalších.

CIE J. 1983/1

(LCh)

### ● Vysokotlaké sodíkové výbojky TUNGSRAM

Tvoří řadu poněkud odlišnou od naší (Tungsram TM 50/84):

- zdroje s malým příkonem: 35, 70, 100 a 150 W na 120 a 220 V pro interiéry a méně exponované komunikace (přeši a motorové),
- zdroje s velkým příkonem: 250, S 250, 400 a 1 000 W pro venkovní prostory (náměstí aj.) a všechny hlavní komunikace. Čs. zdroje tvoří řadu: 50, 70, 150, 250 a 400 W, dočasně 210 a 340 W.

Výbojky 100, 250 a S 250 W se vyrábějí s baňkami čirými a pokrytými luminofory. Celek tvoří bohatou řadu (variant). Ke všem vyráběným zdrojům jsou vhodná svítidla, předřadníky a všechno příslušenství.

35W výbojka má světelný výkon jako 150W žárovka a desetinásobný život. Je určena: venku k osvětlování vchodů a vrat, uvnitř do garází, sklepů a vedlejších prostorů. 70—150W výbojky jsou určeny: venku pro přeši komunikace a vedlejší dopravní trasy, uvnitř do výrobních prostorů. 250 a 400W výbojky jsou určeny pro hlavní dopravní trasy, na mosty a do tunelů.

Celkový světelný výkon výbojek S 250 W (s baňkou čirou nebo pokrytou) je o 18 a 10 % vyšší než u běžné 250W výbojky. Barevné podání této 250W výbojky de Luxe má index 70.

Dosavadní trubkové typy baňek (nad 100 W) byly nahrazeny baňkami elipsoidními, které mají výhodnější provozní vlastnosti.

(LCh)

# VĚTRACÍ ÚČINEK BYTOVÝCH JADER B 10 PŘI KOLAUDACI STAVEB NA OBVODĚ PRAHA 4

Ing. ČENĚK HRDLIČKA

Obvodní hygienická stanice, Praha 4

Příspěvek podává přehled nedostatků větracích zařízení bytových jader, které byly zjištěny při kolaudaci obytných domů na dvou pražských sídlištích. Jsou diskutovány příčiny těchto nedostatků a v závěru uvedena organizační doporučení ke zjednání nápravy.

Recenzoval: Doc. Ing. Dr. Ladislav Oppl, CSc.

## 1. Úvod

Jádro B 10 je celostátně schváleným typem hromadně vyráběného a užívaného bytového jádra. Existuje řada jeho výrobních modifikací, označovaných jako B 91, B 91 M, B 9. Z hlediska systému větrání však není rozdíl, proto dálé vše o těchto jádrech je řečeno pod souhrnným označením B 10.

Typový podklad pro B 10 byl vypracován Studijním a typizačním ústavem v Praze r. 1981, technickým garantem parametrů výrobku ve vztahu k fázím jeho vývoje, ověřování, experimentu a prototypu je Výzkumný ústav pozemních staveb v Praze.

Jádro by mělo v plném rozsahu splňovat požadavky ČSN 74 7110 „Bytová jádra“. Nadto podniková norma Kovony Karviná, n. p., PNJ-KK-74 716 „Prvky bytového větrání“ (dále jen PN), schválená 4. 2. 1981, žádá od větracího systému tyto objemové průtoky odsávaného vzduchu z bytů:

kuchyně 80 až 120 m<sup>3</sup>/h  
koupelna 50 až 90 m<sup>3</sup>/h  
WC 20 až 50 m<sup>3</sup>/h

Uvedené průtoky platí za předpokladu správné funkce střešního ventilátoru, předepsaného typovým podkladem. To je v souladu s požadavky připravované novely ČSN 74 7110, která požaduje pro:

kuchyně 80 až 110 m<sup>3</sup>/h  
koupelny 60 až 80 m<sup>3</sup>/h  
WC 20 až 30 m<sup>3</sup>/h

Investiční náklad na vzduchotechniku (dále jen VZT) činí u jader B 10 asi 2 500 Kčs/byt. U předchozí generace jader B 6 (tj. se třemi ventilátory Elko v každém bytě) činily asi 850 Kčs/byt.

V návaznosti na citované ČSN a PN

existují zpravidla u jednotlivých stavebních organizací „Montážní instrukce k instalaci a kompletizaci prvků bytového větrání“.

## 2. Naše poznatky

Uvedená typizační a normativní báze problému se dostává do konfrontace se skutečností při kolaudaci staveb. Počátkem r. 1985 jsme při kolaudacích bytových domů na sídlištích Jižní město II—západ a Modřany (šlo o kolaudaci desítek bytových domů, to je řádově stovek sekci, řádově tišicí bytů) konstatovali značnou a chronicky se opakující nedbalost v provedení montáže VZT prvků větracího systému. Ověření neutěšeného stavu věcí bylo pro pracovníky hygienické služby při kolaudaci jednoduché, postačila vizuální kontrola s namátkovou jednoduchou mechanickou manipulací. Po nepotěšivých zjištěních jsme žádali na investora, resp. dodavatele, aby předložil před vydáním kolaudačního rozhodnutí doklad o souladu realizovaného díla s projektovanými parametry (typový podklad, ČSN a PN) v podobě výsledků namátkového měření průtoku odsávaného vzduchu z některých bytů. Tento postup OHS 4 se setkal s malým pochopením ostatních našich partnerů investiční výstavby, ať již pro neochotu dodavatele na stavbě cokoli opravovat, nebo pro obavu ostatních partnerů kolaudace z prodlení v předávání bytů nájemníkům. Je s velkým podivem, že ani sám budoucí majitel domů (SBD) neměl na verifikaci a případné nápravě řešení zájem.

Nicméně neslevili jsme. Protesty investora proti postupu OHS 4 řešil hygienik hl. m. Prahy v těchto aspektech:

„Pokud jde o aplikaci typového podkladu nelze při kolaudaci vycházet pouze z výpočtu

a experimentálních průkazů, které objektivizují stav ideální, nikoliv však reálný, který může být modifikován vadnou montáží či nekvalitním provedením prací. Tyto skutečnosti jsou pracovníkům hygienické služby z praxe dostatečně známy, a proto je zcela namísto požadovat reálný průkaz splnění hodnot stanovených schválenou dokumentací. V této souvislosti je možno poukázat na znění § 23 odst. 3 vyhl. č. 45/66 Sb., „o vytváření a ochraně zdravých životních podmínek“, který stanoví, že orgány hygienické služby smějí dát kladný závazný posudek k uvedení závodů a zařízení do trvalého provozu teprve tehdy, až byly provedeny úpravy a opatření k zabezpečení zdravých životních podmínek, požadované nebo schválené v předcházejícím řízení a až byla přezkoušena jejich účinnost.

Průkaz splnění navržených parametrů nelze považovat za zpochybňení principu typizace. Pracovníci hygienické služby nevyžadují taková měření paušálně, ale pouze v případech, kdy lze důvodně předpokládat, že projektované parametry stavby nejsou při realizaci stavby dodrženy.“

„Námi vyvolaná měření průtoku odsávaného vzduchu (měření provedli pracovníci Hygienické stanice NVP a Pražského projektového ústavu a nemometrem Rosenmüller č. 6, opatřeným nástavcem v podobě manžety, nasunutelné přímo na okruží výstupy ventilu) vyústila v potvrzení tristních a chronických nedostatků v montáži VZT, a to:

- při montáži dochází běžně k záměně regulátorů průtoku (ventilů) pro kuchyň, koupelnu a WC (odpovídají nominální velikosti ventilů 100, 75, 25),
- často vázne volná pohyblivost regulačních plechů (klapek) ve ventilech, klapky drhnou, jsou deformační,
- mnohdy chybí pružinky na klapkách nebo dochází k jejich záměně; existují tři typy pružinek: Ø 0,3 mm pro WC ventil, 0,4 mm pro koupelnový ventil a 0,5 mm pro kuchyňský ventil,
- chybí těsnění VZT potrubních dílců v řadě ventil—nástavec—sto upačka. Důsledkem je netěsnost soustavy, sání „falešného“ vzduchu, ztráta účinného ventilačního efektu (těsnění podle typového podkladu se předpokládá gumovými kroužky „O“; za vyhovující lze považovat i těsnění přepáskováním spojů textilní páskou),
- neuspokojivá je kvalita filtrů na výstupních ventilu (je všechny dodávky výrobcem); některé molitanové filtry jsou neprovzdušné; filtry z plstěných rohoží mají naproti tomu dobrou provzdušnost.
- někdy nejsou osazena uzavírací víka na stoupačkách spiropotrubí:
  - a) v suterénu,
  - b) ve ventilační komoře na střeše,
- byly zjištěny případy nesprávného směru otáčení střešního ventilátoru,

— ne vždy je řádně provedeno těsnění ventilátorové a sběrné komory na střeše s betonovým kruhovým základem (manžeta z gumokordu); bývá konstatována též absence mechové gumy ve spojích VZT potrubí se sběrnou komorou na střeše objektu.

Při těchto nedostatečích v montáži, těsnosti a kompletnosti VZT zařízení byly přirozeně naměřeny nedostatečné průtoky odsávaného vzduchu a zjištěna značná nerovnoměrnost větracího účinku po vertikále domovní stoupačky s poklesem výkonu směrem k nižším bytovým podlažím.

Zjištěný stav, objektivně ověřený, nebylo přirozeně možno při kolaudaci akceptovat. Stavební úřad pod tlakem vydat kolaudační rozhodnutí je sice vydal, avšak zakotvil v něm podmínky obvodního hygienika, že nejpozději do doby nastěhování nájemníků musí být provedena kontrola správnosti a kompletnosti montáže VZT; pro každý byt a domovní stoupačku musí být o tom vyhotoven dodavatelem doklad a navíc musí být namátkovými měřeními doložen průtok odávaného vzduchu. Tím bude objektivně prokázán soulad řešení s projektovanými parametry. Těmito požadavky byli investoři i dodavatelé značně vyvedeni z míry.

Na podkladě námi zjištěných závad byl obvodní hygienik požádán stavebním úřadem, aby ve formě metodiky předal investoru, resp. dodavateli, vodítka k tomu, které nejčastěji se vyskytující závady musí být sledovány a odstraněny. Jenom na Jižním městě II představovala reparace závad práci dvaceti montérů-instalatérů po dobu plných čtyř pracovních týdnů.

Zopakovaná namátková měření ukázala uspokojivý stav v průtoku odsávaného vzduchu z WC a koupelen (leží v intervalu požadavků PN, resp. návrhu novely ČSN), ale nadále velmi neuspokojivý stav u kuchyní (pohybuje se nejčastěji v rozmezí 30 až 80 m<sup>3</sup>/h) a leží tedy až na řídké výjimky často výrazně pod limitem projektovaných hodnot. Jak orgány státní správy, tak investor a uživatel mají nyní alespoň doklady o kompletnosti a správnosti montáže VZT ve fázi kolaudace stavby, což skýtá právní podklad pro rozhodování o event. následných závadách na VZT z titulu svévolného zásahu uživatele bytu do větracího zařízení jádra B 10.

Kontrola nedostatků v montáži, které nastávají na střeše objektu, již není pro pracovníky hygienické služby vždy schůdná. Tím spíše je nutno důrazně trvat na protokolu o správnosti montáže a vyzkoušení chodu střešního agregátu, předkládaného v Praze Stavoservisem, n. p. — monopolním dodavatelem střešní části VZT jádra. Potřebu namátkové kontroly i zde lze jen doporučit a možno ji zdůvodnit našimi poznatkami o tom, že radiální ventilátor nesprávně zapojený s opačným směrem otáčení odsává asi 40 % jmenovitého průtoku vzduchu.

Jeho reverzní chod rozhodně neznamenal přívod vzduchu do bytu, jak se někteří partneři při kolaudaci s námi polemizující domnívali.

Diskuse s techniky na stavbě nad nedostatečným výkonem větrání kuchyní nemá jednoznačný závěr. Převládá názor, že manko ve větrání kuchyní jde navrůb většimu počtu zalomení potrubí jak na střeše, tak v bytě — proti stoupačce WC s koupelnou. Dále je vyslovován názor, že průžinka  $\varnothing 0,5$  mm na ventilu 100 je předemenzovaná. Z toho konečně rezultovalo časté doporučení, aby byly ventily do kuchyní cejchovány ve výrobě na průtok cca 150 m<sup>3</sup>/h.

Dále projektanti i dodavatelé přiznávají zanedbání profese VZT na stavbě. Vzduchotechniku v bytech montují totiž instalatéři, kteří k profesi VZT nemají přirozeně patřičný vztah.

Dalším bílým místem na mapě je, že typový podklad jádra B 10 nepředepisuje povinnost komplexního vyzkoušení VZT systému jádra, to je integrální funkce střešního agregátu a bytové vzduchotechniky a navíc neprelinínuje pro to v rozpočtu příslušnou položku, tak jak je tomu např. u zkoušek plynového rozvodu, vody, vytápění aj. Doklad o takovém komplexním vyzkoušení u přejímky i kolaudace přirozeně chybí a věc se dostává do složitějších poloh, jak o tom svědčí zkoušenosti ze sídlišť Jižní město II a Modřany.

Hromadně je kritizován regulátor průtoku jako výrobek subtilní, citlivý na deformaci při transportu i montáži a navíc vystavený snadno možnosti neodborného zásahu laika do pružin i klapek. V tomto kontextu se množí náměty inovovat regulátor jako výrobek nerozebíratelný, kompletovaný i s nástavcem, směrujícím do stoupačky ze spiropotrubí, v němž by se eliminovaly předchozí negace. Elementární doporučení je změna závěsu průzinky z háčku na očko k braně jejího samovolného vypadnutí.

Prepáskování spojů potřebí textilní páskou (navíc přelakovou) se jeví jako kompaktnější a účelnější druh spojení než pomocí gumových „O“ kroužků.

Často diskutovaná bývá otázka, v jakém funkčním stavu bude větrací zařízení po několika letech užívání. Zde je pro uživatele objektu a orgány dozoru dobré vědět, že typový podklad ukládá povinnost provádět provozní prohlídky větracího zařízení po 16 500 hodinách provozu, nejpozději však po třech letech. Do tří let po kolaudaci je zařízení také v garanci dodavatelské organizace. Těžko v této souvislosti pominout poznatky OHS 4 (podložené signifikantním počtem akustických měření) o tom, že hluk ze VZT v bytech pod střechou leží v mezích  $L_{eg} = 30$  až  $40$  dB(A) při kolaudaci, což je stav vyhovující požadavkům vyhlášky č. 13/1977 Sb. pro denní dobu, ale nevyhovující pro noční dobu. Riziko svévolných zásahů uživatelů bytu do funkce takové vzduchotechniky se proto logicky zvyšuje.

Na funkci větracích zařízení B 10 a jeho akustické vlastnosti po několika letech užívání chceme zaměřit na obvodě Praha 4 pozornost běžného hygienického dozoru.

### 3. Závěr

Naše kazuistika ukazuje na velmi špatnou kvalitu prací co do kompletnosti a správnosti montáže vzduchotechniky bytových jader B 10, zjištěnou při kolaudaci bytových domů v Praze 4. Za komplexní vyzkoušení střešní a bytové části vzduchotechniky jádra neexistuje při kolaudaci garant. Hodně zůstávají dlužní též kontrolní orgány, včetně pracovníků stavebního úřadu. Hygienická služba někdy supluje jiný orgán státního odborného dozoru, což se v našem případě v mnohem vzájemu včeli právě stalo. Náročnost požadavků hygienické služby na verifikaci parametrů větrání při kolaudaci není zpochybňením principů typizace, ale naplněním požadavků citované vyhl. č. 45/1966 Sb. Konec konců jsme nuceni přiznat, že při kolaudaci typové bytové výstavby je větrání bytu vlastně poslední disciplínou, kde hygienická služba může výrazněji osvědčit svou odbornou autoritu. Snížit deficit ve výkonu větrání kuchyní, i po odstranění všech stavebně montážních závad, již není v silách dodavatele stavby. Předali jsme proto podklady (neuspokojivé výsledky o naměřených hodnotách) stavebnímu úřadu se žádostí, aby požádal o expertitu Výzkumný ústav pozemních staveb a aby další požadavky na zlepšení systému směrovaly k centrálním orgánům a k výrobci bytových jader.

### Вентиляционный эффект санитарно-технических блоков Б 10 при приемке зданий на окраине Прага 4

Инж. Ченек Грдличка

Статья приносит обзор недостатков вентиляционных оборудований санитарно-технических блоков, установленных при приемке жилых домов на двух поселках Праги. Дискутируются причины этих недостатков и в заключение приведена организационная рекомендация к приведении в порядок таких недостатков.

### Ventilating effect of prefabricated sanitary cabins B 10 at the building approbatory procedure in Prague 4

Ing. Čeněk Hrdlička

The imperfection survey of prefabricated sanitary cabins ventilation equipment investigated at the building approbatory procedure in the two Prague housing estates is presented there. The causes of the imperfections and the organizational recommendations for the improvement of the state are discussed in the conclusion of the article.

**Lüftungswirkung  
von Wohnungsinstallationszellen B 10  
bei der Schlussgenehmigung der Bauten im  
Prager Stadtgebiet 4**

*Ing. Čeněk Hrdlička*

Der Artikel gibt eine Übersicht der Mängel der Lüftungsanlagen von Wohnungsinstallationszellen, die bei der Schlussgenehmigung der Wohngebäude in zwei Prager Siedlungen ermittelt worden sind, an. Man diskutiert die Ursachen dieser Mängel und zum Schluss werden die Organisationsempfehlungen zur Herstellung der Ordnung angegeben.

**Effet de ventilation des cellules d'habitation  
B 10 à la réception des bâtiments dans la  
circonscription de Prague 4**

*Ing. Čeněk Hrdlička*

En revue, l'article présenté passe des manques des installations de ventilation des cellules d'habitation lesquels ont été constatés à la réception des bâtiments d'habitation dans deux agglomérations de Prague. Les causes de ces manques sont discutées et en conclusion, on présente les recommandations d'organisation pour les mettre en ordre.

---

**● Detektor netěsností**

Fa. Metasco, Wiesbaden nabízí detektor netěsností rozvodu vzduchu. Jde o kapalinu se speciálními přisadami, která vytvoří stabilní pěnu, a ta je po delší dobu zřetelně viditelná. Antikorozní přísada brání při použití tvoření koroze na ocelových dílech. Výrobek je dodáván na trih v lahvicích 500 cm<sup>3</sup>. Zahnutá výtlačná trubička umožňuje dosáhnout i těžko přístupná místa. Pomocí tohoto přípravku lze zjistit i nepatrné netěsnosti.

CCI 9/84

(Ku)

**● Odborová organizace v Austrálii požaduje  
na pracovištích řádnou klimatizaci**

Jeden odborový svaz zaměstnanců v Sydney vydal pro své členy brožurku s názvem „Zdraví a komfort na pracovišti“. V brožurce jsou prohlašována klimatizační zařízení za nezbytnost a žádá se při tom, aby správně fungovala. Členové jsou dále informováni o tom, co musí být od klimatizačního zařízení požadováno a proč. Suchý vzduch (v zimě) je uváděn jako příčina pocitu nepohody a nemoci.

CCI 11/84

(Ku)

**● Dávkování čerstvého vzduchu pomocí  
počítáče**

Nový systém dávkování čerstvého vzduchu na základě počtu osob nebo obsahu CO<sub>2</sub> v ovzduší místnosti dosahuje až 40 % úsporu energie.

K regulaci optimálního podílu venkovního vzduchu v budovách v závislosti na počtu osob používá se zařízení na optické počítání osob spolu s počítacem. Tak např. pro obchodní dům se zajišťuje dodávka podílu čerstvého vzduchu takto: Pro stálý personál se uloží do paměti počítáče dávka základního

průtoku venkovního vzduchu. Zařízení pak v prvním taktu po dobu 15 minut počítá vstupující osoby, načež vypočítá potřebný podíl čerstvého vzduchu. Na základě toho se pak příslušně otevřou motoricky ovládané venkovní žaluzie před jednotkou přívodu vzduchu a zároveň se přivřou klapky oběhového vzduchu. V druhém taktu, po dalších 15 minut zaznamenávají se další osoby, které vstoupily, vypočte se příslušný podíl venkovního vzduchu, přičte se k hodnotě z prvního taktu a nastaví se klapky. Do paměti je nastavena průměrná doba prodlení návštěvníků 30 minut a po tomto čase od prvního taktu přístroj anuluje jeho hodnoty a proces postupuje obdobně takt po taktu.

Jestliže zařízení během dvou taktů (2 × 15 minut) nezaznamená žádné nově příchozí, pak s ohledem na možnou poruchu otevře na 15 minut venkovní žaluzie naplně a pak najíždí opět normální program. U velkoplošných vchodů, kde není možné optické počítání osob, provádí se regulace na základě obsahu CO<sub>2</sub> v ovzduší budovy. Analyzátor CO<sub>2</sub> pracuje na principu molekulární absoruce infračerveného záření. Do počítáče se vloží hodnota nižší, než je hodnota maximální přípustné koncentrace CO<sub>2</sub> (např. poloviční) a ten se pak v nastaveném taktu 5 až 15 minut během provozní doby ptá na koncentrace ve všech zónách budovy. Během této tázací fáze se otevře magnetický ventil a analyzátor nasává vzduch. Jestliže zjistí překročení nastavené mezní hodnoty, pak se nasávací fáze prodlouží o tři minuty a nedojde-li během této doby k poklesu koncentrace pod mezní hodnotu, dá počítáč příkaz k větrání 100 % čerstvým vzduchem.

V několika minutách koncentrace přiměřeně klesne a venkovní žaluzie se opět uzavřou na minimální hodnotu.

Na obrazovce počítáče jsou během provozu zaznamenávány všechny potřebné hodnoty, jako dodávaný objemový průtok čerstvého vzduchu, doba běhu ventilátorů, koncentrace CO<sub>2</sub> apod.

---

CCI 7/84

(Ku)

# SLUNEČNÍ KOLEKTORY U NÁS A VE ŠVÉDSKU

ING. KAREL BROŽ, CSc.

ČVUT Praha, strojní fakulta

V článku se uvádějí technická data a vlastnosti slunečních kolektorů a některých komponentů solárních zařízení vyráběných v ČSSR. Srovnávají se s parametry kolektorů švédské výroby. Možnosti hromadnějšího použití slunečních kolektorů jako jediného (byť sezónního) zdroje tepla, který nespotřebovává žádné palivo, jsou dokumentovány na velkých realizovaných projektech.

Recenzoval: Doc. Ing. Dr. Jaromír Cihelka

Sluneční energie byla, je a zůstane jedinou, která je na Zemi k dispozici v množství větším, než jsou „umělé“ či průmyslové potřeby lidstva. Jen díky sluneční energii dopadlé na Zemi před miliády let můžeme dnes využívat fosilní paliva v tepelných technologických procesech a pro vytápění budov. Zdroje a dostupnost fosilních paliv se s časem stávají stále omezenější. Proto je aktuální právě dnes využít sluneční záření k přímé přeměně na teplo. Nevýhodou je sice poměrně nízká hustota zářivého toku ( $1\ 350\ W/m^2$  na hranici stratosféry), která si vynucuje náročnější technická opatření v případech, kdy je třeba získat ze slunečního záření teplo o vysoké teplotě.

Přestože je využívání slunečního záření pro nízkoteplotní účely (do  $100\ ^\circ C$ ) mnohem výhodnější než spalování fosilních paliv, která jsou technologicky mnohostranně využitelná též jako suroviny. Prostředkem k tomu jsou kolektory záření, na jejichž absorbérech probíhá fototermální přeměna záření na teplo. Pomocí kolektorů slunečního záření lze využít dopadající energii v sezónním úhrnu až ze 30 %. Naproti tomu například spaléním dříví, vyrostlého za stejnou dobu na stejně ploše využijeme dopadlou sluneční energii pouze s 1 % účinností. Při spalování uhlí, resp. kapalných a plynných paliv jde o ještě nižší využití sluneční energie, dopadlé nenahraditelně před mnoha lety.

Různé země se stavějí k přímému využívání sluneční energie různě, podle dostupnosti fosilních paliv na svém území. V ČSSR je základním palivem hnědé uhlí, jehož těžba se na budoucích 20 let ustálila na hodnotě cca 125 milionů tun ročně. V roce 1981 to znamenalo pokrytí primárních energetických zdrojů ze 61,8 %. Do r. 2000 má těžba uhlí stagnovat a jeho podíl má poklesnout na 51,1 %. Spotřeba ostatních fosilních paliv poklesne z 34,4 % na 27 %. Stoupne podíl prvotní elektřiny (z vodní

energie a jaderných zdrojů) ze 3,8 % na 21,9 %. Těžitelné zásoby hnědého uhlí stačí v ČSSR asi do r. 2015. Kapalná a plynná paliva se do ČSSR dovážejí v množství rovném téměř 100 % jejich spotřeby.

Ve státním cílovém programu 02 [1] se předpokládá, že r. 2000 se získá využíváním nekonvenčních a obnovitelných druhů energie množství ekvivalentní asi 9 až 12 mil. tun hnědého uhlí, tj. asi 10 % těžby. Z toho asi 1/3 má být kryta využitím sluneční energie.

Pokud jde o dovoz paliv, v podobné situaci jako ČSSR je např. v Evropě též Švédsko, kam se kromě palivového dříví a uranu veškerá paliva dovážejí. Přes nevhodnou zeměpisnou polohu je tam měrná spotřeba primární energie na 1 obyvatele asi o 25 % nižší než v ČSSR. Také využití nekonvenčních zdrojů energie je tam věnována značná pozornost.

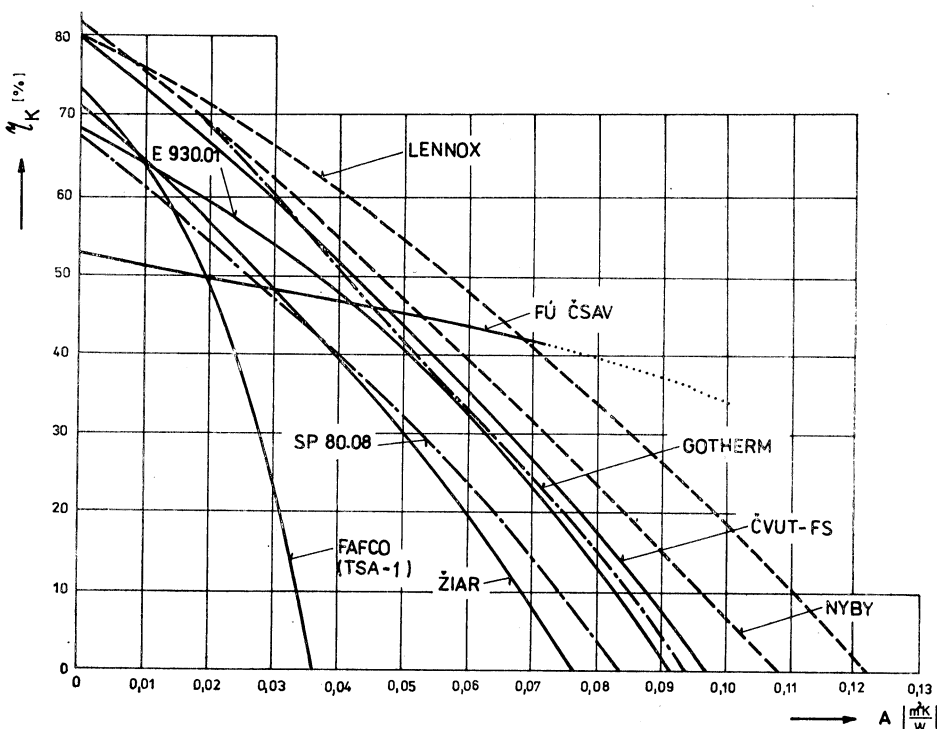
V ČSSR vyrábí ploché sluneční kolektory ve větším měřítku 3 závody: OPS Kroměříž, Elektrosvit Nové Zámky a závod SNP Žiar nad Hronom.

OPS Kroměříž vyrabil již přes 20 000 m<sup>2</sup> plochých kolektorů typu SP 80.08. Technické údaje tohoto kolektoru jsou:  
celková půdorysná plocha 1,15 m<sup>2</sup>  
činná plocha absorberu 0,86 m<sup>2</sup>  
obsah kapaliny 0,85 dm<sup>3</sup>, tj. 1 dm<sup>3</sup>/m<sup>2</sup>  
max. přípustný přetlak 0,4 MPa  
max. přípustná teplota média 120 °C  
vstupní a výstupní trubka Ø 18 mm (DN 15)  
materiál absorberu Cu plech 0,3 mm nebo

ocelový plech  
izolace zadní strany pěněný polyuretan  
hmotnost při jednoduchém zasklení 29 kg.

Průběh účinnosti tohoto kolektoru v závislosti na parametru  $A$  je v obr. 1 označen SP 80.08.

$$\text{Parametr } A = \frac{t_m - t_v}{I} \quad [\text{m}^2\text{K/W}],$$



Obr. 1. Průběh účinnosti vybraných čs. a švédských kolektorů při měření s vodou

kde  $t_m$  [ $^{\circ}$ C] ... střední teplota povrchu absorbérů;

$$t_m = \frac{1}{2}(t_1 + t_2),$$

$t_1$  ... teplota vody na vstupu do kolektoru

$t_2$  ... teplota vody na výstupu z kolektoru

$t_v$  [ $^{\circ}$ C] ... teplota okolí (vzduchu)

$I$  [ $\text{W/m}^2$ ] ... intenzita celkového záření dopadajícího kolmo na povrch kolektoru.

Kromě řady drobnějších zařízení (zejména pro přípravu teplé užitkové vody v rekreačních objektech, rodinných domech, objektech JZD pro živočišnou výrobu, v sociálních zařízeních menších provozů) bylo největší zařízení z kolektorů SP 80.08 v ČSSR namontováno v systému pro ohřev bazénové vody v otevřeném plaveckém bazénu na řece Rusava (okres Kroměříž) v počtu 648 kusů.

OPS Kroměříž dále vyrábí:

- malá solární zařízení s gravitačním oběhem OPS-60 s 1 kolektorem SP 80.08 a zásobníkem vody  $60 \text{ dm}^3$  pro zahrádkáře a chalupáře;
- solární zařízení s gravitačním oběhem ZEUS-160 se 3 kolektory SP 80.08 a zásobníkem na  $160 \text{ dm}^3$  vody;
- elektronickou regulaci ERSS-1 pro solární

zařízení s plochou kolektorem do  $50 \text{ m}$  (ovládání oběhového čerpadla podle nastavitelné teplotní diference v rozsahu 2 až  $12 \text{ K}$ ). Vnější rozměry jsou  $110 \times 215 \times 130 \text{ mm}$ ;

- elektronickou regulaci ERSS-2 pro solární zařízení s plochou kolektorem nad  $50 \text{ m}^2$ ;
- typizovanou montovatelnou konstrukci — modul A-PK-04-82, určený pro montáž vždy 2 kolektorů SP 80.08 na vodorovnou plochu pod sklonem  $35^\circ$ . Hmotnost konstrukce je  $35 \text{ kg}$  bez případných patek.

*Elektrosvit n. p. Nové Zámky* vyrábí ploché sluneční kolektory typ 930.01 a samotné absorbérky k nim jako náhradní díly.

Technické údaje:

vnější rozměry  $1246 \times 946 \times 100 \text{ mm}$

celková plocha  $1,18 \text{ m}^2$

činná plocha absorbérku  $1,0 \text{ m}^2$

obsah kapaliny  $2 \text{ dm}^3/\text{m}^2$

max. přetlak  $0,25 \text{ MPa}$

max. teplota  $135^\circ \text{C}$

tepelná izolace pěněný polyuretan

krytí absorbérku sklo  $4 \text{ mm}$

hmotnost  $40 \text{ kg}$

velkoobchodní cena:  $840,00 \text{ Kčs/kus}$

cena náhradního absorbérku:  $220 \text{ Kčs/kus}$

předpokládaná životnost 10 let.

Křivka účinnosti tohoto kolektoru je na obr. 1 pod označením E 930.01.

Zařízení s kolektory 930.01 byla původně

určena pro potřeby zemědělství a potravnářského průmyslu. Jsou vyvinuty komplety se  $30 \text{ m}^2$  kolektorů, nosnou konstrukcí, zásobníkem objemu  $1,25 \text{ m}^3$ , regulací, oběhovým čerpadlem, expansní nádobou atd., označené jako systém 10-01. Tato zařízení dodává obchodní organizace AGROZET Přelouč. Subvencovaná cena těchto kompletů je asi 60 000 Kčs. V systému 10-01 je použitý zásobník typu 828.0, vyráběný v závodě TOPOS Šluknov n. p. FEROX Děčín. Zásobník je tepelně izolován polyuretanovou pěnou tloušťky 50 mm, v dolní části je vybaven teplosměnnou plochou  $4,5 \text{ m}^2$ , regulaci teploty a v horní části elektrickými odpory pro dohrátí vody na požadovanou teplotu (výkon celkem 18 kW). Celková výška zásobníku je 2 600 mm.

Dalším výrobcem kolektorů je závod SNP v Žiaru nad Hronom. Absorbér těchto kolektorů je hliníkový, rám kolektoru je krytý sklem tloušťky 4 mm. Absorbéry se dodávají ve dvou provedeních: s nástríkem matnou černou barvou a se selektivním povrchem ( $\epsilon = 0,24$ ). Čára účinnosti označená v obr. 1 symbolicky „ŽIAR“ odpovídá povrchu nastríkanému černou barvou. U absorbéru se selektivním povrchem je při  $A = 0,06 \text{ W}^{-1}\text{m}^2\text{K}$  účinnost vyšší o 10 % [4], při  $A = 0,01$  je již rozdíl v účinnostech zanedbatelný. Od r. 1981 je absorbér vyráběn z hliníkových protlačovaných profilů s křidelky šíře 98 mm a oválným otvorem uprostřed pro průtok teplonosné kapaliny, pod označením SALK 200.

#### Technická data:

vnější rozměry  $2 140 \times 1 075 \times 100 \text{ mm}$   
celková plocha  $2,3 \text{ m}^2$   
činná plocha absorbéru  $2,04 \text{ m}^2$   
hmotnost prázdného kolektoru 54 kg  
obsah kapaliny  $2 \text{ dm}^3$ , tj.  $1 \text{ dm}^3/\text{m}^2$   
max. provozní přetlak 0,4 MPa  
materiál absorbéru: protlačovaný Al profil  
hmotnost absorbéru 24 kg  
krycí vrstva sklo 4 mm  
tepelná izolace zadní strany čedičová vlna  
cena 1 kusu kolektoru 2 170,00 Kčs.

Nevýhodou těchto kolektorů ze společenského hlediska je značná spotřeba primární energie na výrobu. Zatímco spotřeba primární energie na výrobu ostatních plochých kolektorů činí u nás od 400 do 560 kWh/2] včetně skříně, tepelné izolace a krycího

skla na  $1 \text{ m}^2$  absorbéru, zde jen na samotný hliníkový absorbér připadá  $960 \text{ kWh/m}^2$  primární energie.

V závodě SNP v Žiaru se nyní připravuje také kompletní systém se  $32 \text{ m}^2$  kolektorů SALK, zásobníkem  $1,6 \text{ m}^3$  z OK Žilina, s oběhovým čerpadlem, expansní nádobou a automatickou regulací. V r. 1984 vstoupilo do řad výrobců solárních elementů a systémů také JZD Družba v Kroměříži (odbytové oddělení družstva má adresu Štěchovice 1320, 767 01 Kroměříž, tel. 200 27, 203 27). Družstvo dodává jednak samostatné textilní absorbéry, vyvinuté ve VÚCHZ v České Třebové, jednak celé kompletní systémy pro ohřev užitkové vody.

Textilní absorbéry jsou vyrobeny z vícevrstvé tkané textilie, která má z vnější strany nanesenou vrstvu černého plastu. Výrobek má vzhled tenké ploché nafukovací matrace. V protilehlých rozích jsou vývody DN 20 pro připojení na potrubní rozvod. Výrobek se dodává pod označením TSA-1.

#### Technické údaje:

vnější rozměry: šířka buď  $1 400 \text{ mm}$ , nebo  $700 \text{ mm}$  podle přání, délky 2, 4, 6, 8 m, případně i delší  
max. přetlak náplně 0,2 MPa, v mimořádných případech 0,4 MPa  
max. teplota kapaliny  $80^\circ\text{C}$   
obsah kapaliny na  $1 \text{ m}^2$   $3 \text{ dm}^3$   
průměrná cena do 100 Kčs za  $1 \text{ m}^2$ .

Absorbéry TSA-1 jsou určeny k přímému ohřevu bazénové vody nebo k předeřevu TUV. Upevňují se na vhodnou konstrukci, podložku nebo na stěchu. Při přesnějším výpočtu tepelných zisků z absorbéru TSA-1 lze používat křivku účinnosti pro obdobnou rohož FAFCO svědského výrobce (obr. 1).

JZD Družba v Kroměříži dodává unifikovanou řadu kompletních zařízení po ohřev TUV ve 4 velikostech (tab. I).

V posledním sloupci tab. I značí údaj počet pracovníků, kteří mohou být během pracovní doby zásobováni teplou vodou z daného zařízení při průměrném počasí od dubna do konce září. V zařízeních URSS se používají kolektory SP z OPS Kroměříž.

Dále JZD Družba dodává absorbéry plochy z měděného plechu  $0,3 \text{ mm}$  se selektivní vrstvou, unifikované výšky  $1 400 \text{ mm}$  v libovolné šířce. Lze je sestavovat na míru

Tab. I

Označení kompletu	Zásobník $\text{dm}^3$ plocha výměníku $\text{m}^2$	Plocha $\text{m}^2$ kolektoru	Přibližné investiční náklady Kčs	Orientační počet pracovníků
URSS-01	1 000/4	18	50 000,00	20
URSS-02	1 600/6,3	25	67 000,00	30
URSS-03	2 500/10	35	89 000,00	50
URSS-04	4 000/16	55	133 000,00	80

podle velikosti osluněné plochy, případně lze z nich vytvořit konstrukci a výplň balkonového zábradlí apod. Unifikované prvky absorberu jsou označeny

SSK 01/015... plocha 0,15 m<sup>2</sup>

(1 400×105 mm)

SSK 01/030... plocha 0,3 m<sup>2</sup>

(1 400×210 mm).

Potřebná plocha se sestaví z prvků; zhotovujeme-li levný systém bez cirkulačního čerpadla s přirozeným oběhem, musí být zásobník položen nejméně o 800 mm výše než horní okraj absorpční plochy. K přípravě 150 dm<sup>3</sup> TUV o teplotě 40 až 42 °C se předpokládá sestava 16 kusů SSK 01/015 nebo 8 kusů SSK 01/030 o celkové ploše cca 2,4 m<sup>2</sup>, 1 zásobník SZL 150/08 (objem 150 dm<sup>3</sup>) a příslušné potrubní rozvody, nátrýry a tepelné izolace v celkové ceně asi 3 516,00 Kčs. Cena samotné absorpční plochy je 590 Kčs/m<sup>2</sup>.

K výrobcům komponentů solárních zařízení pro vyšší teploty média přibyl i závod *Sklobras Chudeřice* koncernu Sklo Union Teplice. Závod vyrábí lineární Fresnelovy čočky s koncentrujícím poměrem 5 : 1 podle dokumentace Fyzikálního ústavu ČSAV. Celé zařízení vyžaduje pohyblivou nosnou konstrukci, umožňující sledování azimutu slunce (alespoň v intervalu 3 až 5 minut jednorázová korekce azimutu) a naklápení kolektorů kolem vodorovné osy pro sledování kolmého dopadu slunečních paprsků podle výšky slunce nad obzorem. Toto zařízení bylo zhotoveno pro sestavu 30 m<sup>2</sup> plochých čoček v STS Jindřichův Hradec. Pro toto zařízení vyplývá z obr. 1, že jeho použití je vhodné až pro vyšší teploty ohřívané vody, resp. zařízení pracující trvale při parametrech  $A > 0,048$ , kdy u plochých kolektorů již rychle klesá účinnost. Zařízení je asi 2× dražší než srovnatelné zařízení s plochými kolektory; zpravidla se dosahuje též vyšších energetických zisků.

Ojedinělým výrobkem je zatím i zrcadlový mírně koncentrující kolektor, navržený a vyvinutý na ČVUT — strojní fakultě, katedře techniky prostředí. Jeho princip byl popsán v [3] a [2]. Poměr zahuštění zářivého toku je zde jen 2 : 1, tedy plocha absorberu je poloviční proti aperturě krycího skla. Kolektor byl vyroben s malými změnami proti [2] ve spolupráci s n. p. Armabeton závod 08 a použit v počtu 40 kusů v areálu Sigma Praha k. d. p. v Hospozíně u Velvar. Dalších 100 kusů bylo namontováno ve výukovém středisku ČVUT — strojní fakulty v Herbertově a Vyšším Brodu, také k sezónní přípravě teplé užitkové vody. V mimosezónní době lze v tomto středisku přečerpávat teplo z kolektorů pomocí tepelných čerpadel (první zařízení tohoto druhu v ČSSR).

Výhodou těchto koncentrujících kolektorů je, že je lze montovat v pevné poloze jako ploché kolektory, nevyžadují natáčecí zařízení, mají lepší účinnost než ploché kolektory vlivem zmenšené plochy absorberu. Reagují

téměř okamžitě na sluneční svit vzhledem k velmi malému obsahu kapaliny. Technologie výroby valcových parabolických zrcadel je zvládnuta. Poškozená zrcadla (po delší době provozu) lze rychle vyměnit po sejmání krycího skla.

Technické údaje parabolického koncentrátoru:

vnější rozměry 1 665×650×175 mm

činná plocha (apertura) skla 0,944 m<sup>2</sup>

plocha absorberu 0,47 m<sup>2</sup>

materiál absorberu měděná lamela tloušťky

0,4 mm, s trubkou Ø 8×1 mm

povrch absorberu neselektivní, matná černá barva

koncentrační poměr 2 : 1

reflexní plochy tvrzený lesklý Al plech tl. 0,199 mm

vodní obsah 0,17 dm<sup>3</sup>

hmotnost prázdného kolektoru 29,5 kg

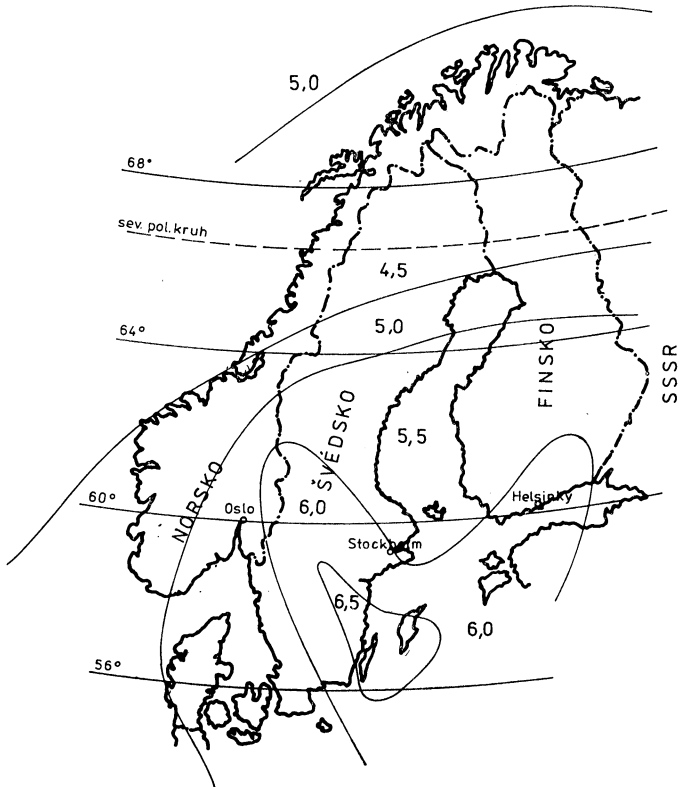
tepelná izolace pěnový POROFEN jen pod lamelami absorberu, jinak vzduch.

Křivka účinnosti tohoto kolektoru (obr. 1 označená ČVUT-FS) je z našich výrobků nejvyšší až do  $A = 0,048$  (odpovídá ohřátí vody, resp. teplotě absorberu o 29 K vyšší než teplota vzduchu, při  $I = 600 \text{ W/m}^2$ . Je-li tedy např. teplota vzduchu 15 °C,  $I = 600 \text{ W/m}^2$  a teplota vody na vstupu do kolektoru 20 °C, bude střední teplota absorberu 44 °C a výstupní teplota vody z kolektoru 68 °C). Z kolektorů montovaných bez natáčecích zařízení (u nás) má tento kolektor účinnost nejvyšší v celém rozsahu  $A$ .

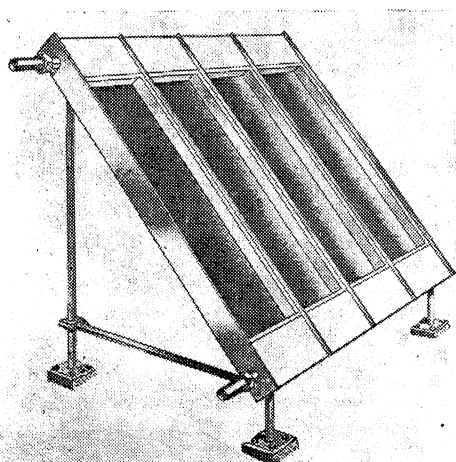
Mezi výrobce elementů solárních zařízení v ČSSR je třeba zařadit i Kovopodnik okresu Praha-západ (odbyt Senovážná 4, Praha 1, tel. 264875). Podnik dodává elektronický regulátor Komexterm Solaris, určený k regulaci solárních zařízení. Regulátor může zapínat oběhové čerpadlo nebo přestavovat směšovací armaturu tak, aby při teplotní differenci mezi výstupem z kolektoru a teplotou vody v zásobníku větší než nastavená hodnota byl zásobník nabíjen. Jakmile se teplotní rozdíl sníží o pevně nastavenou spínací differenci 1,5 K, čerpadlo se vypíná nebo se směšovací armatura vráci do původní polohy.

Využívání sluneční energie ve Švédsku není samoúčelnou snahou, jak by se mohlo na první pohled zdát. I přes poměrně nepříznivou zeměpisnou polohu (obr. 2) dopadá např. v červnu na 64° sev. šířky 5 kWh/m<sup>2</sup> a více sluneční energie za den, na 60° s. š. je pak 6 kWh/m<sup>2</sup> za den a jižněji ještě více. Zatím v ČSSR na 50° s. š. dopadá v červnu 5 až 5,5 kWh/m<sup>2</sup>, v oblastech se silnější průmyslovou činností však méně. Příznivé poměry ve Švédsku jsou dány delší dobou slunečního svitu za den v létě a také čistším ovzduším. V letních měsících tedy ve Švédsku na jih od 64° s. š. dopadá více sluneční energie než v ČSSR; celková suma dopadajícího záření od dubna do konce září je však pro srovnávané oblasti přibližně stejná.

Ze švédských výrobčů slunečních kolektorů a komponentů solárních zařízení uvedeme



Obr. 2. Mapka dopadu sluneční energie v průměrný červnový den na skandinávské země. Čísla značí množství energie v kWh/m<sup>2</sup> za den.



Obr. 3. Pohled na část plochy vytvářené z kolektorů NYBY.

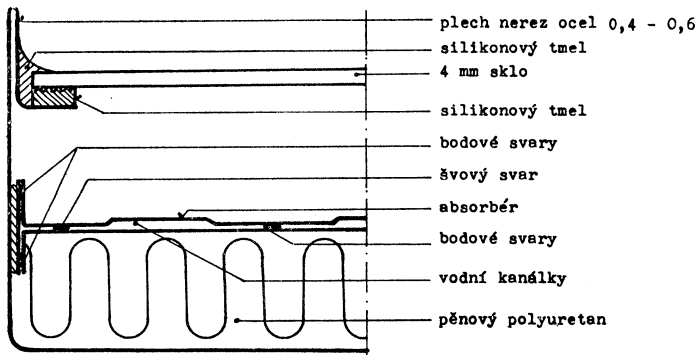
tři nejznámější: NYBY (NYBY Uddeholm AB, 644 80 Torsköld), Gotherm (Gothenburg, 402 75 Göteborg) a BOLIN (Bolin Konstruk-

tion AB, 113 20 Stockholm). Uvedení výrobců dodávají ploché kolektory.

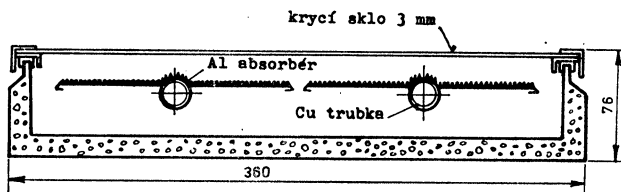
Kolektory NYBY jsou v současné době považovány za nejkvalitnější švédský výrobek tohoto druhu. Všechny kovové části jsou z nerezavějící oceli. Plášt kolektoru je z plechu z nerez oceli o průměrné tloušťce 0,5 mm, absorbér rovněž. Standardně se dodává se selektivním povrchem, na přání může být dodán i povrch neselektivní. Z jednotlivých modulů lze sestavovat celé stěny (obr. 3). Moduly jsou konstruovány tak, že mohou též tvořit samonosné prvky střechy. Krycí sklo je uloženo na silikonové pryži a je zalito silikonovým tmelem.

#### Technická data:

celkové rozměry 2 350 × 599 × 100 mm  
 vzdálenost přívodního a sběrného potrubí  
 2 200 mm, materiál: nerez ocel  
 činná plocha absorbéra 1 980 × 575 mm  
 (1,1 m<sup>2</sup>)  
 materiál absorbéra nerezavějící ocel  
 vodní obsah neudán  
 hmotnost 1 modulu 30 kg



Obr. 4. Příčný řez kolektorem NYBY.



Obr. 5. Příčný řez modulovým kolektorem GOTHERM C2.

tepelná izolace zadní stěny pěnový polyuretan 40 mm.

Křivka účinnosti naznačená v obr. 1 vyjadřuje vysoké kvality výrobku (pro srovnání je vynesena ještě křivka pro nejlepší plochý kolektor na světě firmy Lennox, USA, se selektivním povrchem a vakuovanými trubicemi) a vzhledem k dlouhé životnosti, jež převyšuje životnost klasických střech, nachází tento typ kolektoru ve Švédsku stále širší užití i přes poměrně vysokou cenu (2 000 šv. korun za 1 modul). Příčný řez tímto kolektorem je na obr. 4.

Firma GOTHERM vyrábí rovněž modulové kolektory, které lze montovat delším rozměrem jak vodorovně, tak i svisle. Vyrábí se celé komplety se zásobníkem, regulací a oběhovým čerpadlem bud v samostatném provedení (v rámech) nebo montované na střechy. Vzhledem k široké paletě prvků se dodávka může přizpůsobit požadavkům objednávky. Firma se zaměřila na kolektory s hliníkovými absorbery, které jsou levnější než kolektory NYBY z nerezavějící oceli. Nejrozšířenějším modulovým kolektorem je GOTHERM C2. Příčný řez je na obr. 5.

#### Technická data:

vnější rozměry (včetně krytu nátrubků)  
2 054 × 360 × 76 mm

činná plocha absorbéra 1 890 × 300 mm  
(0,57 m<sup>2</sup>)  
materiál absorbéra hliník, neselektivní povrch, měděná trubka pro kapalinu  
vodní obsah 1 dm<sup>3</sup>  
hmotnost modulu 25 kg  
tepelná izolace pěnový polyuretan 20 mm.

Křivka účinnosti modulu C2 je v obr. 1 značena GOTHERM. Příznivý průběh účinnosti je dán také tvarováním povrchu neselektivního absorbéra. Krycí sklo je 3 mm silné má tepelnou propustnost 0,87, součinitel odrazivosti 0,07, pohltivosti též 0,07 a index lomu 1,52. Výhodná je samonosná sendvičová konstrukce skříně kolektoru (mezi dva plechy vypěněný polyuretan tloušťky 20 mm), na kterou se osazuje rám se sklem a těsněním. Na přání výrobce namontuje rám s dvojitým zasklením. Křivka účinnosti v obr. 1 platí pro jednoduché sklo 3 mm.

Firma Gotherm vyrábí i větší modulové kolektory řady F podobné konstrukce, ale v dražším provedení. Absorpční plocha je vytvořena z hladkých hliníkových křidélek se selektivním povrchem. Vnitřní trubka Ø 12 mm je z nerezavějící oceli. Dno skříně je tepelně odizolováno vrstvou 40 mm. Vodní obsah těchto kolektorů je 2 dm<sup>3</sup>/m<sup>2</sup>. Pracovní přetlak kapaliny je do 1,0 MPa. Skříně jsou z ocelového galvanizovaného plechu nebo z hliníku.

Vnější rozměry jednotlivých modulů:

	Délka (m)	Šířka (m)	Plocha absorpéru (m <sup>2</sup> )
F 1	1,45	0,95	1,25
F 2	2,9	0,95	2,50
F 3	4,35	0,95	3,75

*Firma BOLIN* vyrábí ploché kolektory s hliníkovými absorbery a naplátovanou vnitřně měděnou tenkostennou trubkou. Absorbér má velmi lehkou konstrukci. Typové rozměry kolektorů nejsou omezeny, dodávají se podle přání zákazníka. Zasklení je jednoduché, buď obyčejným sklem 4 mm nebo tvrzeným sklem 3 mm. Absorbéry vyrábí specializovaný závod Gränges Aluminium ve městě Finspang a dodává je jako polotovar nejrůznějším výrobcům kolektorů v Evropě, USA a Kanadě. Absorbéry se dodávají buď bez povrchové úpravy ( cena asi 160 šv. korun za 1 m<sup>2</sup>), s neselektivním černým povrchem nebo s vynikajícím selektivním povrchem (emisní součinitel 0,15, absorpční součinitel 0,95). Kolektor BOLIN s tímto výborným absorbérem dosahuje též stejně účinnosti jako modul NYBY při asi poloviční ceně. Kolektor je tepelně izolován minerální vlnou tloušťky 40 mm na dně a 25 mm na boku skříně. Vodní obsah je zhruba 0,85 dm<sup>3</sup>/m<sup>2</sup>. Kolektory BOLIN představují kompromisní optimum při současných poměrech ve Švédsku a často se používají.

Nejlevnější kolektory, resp. absorpční plochy ve Švédsku vyrábí firma *TeknoTerm Systems AB*, 200 61 Malmö. Jsou to rohože FAFCO z plastu (polyolefin stabilizovaný ultrafialovým zářením). Rohož je napojena na přívodní a sběrné potrubí z měkkého PVC, rozměru DN 50.

Rozměry jsou:

celková šířka 1 310 mm  
celková délka 3 050 mm (alternativně 2 440 mm)  
hmotnost prázdného absorpéru 8,6 kg (2,3 kg/m<sup>2</sup>)  
hmotnost absorpéru s vodou 24 kg (6,5 kg/m<sup>2</sup>)/

*Rohož FAFCO* je určena především k přehřívání vody v bazénech. Normální pracovní teploty jsou 16 až 32 °C, trvalá teplotní odolnost materiálu je 100 °C.

Optické vlastnosti materiálu při teplotě 25 °C jsou:

součinitel pohltivosti... 0,97  
emisní součinitel..... 0,92 (neselektivní).

Doporučený průtok vody jednou rohoží je 15 dm<sup>3</sup> za minutu. Doporučená velikost absorpční plochy je 75 % plochy hladiny bazénu. Křivka účinnosti rohože FAFCO

je vyznačena v obr. 1. Podobné hodnoty by platily i pro čs. rohože TSA-1.

Ve Švédsku je v provozu několik tisíc drobných zařízení, ve kterých se využívá sluneční energie především k sezónní přípravě teplé užitkové vody. V posledních letech však byly realizovány některé velké projekty, umožňující celoroční využití sluneční energie k vytápění i k přípravě TUV ve spolupráci se soustavou centralizovaného zásobování teplem. V tomto směru tato severská země drží zatím evropský i světový primát. Dva příklady těchto již realizovaných zařízení jsou podrobněji popsány v [5].

Systém Ingelstad (městská čtvrt s 52 rodinnými domky poblíž Växjö v jižním Švédsku) tvoří 1 320 m<sup>2</sup> koncentrujících zrcadlových kolektorů s válcovým nadzemním akumulátorem objemu 5 000 m<sup>3</sup>. Kolektory jsou z dovozu. Nejvyšší teplota vody v zásobníku je 95 °C. Zásobník lze vybijet přes výměník tepla do tepelné sítě s teplotami 80/40 °C, kterou jsou zásobovány rodinné domy a do které též pracuje stávající olejová výtopna. Tímto způsobem sluneční záření kryje zhruba 50 % celoroční potřeby tepla (546 MWh), zbytek (540 MWh) dodává olejová výtopna.

Sídliště Lyckebo je na jižním okraji menšího města Storvreta, asi 15 km severně od Uppsalu. Žije zde 550 rodin ve 280 řadových rodinných domech, 180 samostatných domech a zbyvajících 90 rodin bydlí ve vícebytových domech. Všechny stavby jsou nové a splňují požadavky nové švédské stavební normy SBN 75 ohledně tepelných ztrát. Otopné soustavy jsou nízkoteplotní, 55/45 °C. Je vybudován solární systém s 20 000 m<sup>2</sup> slunečních kolektorů a podzemní zásobníkem tvaru anuloidu o objemu 100 000 m<sup>3</sup> pro sezónní akumulaci tepla. 13 000 m<sup>2</sup> kolektorů je na centrále v místě dřívějšího lomu, zbyvajících 7 000 m<sup>2</sup> je namontováno na rodinných domech. Roční potřeba tepla včetně sídlištěho vybavení je 5 500 MWh. Solární zařízení hradí celoroční potřebu tepla. Jako záložní zdroj slouží elektrická výtopna o výkonu 6 MW, připojená paralelně k tepelné síti. Použité kolektory jsou ploché, švédské výroby; část je typu NYBY, většinová část je od firmy BOLIN a zbytek typu Gotherm.

Srovnáním účinností v obr. 1 i technických dat našich a švédských kolektorů dospíváme k názoru, že účinnosti srovnatelných typů jsou obdobné; naše výrobky jsou většinou hmotnější. Neselektivní kolektor ČVUT-FS se dokonce téměř vyrovná co do účinnosti kolektoru NYBY se selektivním povrchem,

což je dáno poloviční plochou absorbéra. Křivky účinnosti našich kolektorů byly převzaty ze [4] kromě typu ČVUT, který byl testován na katedře techniky prostředí strojní fakulty ČVUT. Účinnost švédských kolektorů byla měřena na katedře vytápění a větrání Královské vysoké školy technické ve Stockholmu při střední intenzitě slunečního záření 800 W/m<sup>2</sup>. Všechny výsledky v obr. 1 byly získány při měření s vodou. Podle [4] jsou účinnosti našich kolektorů s nemrzoucí kapalinou Solaren 30 při  $A = 0,04$  (častý případ) o 3 až 8 % absolutně nižší než za stejných podmínek při měření s vodou. Přitom větší pokles účinnosti přísluší kvalitnějším kolektorům.

Závěrem lze konstatovat, že i v ČSSR jsou dobré předpoklady pro hromadnější využití slunečních kolektorů a ke spolupráci solárních systémů se soustavami centralizovaného zásobování teplem. Byly též zpracovány některé velké projektové studie (např. [6]); realizace těchto projektů byly zatím odloženy.

## Literatura

- [1] Sborník: Rozvoj nových a obnovitelných zdrojů energie v 8. PLP a další perspektívě. Konference ČSVTS, Dům techniky Brno, 1983.
- [2] Brož, K.: Srovnávací měření plochých kolektorů a zrcadlového koncentrátoru záření. ZTV č. 6/1982. NČSAV, Academia Praha.
- [3] Brož, K. a Haškovec, L.: Optimalizovaný návrh Winstonova koncentrátoru slunečního záření. ZTV č. 2/1981. NČSAV, Academia Praha.
- [4] Michalička, L.: Porovnání účinnosti vybraných čs. slunečních kolektorů. Elektrotechnický obzor č. 10, 1983.
- [5] Brož, K.: Využití sluneční energie v soustavách CZT. TEPLO č. 1, 1984 — interní zpravodaj pro racionální výrobu, rozvod a spotřeba tepla. GŘ ČEZ, Praha.
- [6] Kolektiv: Studie zásobování sídlisť Lipence teplem. ČVUT Praha, strojní fakulta, 1980. Nepublikováno.

## Солнечные коллекторы в Чехословакии и Швеции

Инж. Карел Броž, к. т. н.

В статье приводятся технические данные и свойства солнечных коллекторов и некоторых компонентов солнечных оборудований производимых в Чехословакии.

Данные сравниваются с параметрами коллекторов, производимых в Швеции. Возможности более массового использования солнечных коллекторов как единственного (сезонного) источника тепла, расход топлива у которого нулевой, показываются на больших реализованных проектах.

## Solar collectors in Czechoslovakia and Sweden

Ing. Karel Brož, CSc.

Performance data and properties of solar collectors and some components of the solar equipment being produced in Czechoslovakia are presented in the article and they are compared with parameters of solar collectors of the Swedish production. The possibilities of the mass application of solar collectors as only one (seasonal) heat source which needs no fuel are proved there on some great realized projects.

## Sonnenkollektoren in der Tschechoslowakischen Sozialistischen Republik und in Schweden

Ing. Karel Brož, CSc.

Im Artikel werden die technischen Daten und die Eigenschaften der Sonnenkollektoren und einiger Komponenten von den in der Tschechoslowakischen Sozialistischen Republik erzeugten Solaranlagen angegeben. Sie werden mit den Kollektorenparametern der schwedischen Erzeugung verglichen. Die Möglichkeiten der breiteren Benutzung von Sonnenkollektoren als einziger Wärmequelle (saisonmässiger), die keinen Brennstoff verbraucht, werden durch die grossen realisierten Projekte dokumentiert.

## Collecteurs solaires dans la République Tchécoslovaque Socialiste et en Suède

Ing. Karel Brož, CSc.

Dans l'article présenté, on fait savoir les données techniques et les propriétés des collecteurs solaires et de quelques composants des installations solaires produites dans la République Tchécoslovaque Socialiste. On les compare avec les paramètres des collecteurs de la production suédoise. Les possibilités de l'utilisation plus étendue des collecteurs solaires comme d'une seule source de chaleur (saisonnière) qui ne consomme aucun combustible sont documentées sur les grands projets réalisés.

## AXIÁLNÍ PŘETLAKOVÉ VENTILÁTORY APT

*Ing. Slavomil Novotný*

Závod ZVVZ Prachatico vyvinul ve spolupráci s Výzkumným ústavem vzdutotechniky v Praze nové axiální přetlakové ventilátory APT 800 a 1000, které nahradily dosud vyráběné ventilátory APR. Ventilátory APT mají širší pole vzdutotechnických parametrů a vykazují vyšší účinnost.

**Popis, použití, pracovní podmínky**

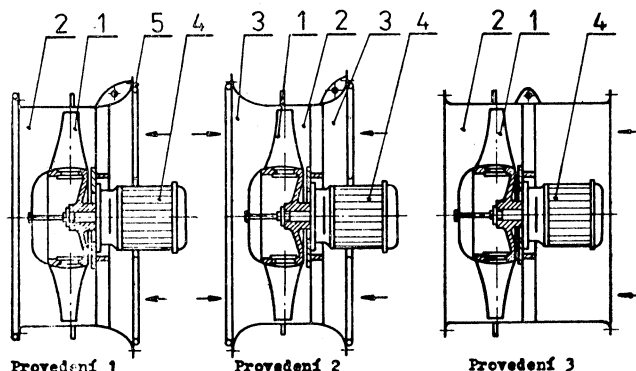
Hlavní části ventilátorů APT jsou uvedeny na obr. 1. Ventilátory APT se vyrábějí ve třech základních provedeních, a to v provedení 1 — pro instalaci do zdi nebo příčky, provedení 2 — reverzační s dvěma hrdly, provedení 3 — do potrubí. Provedení 1 a 3 je jednosměrné, tj. vzdutina proudí pouze jedním směrem, provedení 2 (reverzní) může změnou smyslu otáčení motoru změnit směr proudění vzdutiny na opačný. Na obr. 1 jsou vyznačeny u jednotlivých provedení směry proudění. Nastavení profilových lopatek oběžného kola u jednosměrného

a reverzního provedení je znázorněno na obr. 2.

Kromě základního provedení se vyrábí a dodává provedení 5 pouze u velikosti APT 1000, které je určeno pro sušárny cihlářského a keramického zboží. Speciální provedení se liší elektromotorem pro horké a vlhké prostředí i pláštěm ventilátoru. Maximální teplota může být až +100 °C.

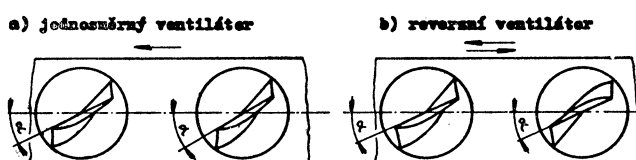
Pohon ventilátorů všech provedení zajišťuje asynchronní elektromotor. Oběžné kolo ventilátoru je zhotovené z hliníkové slitiny a je nasazeno přímo na čep elektromotoru. Profilové lopatky oběžného kola jsou jednotlivě za klidu ventilátoru přestavitelné. Náboj oběžného kola je opatřen kulovým krytem.

Ventilátory provedení 1 a 2 jsou opatřeny na sání a výtlaku ochrannými mřížemi podle ČSN 12 2002. Na základě požadavku odběratele je možné dodávat ventilátory i bez ochranných mříží, za předpokladu, že instalace ventilátoru vylučuje přístup osob za provozu (uzavřené vzdutotechnické komory, instalace ventilátoru ve strojích, které mají vlastní kryty apod.).



Obr. 1. Hlavní díly ventilátoru APT

1 — oběžné kolo, 2 — plášť ventilátoru, 3 — sací hrdlo, 4 — elektromotor, 5 — ochranná mříž



Obr. 2. Pohled na lopatky ventilátoru s vyznačeným úhlem nastavení

Ventilátory jsou určeny pro dopravu čistých vzdušin bez abrazivních přímísenin. Vzdušina nesmí obsahovat vláknité nebo lepivé částice. Ventilátory APT jsou určeny pro průmyslové účely a všude tam, kde svými parametry i hlučností vyhovují. Základní provedení ventilátorů i provedení pro sušárny cihlářského zboží je určeno do prostředí bez nebezpečí výbuchu (BNV). Umisťuje se na tuhou konstrukci nebo do potrubí. Mohou pracovat v horizontální a vertikální poloze s výjimkou ventilátoru APT 800 s elektromotorem 1 AP 100 L-4, 1 AP 100 L-6 a ventilátoru APT 1000 s elektromotorem VF 160 M 04, které vyhovují pouze pro horizontální polohu — vodorovnou osu rotace ventilátoru.

Specifikaci a způsob objednávání určuje podniková norma ZVVZ: PM 12 2440. U provedení 1 až 3 je možné objednat ventilátory s různým výkonem pro provozní otáčky 1 460 nebo 960 min<sup>-1</sup> s ochrannou mříží nebo bez mříže.

Pracovní podmínky u provedení 1 až 3 jsou  $-15^{\circ}\text{C}$  až  $+40^{\circ}\text{C}$ . U provedení 5, kde je maximální teplota až  $+100^{\circ}\text{C}$  při

vysoké relativní vlhkosti se snižuje výkon na 2,8 kW, zatímco při teplotě  $+20^{\circ}\text{C}$  může být 3,55 kW. Reverzace je nejvíce 4 × za hodinu.

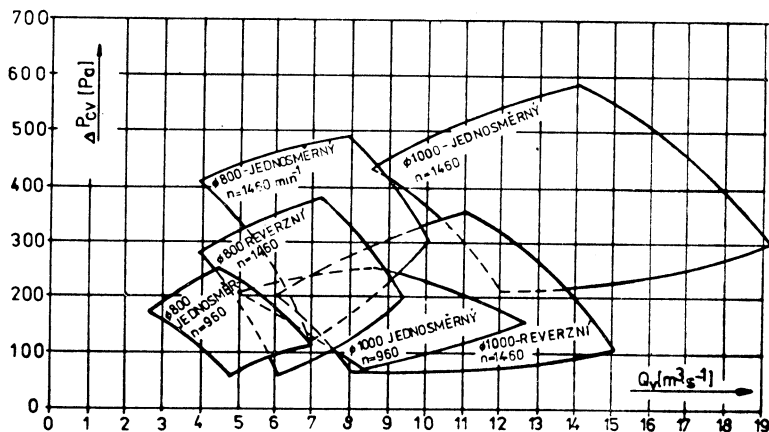
#### Vzduchotechnické parametry, technické údaje, výkony

Celková charakteristika ventilátorů APT je uvedena na obr. 3, přesné charakteristiky plynu z obr. 4 až 9. Hlavní rozměry ventilátorů APT 800 až 1000 jsou uvedeny na obr. 10 a 1 a v tab. 1.

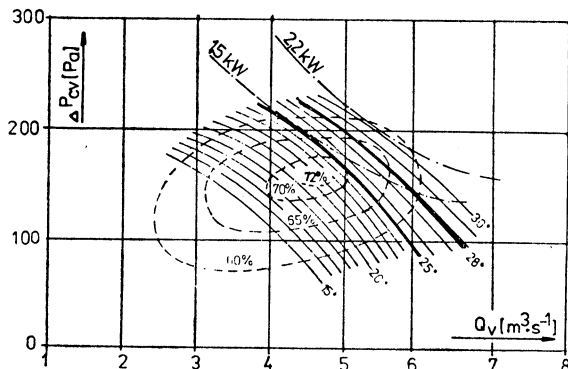
Hmotnosti ventilátorů v kg a použité elektromotory uvádí tab. 2, z které plynou další technické údaje.

Určení ventilátoru provádí projektant podle pracovních podmínek. Celkový tlak ventilátoru  $\Delta p_{cv}$  je udáván při hustotě  $\varrho = 1,2 \text{ kg} \cdot \text{m}^{-3}$ , při jiné hustotě  $\varrho_1$  se stanoví ze vztahu:

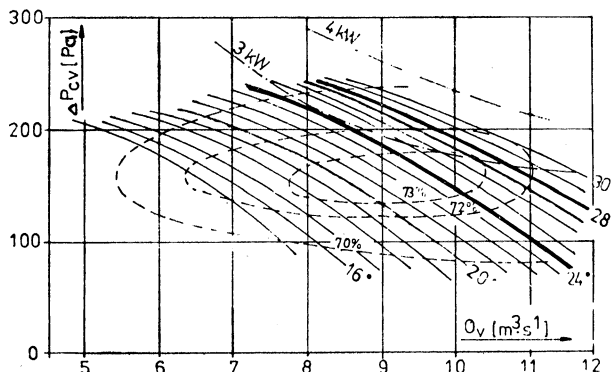
$$\Delta p_{cv1} = \Delta p_{cv} \cdot \frac{\varrho_1}{1,2}.$$

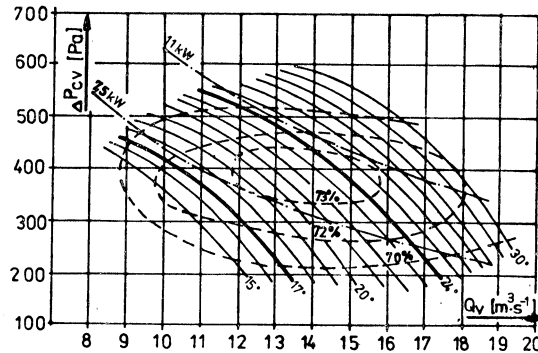


Obr. 3. Celkové charakteristiky ventilátorů APT 800 a 1 000 při  $+20^{\circ}\text{C}$

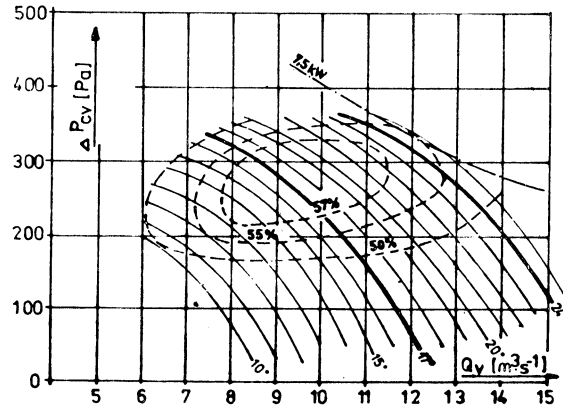


Obr. 4. Charakteristiky ventilátoru APT 800 — jednosměrného při  $+20^{\circ}\text{C}$  a  $n = 960$  T

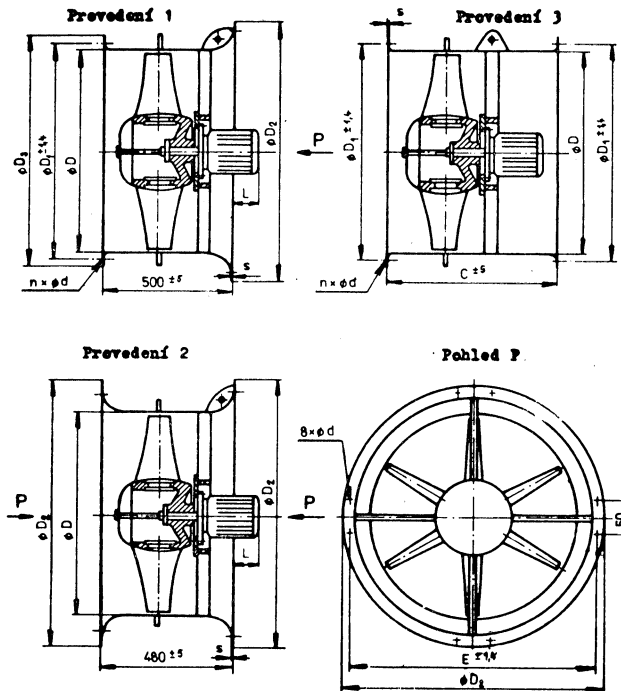




Obr. 8. Charakteristika ventilátoru APT 1000 — jednosměrného při  $+ 20^\circ C$  a  $n = 1\,460\,T$



Obr. 9. Charakteristika ventilátoru APT 1000 — reverzního při  $+ 20^\circ C$  a  $n = 1\,460\,T$



Obr. 10. Hlavní rozměry ventilátoru APT v provedení 1, 2, 3 (číselné hodnoty v tab. 1)

Tab. 1. Rozměry ventilátorů APT

Velikost $D$	$D_1$	$D_2$	$S$	$E$	$n$	$\varnothing d$	$D_3$	$C$
800	880	1 050	3	1 000	20	15	908	800
1 000	1 070	1 220	4	1 170	24	19	1 128	850

Tab. 2. Elektromotory a hmotnosti ventilátorů APT

Velikost a provedení ventilátoru	Elektromotor				$L$ [mm]	Hmot- nost [kg]
	typ	výkon [kW]	$n$ [min $^{-1}$ ]	$U$ [V]		
800/1 PM 12 2440.1	1 AP 100L-4	3	1 415		180	113
800/2 PM 12 2440.1						135
800/3 PM 12 2440.1						—
800/1 PM 12 2440.2	4 AP 132S-4	5,5	1 460	380/ 220 V	240	155
800/2 PM 12 2440.2					230	155
800/3 PM 12 2440.2					—	171
800/3 PM 12 2440.3	1 AP 100L-6	1,5	935		—	127
800/3 PM 12 2440.4	4 AP 112M-6s	2,2	950		—	148
1000/1 PM 12 2440.1	4 AP 132M-4	7,5	1 455	380 VD	268	205
1000/2 PM 12 2440.2					260	205
1000/3 PM 12 2440.1					—	237
1000/1 PM 12 2440.2	VF 160M-04	11	1 455	380 VD	334	243
1000/3 PM 12 2440.2					—	275
1000/3 PM 12 2440.3	4 AP 112M-6	3	940	380/ 220 V	—	205
1000/3 PM 12 2440.4	4 AP 132S-6	4	960		—	224
1000/5 PM 12 2440.1	4 AP 132S-4 TP 03/14 MTP 13/68	3,55 (+ 20 °C)  2,8 (+ 100 °C)	1 440	380 VD	—	261

metrů změnou úhlu natočení lopatek, v rámci výkonu použitého elektromotoru. Provádí se podle montážních a provozních předpisů.

#### Hluk a chvění

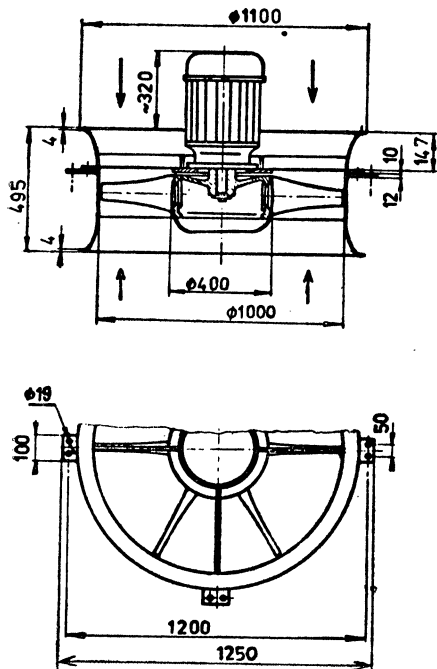
Podniková norma obsahuje hlučnost ventilátorů ve všech provedeních, v souladu s ČSN 12 3062. Pro informaci jsou uvedeny hlukové hodnoty pro APT 800 a 1000, provedení 3 (do potrubí) — viz tab. 3.

Hluk sání nebo výtlaku ventilátoru do potrubí připojeného na plášt ventilátoru označujeme  $L_{PAp}$ ,  $L_{Pp}$ . Hluk otevřeného sání

nebo výtlaku ventilátoru vyzářeného do okolí z otevřeného hrda ventilátoru se označuje  $L_{PAO}$ ,  $L_{PO}$ . Oba údaje jsou vyjádřeny hladinou akustického výkonu  $A$  v dB (A) a hladinami akustického výkonu v oktálových pásmech v dB, a to pro otáčky 1 460 nebo 960 min $^{-1}$  — pro různé úhly natočení lopatek u oběžného kola.

Rozdíly hladin akustických výkonů pro stejný úhel natočení lopatek jsou pro uvedené provozní oblasti ventilátoru v rozmezí 3 dB. V tabulce jsou uvedeny průměrné hodnoty.

Průměrné hladiny hluku  $A$ ,  $L_A$  v dB (A) a průměrné hladiny akustického tlaku v oktálových pásmech  $L$  v dB ve volném



Obr. 11. Hlavní rozměry ventilátoru APT 1000 — provedení 5 — pro cihelný

zvukovém poli ve vzdálenosti 3 m od otevřeného hrdla ventilátoru (umístěného ve zdi) se obdrží odečtením 18 dB od hladin akustického výkonu otevřeného sání nebo výtlaku ventilátoru  $L_{PAO}$ ,  $L_{PO}$  uvedeného v normě. Hodnoty byly získány měřením APT 1000 s elektromotorem o otáčkách 1 460 min<sup>-1</sup>. Maximální přípustné hodnoty kmitání

ventilátoru určuje norma PM 12 2011. Měřicí místa jsou připojovací přírubý.

#### Bezpečnost provozu, montáž a provoz

Ventilátory APT provedení 1 a 2 musí být opatřeny ochrannými mřížemi podle ČSN 12 2002. Jestliže odběratel požaduje provedení bez ochranných mříží, musí zabezpečit ochranný kryt, který odpovídá platným předpisům nebo zamezit přístup osob k ventilátoru.

Ventilátor do potrubí — provedení 3, nemá ochranné mříže. Jestliže se ventilátor použije na konci potrubí, musí být instalována ochranná mříž, zajišťovaná v rámci dodávky potrubí.

U ventilátoru provedení 5 pro sušárny cihlářského a keramického zboží, kde provozní teplota může být až +100 °C, je za provozu zamezen přístup osob do sušárny, proto nemají ventilátory ochranné mříže.

Výrobní závod kontroluje věti mezi oběžným kolem a pláštěm ventilátoru, která nesmí být menší než 1,5 mm u APT 800 a 2 mm u APT 1000. Zkouška na běh se provádí u každé výrobní zakázky, je-li počet menší jak 100 nebo alespoň 1 kus ze 100. Ventilátory mají dynamicky vyvážená oběžná kola, aby byl zajištěn rovnoměrný chod ventilátoru a chráněna ložiska elektromotoru.

Ventilátory APT 800 v normálním provedení prodává Technomat, n. p., v jednotlivých krajích. Velikost APT 1000 prodává pouze Technomat, n. p., závod Hradec Králové. Ostatní provedení se objednávají u výrobce ZVVZ Prachatic.

Před uvedením do provozu je nezbytné provést předepsané kontroly podle montážních a provozních předpisů, které jsou součástí dodávky.

Tab. 3. Hluk sání nebo výtlaku jednosměrných ventilátorů APT, provedení 3, vyzařovaný do potrubí při  $n = 1\ 460\ \text{min}^{-1}$

Velikost ventilátoru	Úhel lopatek	$L_{PAp}$ dB (A)	L <sub>Pp</sub> dB v okt. pásmech f — Hz							
			63	125	250	500	1000	2000	4000	8000
800	15°	101	100	101	101	100	97	90	85	77
	20°	103	103	104	103	101	98	91	86	79
	25°	104	108	106	104	102	99	93	87	81
	30°	105	109	107	105	104	100	94	89	85
1 000	15°	108	107	108	107	104	97	92	84	
	20°	110	110	111	110	108	105	98	93	86
	25°	111	115	113	111	109	106	100	94	88
	30°	112	116	114	112	111	107	101	96	92

## NĚKTERÉ POZNATKY ZE SYMPOSIA „OCHRANA ŽIVOTNÍHO PROSTŘEDÍ – MEZINÁRODNÍ ÚKOL“, TÝKAJÍCÍ SE ČISTOTY OVZDUŠÍ MĚST V NSR

Strategie ochrany ovzduší je založena na plánech ochrany čistoty ovzduší, sestavovaných pro území zatížená emisemi. Cílem těchto plánů jsou konkrétní opatření ke změnění znečištění ovzduší a prognózy dalšího vývoje.

Plány opatření vycházejí ze současného stavu znečištění a z prognózy.

Jednotlivými částmi plánu ochrany čistoty ovzduší jsou:

### *Emisní katastr,*

tj. seznam všech antropogenních zdrojů škodlivin v určitém území, uspořádaný podle zeměpisného stanoviště každého zdroje (bořového, liniového, plošného) a podle emisních podmínek (rozměry zdroje, množství plynů, druh, teplota, četnost a doba emise).

Rozlišují se tyto skupiny zdrojů emisí: průmysl, domácnosti, malé živnosti a doprava. Uvádějí se místní meteorologické podmínky.

### *Emisní katastr*

V zatížených územích se musí provádět kontinuální měření relevantních škodlivin za současného sledování meteorologických podmínek a parametrů rozptylu. Výsledky měření imisí se vkládají do imisního katastru. Měří se prach, SO<sub>2</sub>, NO<sub>x</sub>, CO a organické sloučeniny.

Pro sporadicky se vyskytující látky se stanoví imisní hodnoty výpočtem rozptylu z emisních dat.

### *Katastr účinků*

Jsou v něm zanesena sledování škodlivých účinků, která se systematicky provádějí na biologických objektech, materiálech a lidech. Systematická sledování, jako např. epidemiologické studie na části obyvatelstva, se doplňují menším počtem stanovení a vyšetřování a stížnostmi obyvatelstva na znečištění ovzduší.

### *Analýza příčin*

Má se vytvořit vztah mezi účinkem, imisemi a emisemi s cílem zavést opatření ke snížení znečištění ovzduší. Analýza příčin emisí musí mít zpětnou vazbu na zdroje škodlivin nebo alespoň na skupiny emisí, aby se na základě vyhodnocení získaly konkrétní výchozí podklady pro opatření ke zlepšení.

### *Prognóza znečištění*

Mění se zdroje, komunikace, sídliště. Výsledky emisní prognózy se transformují do prognózy imisní.

### *Plán opatření*

Je rozhodující částí plánu ochrany čistoty ovzduší. Vytváří se z analýzy příčin, katastru

účinku a imisí na jedné straně a katastru emisí na straně druhé.

Příklady plánu opatření: Změny zásobování sídlišť teplem, změny palivové a surovinové základny v průmyslu, požadavky na zařízení pro čištění plynů, změny územního plánu.

### *Signální a regulační systém*

#### *Rogulační (poplachové) stupně:*

Stupeň 1 (předběžné varování) — bez opatření, pouze každý se musí chovat tak, aby nedošlo ke zvýšení škodlivých účinků,

Stupeň 2 — vyražení provozu aut v označených obvodech v době 6 až 10 a 15 až 20 hodin,

Stupeň 3 (katastrofický) — individuální provoz aut obecně zakázáný, časové omezení pro provoz výrobních zařízení cestou jednotlivých nařízení.

### *Návrh nového regulačního a poplachového systému*

Předběžné varování — bez opatření,

1. stupeň — požaduje se omezení provozu průmyslových závodů o 40 % a omezení dopravy bud ve špičkách, nebo úplně,
2. stupeň — uvedení do klidu všech průmyslových zařízení mimo zařízení pro vytápění obytných a správních budov, obchodních domů, zásobování obyvatelstva. Provoz elektráren má být tak regulován, aby zásobování energií obyvatel a veřejných zařízení (např. nemocnice) bylo zajištěno.

### *Omezování sekundárních zdrojů a emisí*

V průběhu let dochází ke snižování emisí primárních zdrojů, tj. emisí průmyslových závodů vypouštěných komínů do venkovního ovzduší. Tím nabývají na významu sekundární zdroje, tj. emise odcházející s nečištěným vzduchem větráním průmyslových hal, emise vznikající ve venkovním prostředí (např. skládky) a emise způsobované dopravou — zvýšování usazeného prachu apod.

Ke snížení imisních hodnot je nutné snížit emise sekundárních zdrojů. Pro města to znamená zvýšení čistoty ulic a veřejných prostranství a předejdít znečištění komunikací dopravou.

### *Odstraňování odpadu*

V současné době nestáčí spalování městského odpadu, neboť obsahuje druhotné suroviny a při spalování některých složek odpadu dochází k úniku toxických látek do ovzduší. Mannesmann Anlagenbau AG a Mannesmann Verfahrens und Umwelttechnik GmbH jsou výrobci zařízení pro úpravu odpadu a za ním zařazeným spalováním. Při úpravě se odstraní velká část škodlivin obsažených v odpadu (halogeny, těžké kovy) ještě před spalováním. Homogenizací při úpravě se dále omezují

škodliviny (oxidy dusíku, uhlovodíky), které jinak vznikají při spalování. Za vlastní spalovací kotel je dále zařazen absorbér škodlivých plynů a filtr. Úpravou se zredukuje obsah

chlóru o > 65 %, olova o > 80 %, rtuti o > 80 % a zinku o > 75 %.

Oppl

## ZÁVĚRY SEMINÁŘE PRACOVNÍKŮ OBORU ÚSTŘEDNÍHO VYTÁPĚNÍ, KONANÉHO VE DNECH 28.-30. 5. 1985 V HARRACHOVĚ NA TĚMA „HLAVNÍ SMĚRY VÝVOJE OTOPNÝCH SOUSTAV V 8. PĚTILETÉM PLÁNU“

Účastníci se shodli na tom, že závěry přijaté na setkání v Herbertově v r. 1984 a předcházejících seminářích v plném rozsahu platí i pro příští období.

V uplynulém období došlo na světových trzích ke stabilizaci cen nafty a zemního plynu. Důsledně jsou uplatňovány programy zaměřené na úspory spotřeby paliv a energií a tento vývoj poznamená i směr rozvoje našeho oboru v ČSSR.

K tematickým okruhům semináře byla přijata tato stanoviska:

### Perspektivní zdroje tepla pro vytápění

- Pro krytí potřeb tepla soustředěné výstavby bude v maximální míře využito velkých teplárenských zařízení s kombinovaným cyklem výroby elektrické energie — teplo a Jaderné zdroje.
- V souvislosti s tímto vývojem je nutné věnovat pozornost velkým předávacím stanicím v systémech CZT a otopným soustavám napojovaným na tyto stanice. Posoudit vhodnost teplotního rozdílu topného média ve vazbě na výšku objektu a způsob dodatkové regulace.

*Plynána paliva* — přednostně navrhovat pro vytápění rozptýlené výstavby a pro modernizaci historických částí měst

- pro rozptýlenou výstavbu a modernizaci je žádoucí používat zdroje s vysokou účinností,
- je nežádoucí budovat zdroje tepla o velkých výkonech s plynovými kotly.

*Elektrická energie* — s ohledem na vyrovnaný diagram denního odběru bude větší rozšíření vytápění akumulací tepla problematické.

### Druhotné zdroje a obnovitelná energie

- věnovat neustálé pozornost zpětnému využívání odpadního tepla,
- vhodnost použití ZZT doplnit rozborem ekonomické efektivnosti energetických investic podle sm. FMPE č. 2/83,
- v oblasti solární energie využívat dosavadní zkušenosti soustředění v databance SKTIR (Ing. Fleming),
- nezanedbávat zdroje geothermální, spalování odpadů, využívat rychle rostoucích dřevin a energie větru,
- ve větší míře soustředit pozornost na využití přirozené a umělé akumulace se zdrojem na snížení nároků na zdroje tepla,
- vytvořit podmínky pro využití nízkoteplotních otopných soustav, které mohou využít zdroje tepla s nízkým obsahem energie.

S ohledem na naléhavost úkolů, které před nás staví současná energetická situace, je nezbytně nutné zajistit větší počet kvalifikovaných pracovníků oboru vytápění. Pro stávající odborníky zajistit kurzy a postgraduální vzdělávání, zaměřené zejména na obor regulační techniky pro vytápění a vzduchotechniku.

Vzhledem k tomu, že byl vytvořen legislativní orgán, který připravil nové znění zákona o výrobě, rozvodu a spotřebě tepla, doporučuje se, aby výbor ÚOS. Vytápění komitétu pro životní prostředí ČsVTS připravil návrh takových organizačních opatření, která by vedla ke sjednocení zájmů v oboru vytápění tak, aby mohla být partnery legislativnímu orgánu.

Fišer — Kostelecký — Krommel

## LOPATKOVÉ ANEMOMETRY FIRMY SCHILTKNECHT

Známá švýcarská firma Schiltknecht Messtechnik AG (Švýcarsko) nabízí výběr lopatkových anemometrů v provedení, které na tuzemském trhu chybí. Uvádíme několik ukázek s technickými daty.

### mini-air 1 (obr. 1)

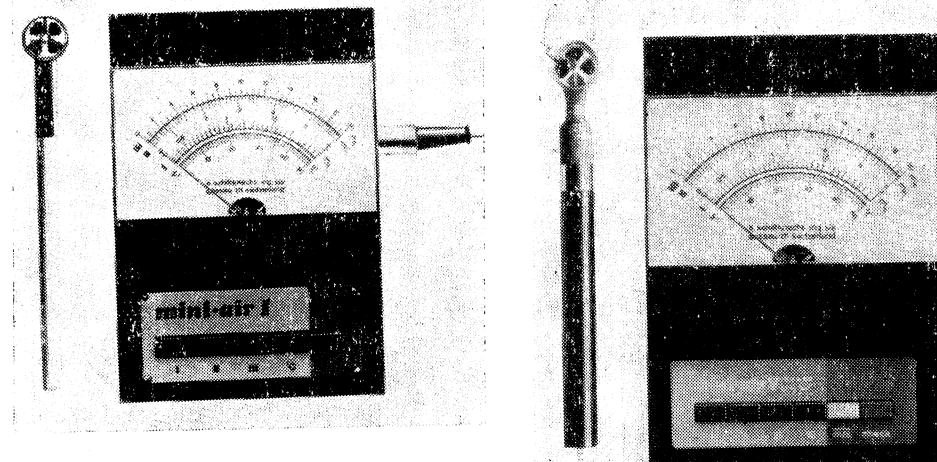
jsou lopatkové anemometry s elektrickým snímáním otáček a analogovým odečítáním naměřených rychlostí. Zdůrazňuje se před-

nost analogového provedení před digitálním při měření v turbulentním proudění. Měřicí hlavice jsou minimalizovány. Přesto je jimi možno měřit rychlosť proudění vzduchu již od 0,2 m/s při průměru krytu hlavice čidla 22 mm a od 0,4 m/s při průměru krytu 15 mm (event. 10 mm). Některé typy přístrojů jsou vybaveny i přídavným termistorovým čidlem k měření teploty (tab. 1). Přístroje je možno používat při teplotách -30 až 65 °C, při speciálním provedení hlavice do 250 °C.

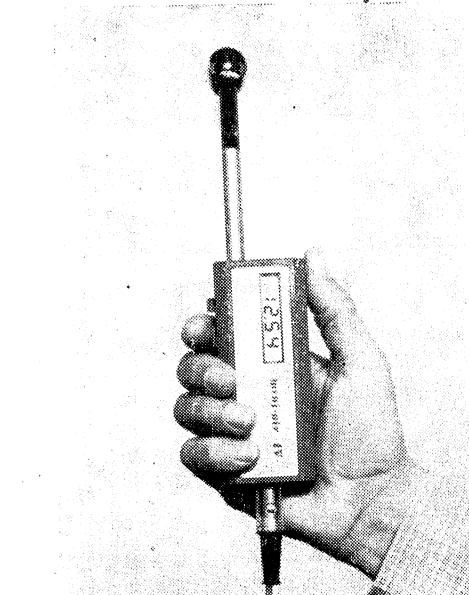
Na přání jsou přístroje dodávány i s roz-

Tab. 1

Typ měřicí hlavice	Rozsahy rychlostí [m/s]	Min. rychlosť [m/s]	Průměr krytu hlavice [mm]	Rozsahy teplot [°C]
mini-air 642 a/1	2, 6, 20	0,2	22	—
mini-air 642 a/1t	2, 6, 20	0,2	22	0—50
mikro-mini-air 642 a — m/1	5, 10, 20	0,4	15 (10)	—
mikro-mini-air 642 a — m/lt	5, 10, 20	0,4	15 (10)	0—50



Obr. 1. Mini — air I



Obr. 2. Mini — air IV

Obr. 3. Mini — air V

sahy 1, 2, 6 m/s, 4, 12, 40 m/s, 20, 40, 80 m/s.

Přístroj mini-air I lze kabelem spojit s digitálním vyhodnocovacím přístrojem mini-air III.

Napájení baterií 9 V.

#### mini-air IV (obr. 2)

je lopatkový anémometr vhodný především k měření objemového průtoku vzduchu ve větracích a klimatizačních systémech a jejich prvcích. Na digitálním ukazovateli přístroje se přibližně udává střední rychlosť v průběhu buď dvacetidvou nebo pěti sekund.

Přístroj je použitelný v rozsahu rychlosťí 0,3 až 20 m/s, resp. 0,4 až 40 m/s. Údaje jsou nezávislé na tlaku a teplotě v rozsahu teplot 20 až + 55 °C, průměr krytu čidla je 22 mm,

Tab. 2

Typ měřicí hlavice	Rozsahy rychlostí [m/s]	Min. rychlosť [m/s]	Průměr krytu hlavice [mm]	Rozsahy teplot [°C]
mini-air type 642/5	2, 6, 20	0,2	22	0—50 nebo 0—140
	4, 12, 40	0,3	22	0—50 nebo 0—140
	20, 40, 80	0,5	22	0—50 nebo 0—140
mikro-mini-air type 649/5	5, 10, 20	0,4	15	0—50 nebo 0—140
	10, 20, 40	0,5	15	0—50 nebo 0—140
	20, 40, 80	0,6	15	0—50 nebo 0—140
mini-air V type 648/5	1, 2, 6	0,1	80	0—50 nebo 0—140
	2, 6, 20	0,1	80	0—50 nebo 0—140
	4, 12, 40	0,1	80	0—50 nebo 0—140

životnost baterie větší než 200 hodin, použití je možné v prostředí s teplotou —30 °C až 120 °C.

#### mini-air V (obr. 3)

je lopatkový anemometr, který umožňuje stanovit okamžitou rychlosť, střední rych-

lost i teplotu vzduchu (tab. 2). Měřicí hlava je snadno odnímatelná (výmenná), optimálně zavoděná v aerodynamickém tunelu. Náhradou měřicí hlavy sondou pro měření otáček lze přístrojem měřit i otáčky ventilátorů, motorů, atd.

Bašus

#### TERMOANEMOMETR S TEPLOMĚREM „THERMO-AIR TYP 442“

Svýcarská firma Schiltknecht Messtechnik AG nabízí termoanemometr (obr. 1) s automatickým nastavením nuly a s kompenzací vlivu teploty okolního vzduchu. Kompenzace je odvozena z teplotního čidla, jehož údaj lze rovněž na příslušné stupnice odebírat.

Rozsah měřených rychlosťí proudění vzduchu je 0 až 1 m/s a 0 až 5 m/s, rozsah měřených teplot 0 až 30 °C, resp. —20 až +80 °C. Kompenzace je účinná v rozsahu teplot 0 až +40 °C, napájení je z baterie 9 V. Měřicí

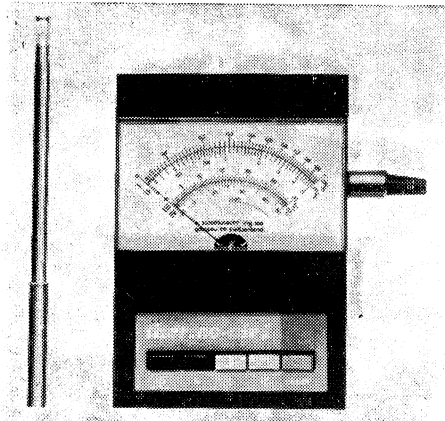
hlavice má průměr 8 mm, je možnost registrace.

Bašus

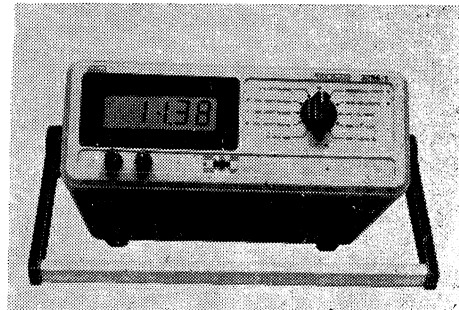
#### MĚŘENÍ TEPLITOTY PŘÍSTROJEM THERM 3256

Přístroj firmy AHLBORN (NSR) má 12 měřicích rozsahů (obr. 1). Pro termočlánky běžné v laboratorní i průmyslové praxi umožňuje měřit i registraci teploty v rozsahu —270 až +1 800 °C. Jako příslušenství se dodává čtrnáctimístný přepínač měřicích míst.

Bašus



Obr. 1. Thermo-air typ 442



Obr. 1. THERM 3256

## ASHRAE Journal 27 (1985), č. 3

- 1985 ASHRAE Energy Awards (Ceny ASHRAE udělené v roce 1985 za úspory energie) — 36—80.
- Savings are on the house (Úspory energie přináší celkové řešení budovy) — *Brown M. R.*, 36—39.
- A healthy approach to energy (Ekonomický systém se zpětným získáváním tepla v lázeňském středisku) — *Bean M.*, 41—43.
- Brewing energy savings, too (Úspory energie v pivovaru) — *Lizardos E. J.*, 44—47.
- All the way to the bank (Energeticky úsporné vytápění, větrání a klimatizace bankovní budovy) — *Bellenger L. G.*, 49—51.
- Putting icing on the cake (Snížení nákladů na energii v pekárně) — *McDonald J. T.*, 52—55.
- High rising energy savings (Úspory energie u výškové administrativní budovy) — *Anglin H. E., Gatley D. P.*, 56—58.
- Taking on a heavyweight (Sálavé vytápění šetří energii v průmyslové dílně) — *Wilson L. S.*, 59—61.
- A biological evolution (Spotřeba energie v biologických laboratořích) — *Koch R. E.*, 62—64.
- Self-saving energy design (Realizace energeticky úsporného řešení budovy) — *Heapy M. O.*, 65—68.
- Getting the correct data (Klimatizace výpočetního střediska) — *Hermanson R. G.*, 69—70.
- The business curriculum (Úspory energie na Stanfordské universitě) — *Taylor F. H.*, 71—72.
- Bearing down on the boiler (Zpětné získávání tepla od kotle šetří energii) — *Sullivan R. E.*, 73—75.
- An educational program (Vytápění na Alabama University) — *Thompson III M. L.*, 76 až 77.
- Ringing up the savings (Úspory v závodě na výrobu kontrolních pokladů) — *Wills A. H.*, 78—80.

## ASHRAE Journal 27 (1985), č. 4

- High rise fire safety systems (Protipožární systémy výškových budov) — *Buckley J. B.*, 26—29.
- Integration: Not a matter of debate (Integrace v protipožárních systémech) — *Zivney R. C.*, 30—35.
- Some reasons not to integrate (Některé důvody proti integraci protipožárních systémů) — *Dillon M. E.*, 36—37.
- Smoke control in VA hospitals (Regulace kouře v nemocnicích) — *Klote J. H.*, 42—45.
- Dampers in smoke control systems (Kouřová hradítka v protipožárních systémech) — *Plettner R. M.*, 46—47, 49—50.

## ASHRAE Journal 27 (1985), č. 5

- An ice-making showcase (Chladicí systém administrativní budovy) — *Reardon J. G., Penuel K. M.*, 24—29.
- The control concepts (Koncepce regulace zásob ledu a chladicí vody) — *Tamblyn R. T.*, 30—32, 34.
- Strategies to optimize ice storage (Strategie pro optimalizaci zásob ledu) — *Rawlings L.*, 39—42, 44, 46, 48.
- Annual meeting ASHRAE, Hawaii, Honolulu, June 23—26 1985 (Výroční zasedání ASHRAE, Hawaj, Honolulu, 23.—26. 6. 1985. Program a abstrakta referátů) — 50—67.

## Gesundheits-Ingenieur 106 (1985), č. 3

- Klimatische Behaglichkeit des Menschen innerhalb Raumschließungsflächen mit unterschiedlich starker Reflexion von Infrarot-Wärmestrahlung (Pohoda člověka uvnitř uzavřených prostorů s plochami s rozdílně silnou reflexí infracerveného záření) — *Diebschlag W.*, 113—119.
- Zur Ermittlung der Wärmeleitfähigkeit von Luftschichten in Hohlziegeln (Stanovení tepelné vodivosti vzduchových vrstev v dutých cihlách) — *Schneeweiss G.*, 120—125.
- Ein neues explizites Differenzenverfahren zur Berechnung des instationären thermischen Bauteilverhaltens (Nový explicitní diferenční postup výpočtu instacionárního tepelného chování stavebního prvku) — *Poos B.*, 126—132.
- Freisetzung von Radon aus Baustoffen und Baugrund (Uvolnění radonu ze stavebních hmot a stavěniště) — *Martin J.*, 141 až 143.
- ISH '85 — Erfolg humaner Technik (ISH '85 — Úspěch humánní techniky) — příloha.

## Heizung Lüftung Haustechnik 36 (1985), č. 5

- Wärmeübergang bei Konvektoren mit Schacht (Přestup tepla u konvektorů se šachtem) — *Hesslinger S.*, 217—222.
- Heizkessel mit Primär- und Sekundärkreis (Vytápěcí kotel s primárním a sekundárním obvodem) — *Nohren H.*, 223—225.
- Abrechnung von Wärme aus Fernwärmenetzen und Heizzentralen (Vyúčtování tepla ze sítí dálkového rozvodu a tepláren) — *Kreuzberg J.*, 226—229.
- Lokales Klima und Potenzgesetz für Heizkörper (Místní klimatické podmínky a potenciální zákon pro otopná tělesa) — *Adunka F., Kolaczia W.*, 230—233.
- Durchfluss und Wärmeaustauscherbemessung

- sung bei Sonnenenergieanlagen (Průtok a stanovení velikosti výměníků tepla u solárních zařízení) — *Weiersmüller R.*, 234—237.  
 — Wärmebedarf durch Luftbilder erfassst (Zachycení spotřeby tepla leteckým snímkem) — *Dittrich W., Müller H., Schramm M.*, 238 až 245.  
 — Thermografie in der Gebäudetechnik (Termografie v technice budov) — *Breunig H.*, 246—249.  
 — Zur Berechnung von Radialventilatoren (K výpočtu radiálních ventilátorů) — *Sentek J., Szarska K.*, 250—253.  
 — Deckungsbeitragsrechnung im Handwerk (Výpočet příspěvků na úhradu v řemesle) — *Mayer E., Zimmermann E.*, 254—258.  
 — ISH—SHK — Branche im Modernisierungsaufwind (Mezinárodní výstava zdravotní a vytápěcí techniky — Zdravotní technika, vytápění, klimatizace, odvětví se vztahem modernizace) — 259—263.

#### **Heizung Lüftung Haustechnik 36 (1985), č. 6**

- Wärmeerzeuger auf Ersatzbedarf ausgerichtet (Tepelný agregát postavený na náhradní spotřebu) — *Claus G.*, 275—277.  
 — Entwicklungstendenzen bei Raumheizflächen (Vývojové směry u prostorových otopných ploch) — *Sauter H.*, 277—279.  
 — Warmwasser-Fussbodenheizung als Komplett-System (Teplovodní podlahové vytápění jako kompletní systém) — *Schlappmann D.*, 279—280.  
 — Heizbedarf von Gebäuden simuliert (Simulace potřeby vytápění budov) — *Bradke H., Krumm W., Fett F. N., Pfeifer H.*, 281 až 287.  
 — Erfahrungen bei der thermografischen Fernerkundung (Zkušenosti při termografickém dálkovém průzkumu) — *Tarłowski K. D.*, 288—292.  
 — Mindestluft gegen Feuchte (Nejmenší vzduchový proud proti vlhkosti) — *Lübke P.*, 293—296.  
 — Dimensionierung von Thermostatventilen (Dimenzování termostatických ventilů) — *Treuner I.*, 297—301.  
 — Abrechnung von Wärme aus Fernwärmennetzen und Heizzentralen (Vyúčtování tepla ze sítí dálkového rozvodu tepla a tepláren) — *Kreuzberg J.*, 302—304.  
 — Wärmeübergang bei Konvektoren mit Schacht (Přestup tepla u konvektorů se sáčkou) — *Hesslinger S.*, 305—311.  
 — 5. Statusseminar „Rationelle Energieverwendung“ (5. Seminář „Racionální použití energie“) — *Müller K. G.*, 313—316.  
 — Symposium „Heizkesseltechnik“ (Symposium „Vytápěcí kotle“) — 317

#### **Heizung und Lüftung — Chauffage et ventilation 52 (1985), č. 3**

- Druckverlust in Luftkanälen (Tlaková ztráta ve vzduchovodech) — *Leuzinger R.*, 11—19.

- Répartiteurs de frais de chauffage montés sur radiateurs (Přístroje k měření a rozdělování nákladů na vytápění, namontované na radiátorech) — *Anderes U., Bhend H. P., Hotz R., Eisenhart H. J.*, 20—25.  
 — Energie im Hochbau (Energie v pozemní stavbě) — *Meier K.*, 25—26.  
 — Energieverordnungen im Spannungsfeld öffentlicher und privater Interessen am Beispiel des Kantons Zürich (Energetická nařízení pod tlakem veřejných a soukromých zájmů na příkladě kantonu Curych) — *Leibundgut H. J.*, 27—29.  
 — Technische Klimadaten für die Schweiz (Technické údaje klimatických podmínek pro Švýcarsko) — 30—35.  
 — HOVAL — ein bekannter Name in der Haustechnik für Heizung, Klima, Lüftung, Sanitär (HOVAL — známé jméno firmy v domovní technice pro vytápění, klimatizaci, větrání a zdravotní techniku) — 67—70.

#### **Die Kälte und Klimatechnik 37 (1984), č. 11**

- Internationaler Kältekongress in Dresden (Mezinárodní kongres z oboru chlazení v Drážďanech) — *Grosshans D.*, 554, 556.  
 — Heizen mit Wärmepumpe und Beton (Vytápění tepelným čerpadlem a betonem) — *Scheu W.*, 558, 560, 562, 564, 566.  
 — Leipziger Messe, 2. bis 8. September 1984 (Lipský veletrh, 2.—8. září 1984) — *Enke Ch.*, 568, 570.

#### **Die Kälte und Klimatechnik 37 (1984), č. 12**

- Klimatechnik — Branche ohne Zukunft? (Klimatizační technika — odvětví bez budounosti?) — 608—609.

#### **Luft- und Kältetechnik 21 (1985), č. 2**

- Werkstoffeinsatz und Korrosionsschutz in Kälte- und Wärmepumpenanlagen (Po užití materiálu a ochrana proti korozii u chladicích zařízení a tepelných čerpadel) — *Pätz G.*, 63—68.  
 — Wirtschaftliche Anordnung der Sektionen in Klimaanlagen (Hospodárné uspořádání sekcií v klimatizačních zařízeních) — *Ejhmanis E. F.*, 68—71.  
 — Einteilung und Einsatzbewertung von Reisezugwagen-Klimaanlagen (Rozdělení a zhodnocení použití klimatizačních zařízení v železničních vozech pro cestující) — *Schmidt M.*, 71—74.  
 — Thermodynamische Zustandseigenschaften von Kohlendioxid (CO<sub>2</sub>) (Termodynamické stavové vlastnosti kysličníku uhličitého (CO<sub>2</sub>)) — *Schulte K.*, 86—88.  
 — Ein Staubkanal zur Prüfung von zweistufigen gravimetrischen Staubmess- und Staubprobenahmegeräten (Prašný kanál ke zkoušení dvoustupňového gravimetrického přístroje na měření prachu a odběr vzorků

- prachu) — *Temmler G., Jankowski B.*, 88 až 91.  
 — Auswirkung einer Befeuchtung von Schallschluckmaterial (Účinek zvlhčení na absorpční materiál zvuku) — *Iwainský H., Töpfer K.*, 92—94.  
 — Die Absorption von Geruchsstoffen aus dem Abgas eines Tierkörperverarbeitungsbetriebes (Absorpcie zapáčajících látek z odpadního plynu závodu na zpracovávání masa) — *Schae A., Hockun F., Thiele W., Götte H.*, 94—97.  
 — Bedeutung der granulometrischen Charakterisierung fester Luftverunreinigungen für die Enstaubungstechnik (Význam granulometrické charakterizace pevných znečistění vzduchu pro odprašovací techniku) — *Petroll J., Birr R.*, 97—99.  
 — Vorauswahl und Optimierung lufttechnischer Anlagen in Produktionsbauten — Fortsetzung (Předběžná volba a optimalizace vzduchotechnických zařízení ve výrobních stavbách — pokračování) — *Renner E.*, 99—104.

#### **Sanitär- und Heizungstechnik 50 (1985), č. 2**

- Wärmemarkt der 80er Jahre: Gut gerästet sind sie alle (Obsáhlé diskuse k tématu „vytáčení“ — zvýhodnění nákladů za provoz při použití čistěného otopného oleje, nová zařízení a jejich využití) — 58—68.  
 — Sparsam und umweltfreundlich (Úsporné a hygienické spalování plynu na keramických záříčích) — *Forster S., Quell P., Jaegers H.*, 76—82.  
 — Welche Farbe passt? (Která barva je vhodná?) — *Küthe E. T.*, 83—88.  
 — Wecoflex: Fussbodenheizungen für jeden Einsatzfall (Firemní sdělení: Podlahové vytápění pro každý případ použití) — 93.

#### **Sanitär- und Heizungstechnik 50 (1985), č. 3 zvláštní číslo**

- Treppunkt Frankfurt (ish 19.—23. 3. 85 ve Frankfurtu — informace) — 114—116, 118.  
 — Preislich fast gleich, zeitlich absolut ungleich (Porovnání instalací s různými trubními systémy) — 119—123.  
 — Welchen Stellenwert hat die Einfuhr? (6) (Jakou hodnotu má dovoz — 6. pokrač.) — *Hempel Ch.*, 124—128.  
 — Sturmsicher, regendicht und attraktiv (Titanový plech pro krytiny) — *Plawer H.*, 129—132.  
 — Vorwand-Installationen: Flexibel, sauber, kalkulierbar (Představené instalace — jsou přestavitelné, snadno se čistí a levnější) — 133—135.  
 — Sprinkleranlagen: Wie gross muss der Druckluftwasserbehälter sein? (Hasicí zařízení — jak velký musí být tlakový zásobník?) — *Hartmann E.* — 136—140.  
 — Sparsam und funktionell (2) (Úsporný

- a funkční bazén na výuku plavání — díl 2.) — *Savunus Ch.*, 145—149 pokrač.  
 — Druckverluste zur Berechnung von Wasserleitungsanlagen (9) (Tlakové ztráty pro výpočty vodovodního rozvodného potrubí — díl 9.) — *Feurich H.*, 150—152.  
 — Mischinstillationen kein Problem (Potrubí z umělých hmot s nekorodujícími spoji pro rozvod pitné vody) — *Herbsleb G.*, 155—157.  
 — Mit Abluft- oder Abgasschächten ausstatten (Přirozené větrání obytných budov vybaveno šachtami pro odvod vzduchu nebo spalin) — *Lübeck P., Kampfenkel O.*, 158—164.  
 — Keine Brutstätte für Keime (Proti líhnutí choroboplodných zárodků) — *Küthe E.*,  
 — Nicht jede anerkannte Regel der Technik ist zu beachten (Přebytek norem a zákonních podkladů ve stavebnictví) — *Genath B.*, 168—170.

#### **Sanitär- und Heizungstechnik 50 (1985), č. 3**

- Treppunkt Frankfurt (ish 19.—23. 3. 85 ve Frankfurtu — informace) — 192—196.  
 — „Was wir für das Umwelt-Auto ausgeben, solten wir auch für die Heizung tun“ (Interview s ministrem stavebnictví O. Schneidem k problémům topenářské praxe) — 198—202.  
 — Auch mit Salzsäure ist zu rechnen (Korozivní působení kyseliny solné z ovzduší) — *Kruse C. L.*, 205—207.  
 — Gerüstet für einen grösseren Markt (Elektrické podlahové zásobníkové vytápění dnes) — *Diedrich H.*, 208—212.  
 — Wie wirtschaftlich sind Energieboxen? (Jak hospodárná jsou energetická centra?) — *Huber H.*, 217—220.  
 — Den meisten Komfort mit Teppichböden (Maximální komfort s kobercovými podlahami) — *Trappel P.*, 221—224.  
 — Hartholz besser als Weichholz (Při podlahovém vytápění jsou výhodnější podlahy z tvrdého dřeva) — 227—228.  
 — Zur Wärmerückgewinnung und Erdreichwärme-Nutzung (Zpětné získávání tepla a využití zemního tepla) — *Hauke J.*, 229—233.  
 — Fernwärme mit Pluspunkten (Náklady na dálkové vytápění jsou ustálené) — 234—236.  
 — Der Standort des Konvektors ist sehr entscheidend (Umístění konvektoru je rozhodující) — *Olesen B. W.*, 237—243.  
 — Energiesparung durch Leistungsanpassung (Úspory energie v příměřenosti výkonu tepelného čerpadla) — *Barth H.*, 244—248.  
 — Auch kleinste Temperaturdifferenzen messbar (Také malé rozdíly teplot jsou měřitelné) — *Grubits A.*, 249—250.  
 — Elektrotechnik — Elektronik 27. Teil (Elektronika — elektrotechnika, část 27.) — *Schrowang H.*, 251—258 pokrač.

#### **Sanitär- und Heizungstechnik 50 (1985), č. 4**

- ish (Přehled z veletrhu) — 286—295.  
 — Der Kunstgriff mit der heißen Nadej

(Nová technika difuzorů pro přípravu pitné vody) — Engel T., 296—299.

— Heizkörperlackierung: Die Automobilindustrie machte es vor (Povrchové úpravy topných těles — máčením jako v autoprůmyslu) — 300—302.

— Welchen Stellenwert hat die Einfuhr? (7) (Jakou hodnotu má dovoz — 7. pokrač.) — Hempel Ch., 303—308, 319.

— Wärme aus Textil-Kollektoren (Vyhřívání společenského střediska „Moby Dick“ odpadovým teplom) — Fröhhaber R. R., 315—316.

— Sparsam und funktionell (Úsporný a funkční bazén na výuku plavání — díl 3.) — Saunus Ch., 317—319.

— Elektrotechnik — Elektronik 28. Teil (Elektronika — elektrotechnika, část 28) — Schrawang H., 320—323 pokrač.

## Stadt- und Gebäudetechnik 39 (1985), č. 1

— Konzentration von Forschung und Entwicklung — ein Beitrag zur Effektivitäts-erhöhung von Wissenschaft und Technik im VEB Kombinat TGA (Soustředění výzkumu a vývoje je přispěvkem VEB Kombinat TGA ke zvýšení účinnosti vědy a techniky) — Strobel B., 1.

— Sanitäranlagen im Hotel „Pribaltiyskaya“ in Leningrad (Sanitární instalace v hotelu „Pribaltijskaja“ v L.) — Knobloch W., 2—4.

— Ein verbessertes Näherungsverfahren für die Berechnung der Energieströme infolge Wärmestrahlung zwischen festen Oberflächen (Zlepšený postup přibližného výpočtu energetického toku ve vztahu k tepelnému záření mezi dvěma povrchy) — Glück B., 5—9.

— Vorfertigung der Zweirohrheizung für den mehrgeschossigen Wohnungsbau WBS 70 (Prefabrikace dvoutrubkového vytápění ve vícepodlažní obytné budově typu WBS 70) — Jacobitz M., Jung B., 9—10.

— Erfahrungen beim Betrieb von Gasanlagen in Wohngebäuden der Stadt Moskau (Zkušenosti s provozem plynových zařízení v obytných budovách v Moskvě) — Smetschkin W. S., 10—11.

— Installation des Gas-Durchlauf-Wasserhitzers WG 125 (Instalace plynového průtokového ohříváče vody typu WG 125) — Fischer O. E., 11.

— GASINOR — Ein neues Garätesystem für die Lecksuche (GASINOR — přístroj k vyhledávání poruch na plynovodech pod zemí) — Hausknecht M., Pietsch H., 12.

— Neue Sanitärarmaturen für den Wohnungsbau (Nové výtoku armatury pro bytovou výstavbu) — Neumann M., 13—14.

— Strahlplatten — Wieviel Strahlplatten sind in Reihe zu schalten? (Kolik sálavých panelů možno instalovat v řadě) — Küffner H., Damm R., 15.

## Stadt- und Gebäudetechnik 38 (1984), č. 12

— Lüftungstechnische Probleme bei der Rekonstruktion und Modernisierung von Wohngebäuden (Vzduchotechnické problémy při rekonstrukcích a modernizaci obytných budov) — Richter W., 177—179.

— Konzeption von Raumheizungsanlagen für innerstädtische Rekonstruktionsgebiete (Koncepcie v zařízeních pro vnitřní vytápění v rekonstruovaných oblastech uvnitř měst) — Lehmann D., 179—182.

— Zu einigen Problemen der Einzelofenheizung in modernisierten und neu errichteten Wohngebäuden (Některé problémy lokálního vytápění v modernizovaných a nově zřizovaných obytných objektech) — Hering G., 182—185.

— Rekonstruktion der Heizungs- und Sanitäranlagen eines Wohnblocks in Cottbus unter Berücksichtigung der rationellen Energieanwendung (Rekonstrukce otopných a sanitárních zařízení v obytném bloku v C. s přihlédnutím k úsporám užitých energií) — Albrecht J., Münke J., 185—186.

— Bautechnologische Typenprojekt für die Rekonstruktion der Bewässerungsanlagen im Wohnhausbau, Typ WBS 70 (Typový projekt stavební technologie pro rekonstrukci vodovodu a kanalizace v obytné budově, typ WBS 70) — Naumann R., Bender S., 186—187.

— Modernisierung von Anlagen der technischen Gebäudeausrüstung im Küche(Bad)-WC-Bereich in Altbauten (Modernizace technických zařízení budov pro kuchyň (koupelnu), záchod ve starých objektech) — Knobloch W., 187—189.

— Gasraumheizer für die Rekonstruktion und Modernisierung von Gebäuden (Plynové vytápění v rekonstruovaných a modernizovaných budovách) — Kiehl H., 189—190.

— Vorbeugender Brandschutz bei Schweissarbeiten im Wohnungsbau (Ochrana před požárem při sváření v obytných budovách) — Gilde W., Brenner W., Ruropolph W., Barthmann E.

## Stadt- und Gebäudetechnik 39 (1985), č. 2

— Armaturen aus Gusseisen mit Lamellen-graphit (GGI) in Dampfleitungen (Litinové armatury s vrstveným grafitem v parovo-dech) — Ringsland K. H., Wossog G., 17—21

— Festigkeitsnachweise für räumliche und ebene Rohrleitungssysteme mit PKR 1002 (Prokázání pevnosti prostorových a roviných trubních soustav na počítači) — Sommer H., 21—22.

— Einige Bemerkungen zur Bestimmung der optimalen Dämmschichtdicke warmgehender Rohrleitungen (Několik poznámek k určování optimální tloušťky tlumící vrstvy u potrubí s protékající teplou vodou) — Gall R., 23—25.

— Belastungsänderungen in Rohrleitungs-anlagen durch Lagerhebung oder Senkung (Změny zatížení v potrubních soustavách zdvíjením nebo snížením ložisek) — Eigner G., 25—27.

— Druckstosstheorien im Vergleich (Porov-

nání teorií tlakového rázu) — *Gruner H.*, 28—29.

— Rohrhalterungen — Stand und Weiterentwicklung (Upevňování trub — stav a další vývoj prvků a technologií) — *Glässer S.*, 29—30.

— Stehende U-Boden-Dehnungsausgleicher ohne Unterstützung für freiverlegte Wärmeleitungen (Stojící U-kompenzační sestavy bez podpor pro volně uložená tepelná potrubí) — *Lindner L.*, 30.

— Technologische Rohrleitungen im Industriezweig Mikroelektronik — neue Forderungen an den Rohrleitungsbau (Technologické trubní rozvody v elektronickém průmyslu — nové požadavky na tyto rozvody) — *Decho G.*, 31—32.

#### **Staub Reinhaltung der Luft 45 (1985), č. 4**

— Selbstentzündung von Braunkohlestaub bei vermindertem Sauerstoffgehalt (Samovznícení hnědouhelného prachu při sníženém obsahu kyslíku) — *Wiemann W.*, *Scholl E. W.*, 147—150.

— Explosiveness and Ignitability (Výbušnost a zápalnosť) — *Fonik R.*, 151—154.

— Schutzmassnahmen bei Staubexplosionen (Ochranná opatření při výbušném prachu) — *Egler H.*, 155—160.

— Messung des Schwebstoffgehaltes der Luft während einer Smog-Periode (Měření obsahu škodlivin ve vzduchu během období smogu) — *Buck M.*, 160—162.

— Zykロンabscheider mit Schraubenpalt-Diffusor (Vírový odlučovač se šroubovým, štěrbínovým difuzorem) — *Schmidt P.*, 163—165.

— Elektrofilter zur Staubprobennahme und Staubabscheidung (Elektrický odlučovač pro odběr prachu a odlučování prachu) — *Kranich S.*, *Keck R.*, 166—168.

— Ein Kaskadenimpaktor mit rotierenden Stauplatten (Kaskádový impaktor s rotacními vzdouvacími deskami) — *Klaus N.*, *Berner A.*, 168—170.

— Faserförmige Stäube in der Aussenluft (Vláknitý prach ve vnějším vzduchu) — *Höhr D.*, 171—174.

— Multielementanalyse von Größenklassierten Luftstaubproben (Několikaprkvová analýza vzorků prachu, odebraných ze vzduchu a rozdělených podle velikosti) — *Ketelsen P.*, *Knöchel A.*, 175—178.

— Comparison of three types of CO measuring instruments (Srovnání tří typů měřicích přístrojů CO) — *Šišinić A.*, *Fugaš M.*, 179—181.

— Eine Methode zur Absoluteichung von Ozon-Messgeräten (Metoda k absolutnímu cejchování měřicích přístrojů ozónu) — *Pötzl K.*, 181—183.

— Erste internationale Aerosolkonferenz (První mezinárodní konference na téma „aerosoly“) — *Spurný K.*, 183—185.

#### **Svetotechnika 54 (1985), č. 1**

— Tvorčeskij otet žurnala za 1984 god (Úvodník s přehledem činnosti v roce 1984) — redakce, 1—2.

— Osveščenije Pamjatnika geroičeskim zaštitnikam Leningrada (Osveštění Památníku hrdinným obráncům Leningradu) — *Lesman Je. A.*, 2—4.

— Svetotechnika za rubežom (Přehled světelné techniky v zahraničí 1984) — 4—13.

— Svetoprostranstvennaja kompozicija doma cvetov v Leningrade (Prostorová kompozice osvětlení Domu květů v L.) — *Veržickij Ž. M.*, 13—15.

— Osveščenije novogo Univermaga v g. Kaunase (Osveštění nového obchodního střediska v K.) — *Zabuljonis B. V.*, *Krapovskij O. K.*, 20—21.

— O svetovom klimatē g. Orenburga i oblasti (Světelné klima Orenburgu a okolí) — *Bogomolov L. L.*, 21—23.

— Ustanovka typa UORT-1-6000 dlja angarynych teplic (Zařízení typu UORT-1-6000 pro velkoprostorové skleníky) — *Sarajev S. M.*, *Tereniev S. S.*, *Šarupič V. P.*, *Šarupič T. S.*, 23—24.

— Ob avarijnom i evakuacionnom osveščenii v proizvodstvennyx pomešenijach (Havarijná a evakuační osvětlení v průmyslových závodech) — *Charif M. I.*, 25—29.

#### **Svetotechnika 54 (1985), č. 2**

— Osveščenije memorialnogo kompleksa „Ukrainskij gosudarstvennyj muzej istorii velikoj otečestvennoj vojny 1941—1945 gg.“ v g. Kijeve (Osveštění památníku „Ukrajinského muzea historie Velké vlastenecké války v letech 1941—1945“ v Kijevě) — *Koval V. G.*, 3—5.

— Issledovanie vozmožnostej smešannogo osveščenija proizvodstvennyx pomešenij (Výzkum možností použití smíšeného osvětlení vysokotlakých výbojek v průmyslových provozech) — *Mjasojedova Je. I.*, *Fajermarc M. A.*, 5—8.

— Svetochudožestvennoje oformlenije gorodskoj sredy Leningrada (Estetické ztvárnění středu L. světem) — *Mironenkov V. V.*, 8—10.

— Metod rasčeta sroka služby svetovych pribovor (Metoda výpočtu doby života světelých zařízení) — *Ajzenberg Ju. B.*, *Rožková N. V.*, *Utkin V. N.*, 10—13.

— Vlijanje ultrafioletovog izlučenija galogenoj lampy nakalivanija na rastenija (Vliv UV záření halogenových žárovek na rostliny) — *Jermakov Je. I.*, *Cernousov I. N.*, 13—16.

— Novye ultrafioletovye lampy i oblučateli medicinskogo i selskochozjajstvennogo naznačenija (Nové UV zdroje a ozářovače pro léčebná a zemědělské účely) — 16—18.

— Pulsacija svetovogo potoka istočníkov sveta i metody jejího umenšenija (Míhání světla zdrojů a způsoby jeho zmenšení) — *Kly-*

*kov M. Je., Ovsepjanc Je. G., Škuro N. N., 18—20.*

— Svetotechnika za rubežom (Svetelná technika v zahraničí — přehled, II. díl) — 23—27.

### Svetotechnika 54 (1985), č. 3

— Osveštenije muzeja-panoramy „Stalingradskaja bitva“ (Osvětlení panorama „Stalingradská bitva“) — *Skibin D. F.*, 5—6.

— Ostatek čísla obsahuje články o nových typech svítidel s úspornými zářivkami, nevýbušných, zářivkových a výbojkových pro společenské prostory, nemoeničních aj., včetně příslušenství a bytových svítidel.

### Vodosnabženie i sanitarnaja technika (1985), č. 5

— Očistka stočnych vod gal'vaničeskikh proizvodstv (Čištění odpadních vod z galva-

nizoven) — *Najdenko V. V., Gubanov L. N., Bednova L. I.*, 6—8.

— Degazacieja stočnych vod ot serovodoroda (Odstraňování sirovodíku z odpadních vod) — *Gubajdullin M. M., Čudinova N. A., Gudcov I. E., Novikov V. I.*, 8—9.

— Utilizacija osadka biologičeskoj očistki stočnych vod (Využití kalu z biologického čištění odpadních vod) — *Ogurcov A. V., Bobrova V. N., Safronova A. L., Bobrov V. V., Titov B. I.*, 10—11.

— Membrannyj fil'troval'nyj apparat (Membránový filtr) — *Petranovačkaja M. R., Rusanova N. A., Basin D. L., Gol'dina S. D., Čertilina N. Ja., Gal'kina R. V.*, 12—13.

— Eksperimental'ye issledovaniya plastinčatych teploobmennikov (Experimentální výzkum deskových výměníků tepla) — *Zinger N. M., Barmina L. S., Ljubarščak A. I., Taradaj A. M.*, 13—15.

— Sistemy vozdušnogo otopenija maloetažnykh domov (Systémy teplovzdušného vytápění nízkopodlažních domů) — *Alabušev V. P., Voevodin V. M., Ščeglov P. P.*, 16—17.

### ● Počítadlo spotřeby větracího vzduchu

U větracích a klimatizačních zařízení ve velkých budovách, zejména u systémů s proměnným objemovým průtokem, kde je více nájemníků, je problémem vyúčtování skutečné spotřebované energie u jednotlivých uživatelů. Dosud to nebylo možné, a tak fa Mauermann v NSR vyvinula „vzduchoměr“, který zjistí objemový průtok vzduchu v jednotlivých sekcích. Přístroj vydá podle nastavené hodnoty regulátoru objemového průtoku odpovídající signál, který se přenese na počítač. Tím lze získat s dostatečnou přesností objemové průtoky vzduchu dodávaného do různých částí budovy. Systém pracuje ve spojení s vysokotlakými nebo nízkotlakými regulátory objemového průtoku s elektrickým nebo pneumatickým ovládáním.

CCI 11/84

(Ku)

### ● Počítače vyřadí asi 80 % architektů

Okolo roku 2000 asi 80 % architektů bude v USA „vyřazeno“ tím, že počítače plně převezmou zhotovování stavebních výkresů, specifikaci výrobků, kalkulaci nákladů a zpracování schémat. Toto prohlásil Harry Mileaf, technologický ředitel podniku Sweet společnosti Mc Graw Hill při zasedání Technologickeho výboru kongresu USA. Počítače, které jsou již ve vývoji, zatlačí profesi architekta do větší rozmanitosti. V současné době jen stavební výkresy představují asi polovinu nákladů na projekt budovy. Zákazníci brzy shledají, že ty firmy, které používají počítače, dodávají vyšší kvalitu za nižší ceny. To povede k tomu, že projekční organizace budou muset rozšířit sortiment svých služeb, např. o zajištování provozu technického vybavení projektovaných objektů.

ASHRAE J. 11/84

(Ku)

**Ztv**

Zdravotní technika a vzduchotechnika. Ročník 29, číslo 1, 1986. Vydává český výbor komitétu pro životní prostředí ČSVTS v Academii, nakladatelství Československé akademie věd, Vodičkova 40, 112 29 Praha 1. Adresa redakce: Dvorecká 3, 147 00 Praha 4. — Tisk, knižní výroba, n. p., 656 01 Brno, závod 1. — Vychází šestkrát ročně. Rozšířuje PNS. Informace o předplatném podá a objednávky přijímá každá administrace PNS, pošta, doručovatel a PNS ÚED Brno. Objednávky do zahraničí vyřizuje PNS-ústřední expedice a doručení tisku Praha, závod 01, administrace vývozu tisku, Kafkova 19, 160 000 Praha 6. Cena jednoho čísla Kčs 8,—, roční předplatné Kčs 48,—. (Tyto ceny jsou platné pouze pro Československo.)

Distribution rights in the western countries: Kubon A Sagner, P.O. Box 340 108, D-8000 München 34, GFR.

Annual subscription: Vol. 29, 1986 (6 issues) DM 104,—.  
Toto číslo vyšlo v lednu 1986.

© Academia, Praha 1986.